

MINISTERUL EDUCATIEI SI INVATAMINTULUI  
INSTITUTUL POLITEHNIC „TRAIAN VULIU”  
T I M I S O A R A  
FACULTATEA DE MECANICA

ING.DUMITRU D.RAILEANU

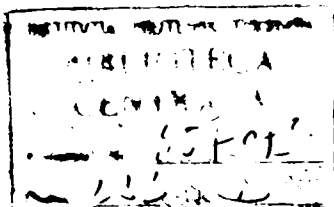
CERCETARI PRIVIND TRATAMENTUL TERMODIMAGNETIC  
AL OTELURILOR CARBON DE IMBUNATATIRE

- TEZA DE DOCTORAT -

BIBLIOTeca CENTRALĂ  
UNIVERSITATEA "POLITEHNICA"  
TIMIȘOARA

CONDUCATOR STIINȚIFIC,  
Prof.Dr.Doc.Ing.AUREL NANU

- 1974 -



In condițiile actuale de dezvoltare a tehnicii moderne se pune problema folosirii unor materiale cu caracteristici mecanice mai ridicate decât cele utilizate în trecut și în prezent. De aici rezultă și interesul deosebit al cercetărilor care își propun îmbunătățirea complexului de proprietăți mecanice ale oțelului pe alte cai, mai eficiente, decât cele utilizate pînă în prezent.

In acest sens un loc deosebit îl ocupă metodele de îmbunătățire a complexului proprietăților mecanice prin aplicarea cîmpurilor de forțe, în general, și a cîmpurilor magnetice, în special, peste transformările de fază care au loc în timpul variației temperaturii. Sub influența simultană a variației temperaturii și a fenomenului de magnetostrițiune a fazei feromagnetice se ajunge la apariția în oțel a unui mare număr de neregularități structurale, motiv pentru care se modifică densitatea dislocațiilor în sensul măririi acesteia ajungîndu-se, în final, la mărirea rezistenței materialului.

Intrucît corelația dintre variația temperaturii de tratament termic, cîmpul de forțe și complexul de proprietăți mecanice este puțin analizată, în această lucrare se propune studierea tocmai a interdependenței dintre factorii amintiți cu scopul obținerii unor materiale caracterizate printr-un complex de proprietăți mecanice superior celui al materialelor utilizate pînă în prezent prin valorificarea mai eficientă a rezervelor interne ale oțelurilor carbon de îmbunătățire. Avînd în vedere diferitele posibilități de modificare a proprietăților mecanice ale materialelor metalice, din analiza dependenței rezistenței la deformare de densitatea dislocațiilor, fig.1, rezultă că, în această lucrare se urmăregte mărirea rezistenței materialului pe calea măririi

densițății dislocațiilor, utilizând deci numai ramura ascendentă a funcției  $\sigma = f(\dot{\gamma})$ .

Se ajunge în acest fel la creșterea rezistenței reale a materialului prin mecanismul micșorării localizării ruperii, adică prin crearea unor astfel de condiții încât la procesul elementar de rupere să participe un număr cît mai mare de atomi.

Dacă se are în vedere considerațiile teoretice privind influența tratamentului termic asupra proprietăților oțelurilor se poate afirma că scopul cercetărilor efectuate în cadrul acestei lucrări este de a valorifica mai bine rezervele de îmbunătățire ale complexului proprietăților mecanice care, în prezent, sunt departe de a fi epuizate.

Intrucit în viitor posibilitatea de elaborare în cantități suficiente a oțelurilor aliaste este periclitată, în mare măsură, din cauza deficiențelor de elemente de aliere, rezultă că cercetările trebuie orientate pe direcția îmbunătățirii proprietăților mecanice ale oțelurilor carbon prin aplicarea unor tratamente complexe.

Sub aspect practic, cercetările sunt justificate deoarece, pe de o parte, în anumite condiții se poate renunța la îmbunătățirea proprietăților mecanice prin metoda alierii, iar pe de altă parte, se mărește domeniul de utilizare al oțelurilor carbon.

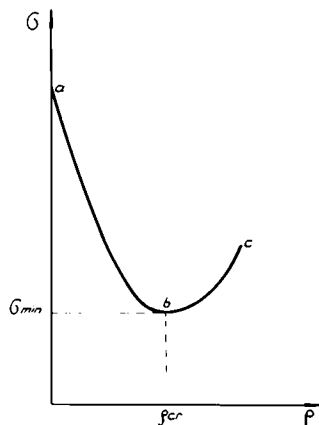


Fig.1.- Dependența rezistenței la deformare de densitatea dislocațiilor [Nl].

Comparativ cu procedeele "ausforming", "maraging", "marts-tressing" și alte tratamente complexe, tratamentul termomagnetic (TTMag<sup>X</sup>) prezintă anumite particularități, motiv pentru care, în viitorul apropiat, va avea o largă utilizare.

x

x x

Scopul dizertației constă în valorificarea posibilităților de îmbunătățire a complexului proprietăților mecanice ale otelului carbon de îmbunătățire folosindu-se interacțiunea dintre cimpul magnetic și material.

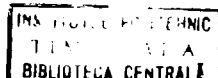
Lucrarea este împărțită în opt capitole și cuprinde 162 pagini, 153 figuri și 118 indicații bibliografice.

Primul capitol tratează stadiul actual al cercetărilor în domeniul TTMag precum și aspectele teoretice ale acestora. Din analiza critică comparativă a diferitelor lucrări rezultă o serie de concluzii care au fost luate în considerare la stabilirea direcției și metodei de cercetare a TTMag.

În capitolul doi se prezintă instalația experimentală concepută și realizată în vederea studiului TTMag aplicat tuturor otelurilor carbon de îmbunătățire. În construcția acesteia s-au avut în vedere diferitele instalații folosite de cercetătorii în acest nou domeniu al tratamentelor termice. Instalația este astfel concepută încât tratamentul se poate aplica după un anumit grafic, impus de scopul urmărit. Spre deosebire de alte instalații, instalația proprie este mai simplă, mai sigură în explicare și mai economică, prezentând în plus și avantajul încălzirii materialului la temperaturi raportate strict la un anumit punct critic real. Din punct de vedere funcțional, instalația se caracterizează

x)

In cele ce urmează prin TTMag se va înțelege tratament termomagnetic



prin elasticitate, aşa încit se pot aplica diferitele tipuri de tratamente termice - călire, revenire, recoacere, normalizare - în cîmp magnetic. În principiu instalatia se poate aplica tuturor ferromagneticilor la care se poate realiza coincidenţă practică a punctelor critice  $A_{c3}$  ( $A_{r3}$ ) și  $A_2$ .

In capitolul trei sunt abordate diferite probleme legate de stabilirea condiţiilor de aplicare a TTMag la oţelurile carbon de îmbunătăţire. După prezentarea principiului metodei TTMag se stabileşte natura şi intensitatea cîmpului magnetic şi apoi se analizează detailat influenţa cîmpului magnetic asupra punctelor criticice, temperaturii de călire şi temperaturii de dezorientare. Deoarece în lucrare se urmăreşte şi problema eficacităţii TTMag, acest capitol se încheie cu cercetarea unui aspect deosebit de important din punct de vedere practic şi anume durata de încălzire în cîmpuri magnetice.

In cea mai importantă parte a lucrării - capitolul patru - sunt prezentate cercetările privind influenţa TTMag asupra proprietăţilor mecanice ale oţelurilor carbon de îmbunătăţire supuse tratamentelor de recoacere, normalizare şi călire în cîmp magnetic. Din punct de vedere metodologic, comparativ cu alte lucrări, în prezenta lucrare se abordează pentru prima dată, în mod sistematic, o întreagă grupă de feromagnetică şi anume oţelurile carbon de îmbunătăţire, ceea ce a permis generalizarea rezultatelor şi stabilirea unor principii de aplicare a TTMag.

Capitolul cinci este consacrat metalografiei magnetice a materialelor polinare şi polifazice. Pentru interpretarea rezultatelor obţinute în capitolul precedent, în cursul cercetărilor s-a impus necesitatea aplicării metalografiei magnetice la oţelurile carbon de îmbunătăţire cu scopul diferenţierii unor constituenţi metalografici, a stabilirii cantităţii de austenită reziduală,

precum și a unor probleme neabordate încă în literatura de specialitate. Spre deosebire de alte lucrări din domeniul metalografiei magnetice, în această lucrare este abordată pentru prima dată, în mod sistematic, influența compoziției și structurii asupra caracteristicilor imaginii magnetice la o grupă întreagă de materiale ferromagnetice polinare și polifazice.

In capitolul șase sunt prezentate cerceările privind influența TMag asupra unei importante caracteristici a otelurilor și anume călăribitatea, iar în capitolul șapte sunt tratate diferite aspecte economice ale TMag și se pun în evidență eficiența și valoarea practică a acestora.

Ultimul capitol - al optu-lea - cuprinde concluziile finale în domeniul teoriei tratamentelor termice și termomagnetice precum și în domeniul aplicativ.

x  
x        x

Disertantul exprimă sincere mulțumiri conducerului științific Prof.dr.doc.ing.AUREL NANU, pentru îndrumarea permanentă, sprijinul neobosit și sugestiile deosebit de valoroase care au permis finalizarea acestei lucrări.

Disertantul mulțumește de asemenea și colegilor din Timișoara, București, Cluj și Galați pentru observațiile, aprecierile, indicațiile încurajatoare și concursul dat în elaborarea acestei lucrări.

•••

# 1. STADIUL ACTUAL AL CERCETARILOR IN DOMENIUL TRATAMENTELOR TERMOMAGNETICE

## 1.1. Directii de cercetare in domeniul tratamentelor termomagnetice

In domeniul TTMag există un număr relativ redus de lucrări, majoritatea acestora referindu-se la modificarea unor proprietăți fizice sau influența cîmpurilor magnetice continue sau alternative.

Deși aceste lucrări prezintă, în general, o serie de lipsuri ce vor fi semnalate la sfîrșitul acestui paragraf, ele rămîn totuși valoroase prin sugestiile care rezultă din analiza lor.

In cele ce urmează se trec în revistă principalele lucrări care au legătură cu această teză de doctorat și se insistă la acele aspecte care au constituit puncte de plecare pentru prezentă lucrare.

In lucrarea [A5] se cercetează numai aliajele feromagneticе moi, pentru care ultima operație tehnologică este TTMag. Lucrarea se rezumă la stabilirea corelației dintre diferenții parametri ai regimului TTMag, cum ar fi temperatura, de la care începe răcirea în cîmp magnetic, viteza de răcire, natura cîmpului magnetic și intensitatea acestuia. Cercetările au dus la concluzia că efectul maxim al TTMag se obține pentru cîmpuri magnetice slabe (10...15 Oe), oricare ar fi natura acestora (cîmp continuu, pulsant sau alternativ). Din lucrare rezultă domeniul de aplicare al TTMag și nu se justifică alegerea temperaturii de tratament termic. TTMag s-a efectuat într-un cîmp magnetic circular, produs într-un dispozitiv în care piesele sub formă inelară sunt dispuse etajat pe o bară de cupru prin care trece curentul necesar magnetizării.

Lucrare a [B8] se axează pe TTMag ale aliajelor care prezintă transformări de fază. La elaborarea lucrării autorul a avut ideea de a mări eficacitatea tratamentului termomagnetic, prin aplicarea cîmpului magnetic. Condițiile de lucru sunt riguroase deoarece, pentru reușita tratamentului, se pune condiția ca ecruierea austenitei să fie executată la temperaturi cînd aceasta este suficient de stabilă aşa încît să se evite declanșarea proceselor de recristalizare. Tratamentul termomecanomagnetic constă în suprapunerea cîmpului magnetic peste transformarea austenitei ecrusate prealabil în martensită. Autorul constată o "orientare a cristalitelor de martensită cu axa mare de-a lungul sau aproape de-a lungul direcției de magnetizare ușoară". Prin această afirmație Bernstein modifică tabloul cunoscut privind transformarea martensitică, precum și orientarea cristalitelor de martensită. În lucrare se mai pune în evidență un fapt important și anume, sub acțiunea cîmpului magnetic, se atenuază influența granitelor foștilor grăunți de austenită asupra unora dintre proprietățile aliajelor, mai ales asupra susceptibilității lor la fragilitatea de revenire la temperaturi înalte. Autorul, printre altele, a sesizat un fapt important privind reușita tratamentului termomecanomagnetic: cîmpul magnetic trebuie să se suprapună peste transformarea de fază. În cadrul lucrării, autorul a experimentat oțeluri carbon cu 0,2; 0,45; 0,7 și 1,2 % C, cînd temperaturile de austenitizare au fost de  $900^{\circ}\text{C}$ , respectiv  $850^{\circ}\text{C}$ ,  $620^{\circ}\text{C}$  și  $800^{\circ}\text{C}$ . La oțelurile cu 0,2; 0,45 și 1,2 % C temperaturile de austenitizare s-au ales după criterii ce concordă cu alte indicații din literatură referitoare la TTMag. În afara acestor materiale, autorul a luat în considerare și fierul tehnic pur la care a constatat o majorare a rezistenței reale la rupere, pe care o explică prin acțiunea de finisare a structurii de către magneto-

strictiune. Ca rezultat al cercetărilor autorul propune o schemă de tratament termomecanomagnetice contine din răcirea rapidă a materialului, austenitizat în prealabil, în cîmp magnetic în condiții în care austenita se poate transforma în martensită. Bernstein pune în evidență doi factori esențiali privind eficacitatea tratamentului: - un grăunte inițial de austenită de dimensiuni mici, obținut prin deformare plastică;

- orientarea elementelor structurale feromagnetice date rită cîmpului magnetic.

Lucrarea nu dă indicații privind instalația TTMag utilizată pentru cercetări.

x  
x        x

L.A.Ciudnovskaia, M.L.Bernstein și L.G.Seviiaakova [C2], cercetînd efectul TTMag asupra oțelurilor pentru scule, analizează influența acestui tratament asupra unor proprietăți mecanice - rezistența la rupere și limita de curgere - ale oțelurilor XBR(%C = 0,9...1,05; %Si = 0,15...0,35; % Mn = 0,8...1,1; % P = 0,03; %S = 0,03; % Cr = 0,9...1,2; % W = 1,2...1,6; % Mo = 0,3; % Ni = 0,4) și Pl8 (%C = 0,7...0,8; %Si = 0,4; % Mn = 0,4; % S = 0,03; % P = 0,03; % Cr = 3,8...4,4; % W = 17,5...19; % V = 1...1,4).

Autorii au aplicat acestor materiale două tipuri de tratamente termomagnetice : călirea și revenirea magnetică; În vederea călirii, oțelurile au fost austenitizate într-un cuptor obișnuit, iar călirea magnetică a avut loc într-un vas cu ulei dispus între polii unui electromagnet sau într-un vas așezat într-un solenoid. Intensitatea cîmpului magnetic continuu a fost de 5000 Oe, iar a celui alternativ de 1200 Oe.

La efectuarea revenirii magnetice epruvetele s-au aflat sub acțiunea cîmpului magnetic în toate etapele tratamentului termic:

•//•

încălzire, menținere și răcire. Pentru ambele oțeluri au fost folosite temperaturi de călire și revenire obișnuite.

In cazul oțelului XBG, tratamentul termomagnetic de călire în cimp magnetic continuu a dus la mărirea rezistenței de rupere la încovoiere cu 65%. Rezultate asemănătoare s-au obținut și la călirea în cimp magnetic alternativ. Pentru oțelul P18 călit în cimp magnetic continuu, efectul TTMag este mai slab exprimat, așa încât, creșterea rezistenței de rupere la încovoiere este de numai 25%, în comparație cu aceeași caracteristică determinată pe materialele călite obișnuit. La călirea magnetică în cimp magnetic alternativ rezistența de rupere la încovoiere se reduce, autorii explicând aceasta prin micșorarea vitezei de răcire datorită acțiunii de încălzire a curentilor Foucault".

Pentru revenirea magnetică s-au folosit numai materiale călitate obișnuit. In cazul oțelului XBG , după călire obișnuită și revenire în cimp magnetic alternativ la  $175^{\circ}\text{C}$ , s-a obținut o rezistență de rupere la încovoiere cel puțin egală cu  $300 \text{ daN/mm}^2$ . La acest oțel se menționează că metoda de călire (în cimp magnetic continuu, alternativ sau în absența cîmpului magnetic) nu are nici o influență asupra proprietăților mecanice după revenire.

La oțelul P18, efectul revenirii magnetice este mai pronunțat numai în cazul materialelor călitate obișnuit, fără aplicarea cîmpului magnetic. Si la acest material se menționează influența redusă a metodei de călire asupra rezultatelor obținute după revenirea magnetică.

Pe baza rezultatelor obținute autorii au observat că în timpul revenirii magnetice, sub acțiunea vibrațiilor magnetostriictionale, provocate de cîmpul magnetic alternativ, are loc un proces de accelerare a transformării austenitei remanente în martensită cubică.

De asemenea s-a mai constatat că tratamentul termomagnetic de călire în cîmp magnetic alternativ de 1200 Oe și 50 Hz nu a dus la scăderea cantității de austenită remanentă.

x  
x      x

In lucrarea [J2] există un capitol privind modificarea proprietăților materiale sub influența cîmpurilor magnetice. O serie de încercări s-a efectuat cu oțeluri carbon avînd 0,50...0,85 % cu scopul de a preciza dacă există sau nu o influență a cîmpului magnetic asupra punctului Curie. Cercetările întreprinse nu au pus în evidență modificarea punctului Curie a materialelor experimentate în condițiile din lucrare. Se observă că lucrarea nu precisează ce se înțelege prin punct Curie la sistemele polinare și polifazice la care transformarea din starea feromagnetică în starea paramagnetică este consemnătă unei transformări de fază și nu a unei transformări magnetice pure, cum se observă la feromagneticii monofazici, de exemplu.

In urma sintezei lucrărilor din acest domeniu, autorul scoate în evidență posibilitatea modificării proprietăților sub influența cîmpurilor magnetice în cazul alegerii corespunzătoare a compozиiei, fără a face, însă, precizări în acest sens.

In lucrare sănt prezentate încercări interesante, prin care s-a urmărit obținerea unui efect al TTMag ca urmare a modificării magnetizării spontane. La răcirea în aer a epruvetelor din oțel, aflate în mișcare de rotație într-un cîmp magnetic, nu s-a putut constata nici o modificare a durității.

x  
x      x

La oțeluri carbon (0,1...0,6 % C), W.Künscher [K3] a studiat posibilitatea influențării proprietăților materialelor, prin

mecanismul suprapunerii unui cîmp magnetic peste o deformare plastică la rece (deformare axială). S-a pus în evidență, cu acest prilej, intensificarea proceselor de separare a carburilor și nitrurilor din soluția solidă ca urmare a fenomenelor de magnetostrictiune.

x  
x

In seria acestor lucrări o deosebită valoare o prezintă lucrarea [B2], în care se analizează influența TTMag asupra proprietăților unui otel crom de îmbunătățire cu 0,4 %. Autorul aplică un tratament termic interesant constînd dintr-un tratament termic pendular în jurul intervalului  $A_{cl} - A_{rl}$ , după care urmează o încălzire rapidă la temperatura optimă de călire în vederea călării la martensită. Toate operațiile descrise au loc în cîmp magnetic constant sau variabil. In cazul acestui tratament se pare că autorul a urmărit să înregistreze influența TTMag atît asupra transformărilor la încălzire, cît și asupra transformărilor la răcire. Pentru a studia efectul TTMag s-au aplicat mai multe variante de tratament termic și s-a ajuns la concluzia că efectul maxim al TTMag se obține cînd cîmpul magnetic se suprapune atît peste transformările de la încălzire cît și peste cele de la răcire.

x  
x

La instalația construită de către Aldrich [A1] nu se prezintă și principiul de lucru al acestuia și nu se dau detalii din care să rezulte regimurile tratamentelor termice, precum și domeniul de folosire al acesteia. După cum rezultă din fig.1.1 instalația prezintă o serie de neajunsuri :

.//.

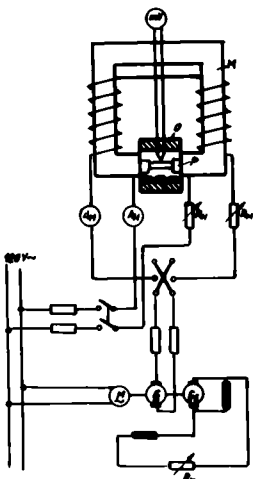


Fig.1.1.-Schema de principiu a instalației pentru TTMag [A1].

M-circuitul de magnetizare

mV-milivoltmetru

P - epruvete

O - cuptorul electric

$M_1$  - electromotor

G - generator

$R_M$  - rezistențe adiționale.

- avind un întrefier invariabil se pot trata TTMag numai piese de o anumită dimensiune ;

- piesa este încălzită într-un cuptor în astfel de condiții încât temperatură nu poate fi menținută constantă în spațiul util al acestuia;

- temperatura se determină prin procedee clasice, care nu permit determinarea temperaturii în masa piesei cînd aceasta este încălzită în regim nestaționar ;

- autorul nu a urmărit decît aspectul experimental al lucrării, fără a avea în vedere posibilitatea utilizării unor piese de alte forme și dimensiuni.

x

x      x

N.Goertz [G6], Grigoluk [G7], O.Grehov și P.G.Glușcova [G8], spre deosebire de alți cercetători, s-au ocupat de problema modificării unor proprietăți fizice sub influența cîmpurilor magnetice. Un factor esențial privind eficacitatea cîmpului magnetic se consideră a fi alegerea unei anumite valori a vitezei de răcire în cîmp magnetic, aşa încît materialul să disponă de un timp suficient de mare pentru a putea compensa efectul tensiunilor magnetostriuctive, generate în timpul răcirii. În concepția autorilor eficacitatea TTMag se bazează, în acest caz, pe texturarea materialului în cîmp magnetic.

x

x x

G.Mahoux [M2], C.Meyer, W.Eilender și W.Schmidt [M3], H. Schenck și E.Schmidtmenn [S7] au întreprins o serie interesantă de cercetări privind influența vibrațiilor mecanice de înaltă frecvență a cîmpurilor magnetice alternative și ultrasunetelor asupra proceselor de difuziune și separare la nitrurare. În toate cazurile factorii amintiți au influențat pozitiv fenomenele de difuziune, de unde rezultă că, în general, orice sursă de introducere a tensiunilor interne în material poate influența desfășurarea proceselor de difuziune. O primă concluzie ce rezultă din analiza lucrărilor prezentate pînă acum arată că majoritatea cercetătorilor sănt de acord asupra ideii de bază a TTMag și anume că aceasta poate influența pozitiv proprietățile mecanice ale feromagneticilor.

x

x x

Există o singură lucrare, [E1], care respinge posibilitatea îmbunătățirii proprietăților mecanice prin aplicarea cîmpurilor magnetice. În cadrul cercetărilor s-au utilizat epruvete sub formă de discuri, călite sau necălite, executate din oțel cu 0,8 %C care au fost introduse la temperatura mediului ambient în cîmpuri magnetice de diferite intensități. S-a avut în vedere numai duritatea și nu s-a constatat nici o modificare a acesteia ca urmare a aplicării cîmpului magnetic.

In afara de aceste încercări, lucrarea mai prezintă și rezultatele călirii în cîmp magnetic. Ca mediu de răcire s-a utilizat apa, epruveta a fost confecționată din oțel carbon cu 0,8% C, diametrul acesteia fiind 20 mm. În timpul răcirii pentru călire epruveta a fost rotită, cu ajutorul unui electromotor, într-un cîmp magnetic constant. Prin călire de la  $800^{\circ}\text{C}$  sau  $1350^{\circ}\text{C}$ , în

.//.

condițiile arătate, cercetătorii nu au constatat nici o influență a cîmpului magnetic asupra microstructurii.

Autorii acestei lucrări mai arată că nici la normalizare, călire sau revenire nu se constată influența cîmpului asupra rezilienței.

Avînd în vedere alte lucrări din acest domeniu se observă că nici un alt cercetător nu a lucrat în condițiile expuse. De altfel chiar autorii au constatat că rezultatele sunt strict legate de condițiile de lucru, că acestea nu pot fi generalizate și că, în alte condiții, este posibilă influența feromagneticilor prin aplicarea TTMag.

x  
x        x

Spre deosebire de alte lucrări consacrate TTMag ale cîte-lor, în teza de doctorat "Tratamentul termomagnetic al otelului OLC 45", C.Ciucă, [C6], analizează multilateral un otel carbon de îmbunătățire cu 0,45 % C, aplicînd acestuia următoarele tratamente în cîmp magnetic : recoacere, normalizare, călire la mătensită și tratamentul termic singular. Rezultatele obținute în privința influenței TTMag asupra proprietăților mecanice au permis precizarea și confirmarea afirmațiilor aparținînd unor cercetători din acest domeniu.

Pentru aplicarea acestor tratamente termice s-a proiectat, construit și experimentat o instalație care, spre deosebire de alte instalații folosite la TTMag, permite și controlarea și programarea regimurilor termice ale materialelor experimentate.

Analizînd și alte instalații folosite la TTMag - [E1], [J2], [S6], [K3] - în lucrarea [C6] C.Ciucă prezintă o instalație - fig.1.2 și 1.3 - care se mai caracterizează și prin următoarele :

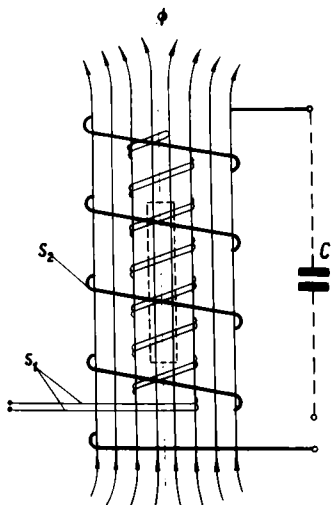


Fig.1.2.-Schema de principiu a instalației pentru încălzire în cîmp magnetic [C6].

- posibilitatea reglării în limite largi a parametrilor regimului TTMag ;

- inertie termică este redusă atât la încălzire, cât și la răcire ;

- cîmpul magnetic este uniform ;

- spațiul util al cuptorului este caracterizat prin temperatură constantă ;

- încălzirea pieselor se poate realiza după toate varianțele de funcționare ale cuptoarelor clasice de tratament termic ;

- capacitatea termică a cuptorului permite încălzirea în condiții de frontieră de genul III ;

- pentru aprecierea temperaturii de tratament termic, la tratamentele de recoacere, normalizare și călire în cîmp magnetic, nu se folosește termocuplul ci funcție de traductor a instalației TTMag ;

•//•

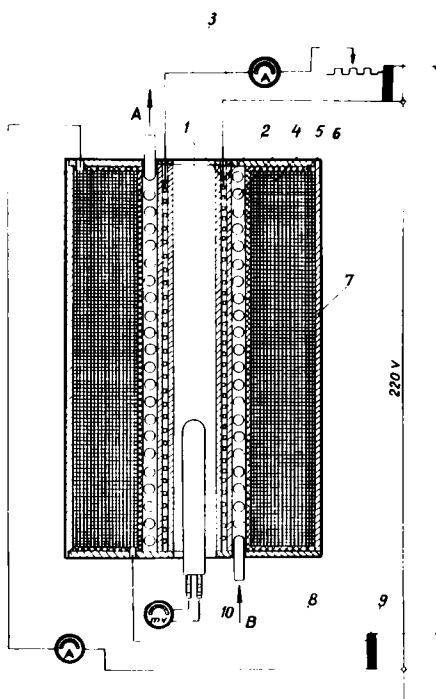
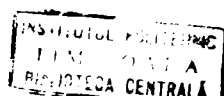


Fig.1.3.- Cuptorul pentru TTMag [C6].



- cuptorul poate fi atașat unei instalații de călire în cimp magnetic, în cazul aplicării unui TTMag complex.

Comparativ cu alte lucrări la [C6], în cursul cercetărilor, s-a luat în considerare întregul complex de proprietăți mecanice. Datorită metodologiei de lucru utilizate, autorul a reușit să pună în evidență eficacitatea TTMag și să sugereze necesitatea extinderii cercetărilor și la alte materiale.

In seria lucrărilor din domeniul TTMag această lucrare se remarcă prin prezentarea detaliată a metodelor și condițiilor de lucru, motiv pentru care rezultatele sunt susceptibile de verificare.

Pe lîngă studiul influenței TTMag asupra proprietăților mecanice, C.Ciucă [C6] a abordat și alte probleme din domeniul tratamentelor în cimp magnetic, cum ar fi influența cîmpului magnetic asupra punctelor critice, temperatură de călire, duratei de încălzire, temperaturii de dezorientare și călibilității, toate acestea pentru oțelul OLC 45.

O altă direcție de cercetare ce se desprinde din această lucrare este cea în legătură cu influența TTMag asupra corelației dintre proprietățile fizice și mecanice ale oțelului OLC 45. În ultima parte a lucrării se tratează o problemă de mare importanță practică și anume călirea în cimp magnetic ca autorevenire.

In ansamblu lucrarea oferă un mare volum de informații ce pot constitui punct de plecare pentru cercetări ulterioare, extinse și la alte materiale.

x  
x        x

Analiza de ansamblu a lucrărilor consacrate influenței cîmpului magnetic asupra proprietăților mecanice, exceptie făcind

lucrarea [C6], arată că este aproape imposibilă sistematizarea informațiilor furnizate de acestea datorită următoarelor motive :

- majoritatea lucrărilor suferă din punct de vedere metodologic, în sensul că nu se prezintă detaliat condițiile de lucru, motiv pentru care practic experiențele nu pot fi reproduse ;

- în lucrări nu se prezintă principiul de lucru al instalațiilor folosite, nu se dau toți parametrii regimului de tratament termic și nu se discută fenomenul fizic care stă la baza tratamentului aplicat ;

- fiecare lucrare analizează un număr redus de materiale, alegerea acestora pentru studiu nefiind justificată ;

- la stabilirea eficienței TTMag cercetătorii se referă la un număr mic de proprietăți mecanice, care singure nu pot caracteriza complet materialul ;

- rezultatele prezentate în fiecare dintre lucrări, luate separat, sunt valoroase însă nu pot fi generalizate aşa încât, în final, să se formuleze principii care să aibă pe lîngă o valoare teoretică și una tehnologică ;

- în ansamblul disciplinelor, care au legătură cu TTMag, acest procedeu de prelucrare a aliajelor se plasează într-un domeniu interdisciplinat, ceea ce reclamă luarea în considerare a cunoștințelor atât din domeniul metalurgiei fizice, tratamentelor termice și fizicii solidului, cât și al altor discipline corelate cu procesele caracteristice TTMag.

Din acest punct de vedere rezultă un alt aspect al lucrărilor luate în considerare la precizarea stadiului actual al problemei și anume cercetătorii insistă mai mult asupra unui singur aspect al TTMag, unii neglijînd aproape total aspectele metalurgice.

•/•



- luând în considerare concluziile la care au ajuns cercetătorii se observă că, uneori, părerile sănt de așa natură încât se impune necesitatea reluării experiențelor cu scopul clarificării unor probleme de principiu, cum ar fi - de exemplu - cea a eficienței TTMag pe care unii autori chiar o contestă. În alte lucrări unii cercetători, având în vedere influența TTMag numai asupra unei singure faze - ferita - afirmă că "pot fi obținute efecte apreciabile cu ajutorul tratamentului termic în cîmpuri magnetice numai în cazul unui conținut mai redus în carbon", în timp ce după alți cercetători, având în vedere reziliența, se afirmă că "o îmbunătățire remarcabilă a proprietăților oțelurilor se obține la un conținut mai ridicat în carbon" [J2]. De aici rezultă necesitatea analizării multilaterale a influenței TTMag asupra unor întregi game de oțeluri carbon sau aliate ;

- în toate cazurile temperatura de încălzire nu este raportată strict la un anumit punct critic de transformare real, așa încât condițiile de tratament termic în cîmp magnetic nu sint riguroase sau complet definite;

- ca o concluzie finală se observă că studiul acestui nou tratament complex al oțelurilor se află într-o etapă incipientă, ceea ce justifică necesitatea continuării cercetărilor, abordarea sistematică a unor game complexe de oțeluri pentru atingerea scopului propus de majoritatea cercetătorilor - obținerea de noi materiale cu caracteristici mecanice superioare.

x

x      x

Din analiza de ansamblu a diferitelor lucrări, care tratează influența cîmpului magnetic asupra proprietăților mecanice, rezultă că cercetările trebuie orientate și continue pe următoarele direcții :

•//•

- cercetarea sistematică și multilaterală a influenței tratamentului termomagnetic asupra oțelurilor carbon, atât a celor de îmbunătățire, cît și a celor de scule ;

- continuarea cercetărilor privind stabilirea condițiilor de compozitie la aplicarea tratamentului termomagnetic și prin aceasta, precizarea limitelor de aplicabilitate ;

- aprofundarea și interpretarea rezultatelor tratamentului termomagnetic prin aplicarea la sistemele polinare și polifazice a metalografiei magnetice ;

- stabilirea unor relații de determinare a duratei de încălzire pentru corpurile subțiri sau masive și pentru care în prezent, nu există formule sau metode de calcul ;

- realizarea unui nou tip de instalație pentru tratamente termomagnetice care să permită adaptarea acesteia la tratamentul termic în cîmp magnetic a pieselor cu secțiune variabilă, încălzirea făcîndu-se în condiții quasistaticice ;

- reluarea unor lucrări în sensul verificării concluziilor, observațiilor sau ipotezelor referitoare la eficacitatea TTMag, a unor aspecte de bază ale tratamentului termomagnetic cum ar fi influența cîmpului magnetic asupra punctelor critice, călibilității, temperaturii de călire, corelației dintre proprietățile fizice și mecanice în cazul oțelurilor carbon de îmbunătățire, temperaturii dedezorientare, duratei de încălzire, etc;

- analizarea și sistematizarea întregului material bibliografic existent în acest domeniu în vederea generalizării rezultatelor și a formulării unor principii de aplicare a tratamentelor termomagnetice, acest efort urmînd a fi concretizat sub forma unei lucrări utile atât din punct de vedere teoretic cît și tehnologic.

•//•

## 1.2. Aspecte teoretice ale tratamentelor termomagnetice

### 1.2.1. Termodinamica tratamentelor termomagnetice

In cazul tratamentelor termomagnetice ale sistemelor polinare și polifazice nu se poate vorbi de o anumită transformare pură, ci de mai multe transformări care decurg simultan sau succesiiv la un oțel hipoeutectoid, de exemplu, conținând 0,6% C, la care teoretic și practic punctele critice  $A_{c3}$ ,  $A_{r3}$  și  $A_2$  coincid, transformarea magnetică se termică (la încălzire) sau începe (la răcire) odată cu transformarea de fază  $\alpha \rightarrow \gamma$ . La un alt oțel hipoeutectoid cu un conținut mai redus în carbon, de exemplu 0,2% C, punctele critice  $A_{c3}$  ( $A_{r3}$ ) și  $A_2$  nu coincid și, spre deosebire de cazul precedent, transformările magnetice și cele de fază succed într-o ordine ce depinde de sensul variației temperaturii. Oricare ar fi cazul, transformările care au loc datorită variației condițiilor externe sau interne – temperatură, presiune, concentrație – săn provocate de faptul că, în condiții schimbante, substanța considerată poate exista într-o altă stare caracterizată printr-o rezervă de energie liberă mai mică.

La tratamentele termomagnetice transformările decurg în alte condiții decarece sistemul are o tensiune mai mare de deplasare spre starea mai stabilă, disponind de o sursă suplimentară de energie ca urmare a deformărilor elastice și chiar plastice, care se produc datorită transformărilor de fază și fenomenului magnetostriictiv.

In cazul transformării magnetice pure, ecuația fundamentală a primului și a celui de al doilea principiu al termodinamicii pentru procese reversibile infinit mici este de forma [V2] :

$$\delta U = T \cdot \delta S - p \cdot \delta V + \frac{1}{4\pi} \cdot \bar{H} \cdot \delta \bar{B} \quad (1.1)$$

unde  $\delta U$  este variația energiei totale,  $\delta S$  – variația entropiei,  $\delta V$  – variația volumului substanței feromagnetice,  $p$  – presiunea exterioară,  $T$  – temperatura. Ultimul termen din membrul doi al acestei relații reprezintă lucrul forțelor magnetice ( $H$  – intensitatea cîmpului magnetice;  $B$  – inducție magnetică).

Din analiza expresiei (1) se observă că, în cazul unui proces adiabatic, izocor, ultimul termen reprezintă chiar variația energiei totale a substanței magnetice considerate.

La o altă alegere a variabilelor independente (de exemplu  $T$ ,  $V$ ,  $I$  sau  $T$ ,  $p$ ,  $H$ ) este comod să se considere ca potențial termodinamic fundamental energia liberă :

$$F = U - \frac{1}{8\pi} \cdot H^2 - T \cdot S = U' - T \cdot S \quad (1.2)$$

sau "potențialul termodinamic" :

$$\phi = F + p \cdot V - \bar{I} \cdot \bar{H} \quad (1.3)$$

La o astfel de alegere a variabilelor relația (1) devine în cele două cazuri :

$$\delta F = -S \cdot \delta T - P \cdot \delta V + \bar{H} \cdot \delta \bar{I} \quad (1.4)$$

$$\delta \phi = -S \cdot \delta T + V \cdot \delta P - \bar{I} \cdot \delta \bar{H} \quad (1.5)$$

Folosind relațiile diferențiale fundamentale ale termodinamicii se pot obține relațiile generale dintre diferențele mărimii care caracterizează proprietățile macroscopice ale unei substanțe feromagnetice.

Din punctul de vedere al scopului urmărit, în această lucrare analizînd relațiile (4) și (5) se observă că, sub influența cîmpului magnetic, starea energetică a materialului feromagnetic

se modifică în urma apariției unui moment magnetic rezultant I. Aceasta este cauza pentru care, sub influența cîmpului magnetic este posibilă modificarea structurii și substructurii materialului și deci și a proprietăților fizice și mecanice.

Relațiile de mai sus sunt utile și dintr-un alt punct de vedere, esențial pentru TTMag, deoarece el permite punerea în evidență a fenomenului de magnetostrițiune. Acesta poate fi obținut analitic imediat din considerații termodinamice generale.

In particular, din ecuația termodinamică fundamentală (1.5) rezultă :

$$(\frac{\partial I}{\partial p})_{H,S} = -(\frac{\partial V}{\partial H})_{p,S} \quad (1.6)$$

adică dependența de presiune a magnetizării este legată de dependența volumului corpului de intensitatea cîmpului magnetic.

Ecuația (1.6) poate fi transformată ușor pentru cazul unor tensiuni uniaxiale și al unor variații ale dimensiunilor liniare l ale corpului (magnetostrițiune liniară) și anume :

$$(\frac{\partial I}{\partial F})_{H,S} = (\frac{\partial l}{\partial H})_{p,S} \quad (1.7)$$

Din punct de vedere teoretic, problemele termodinamicii TTMag, prezentate mai sus sunt utile deoarece acestea duc la anumite concluzii ce pot fi utilizate la dirijarea proceselor care au loc în material, în sensul dorit.

O primă concluzie este aceea în legătură cu posibilitatea modificării stării energetice a materialelor feromagnetic î în sensul măririi energiei libere a acestora. În felul acesta condițiile termodinamice necesare desfășurării transformărilor de fază sunt îndeplinite în mai mare măsură, așa încît cel puțin din punct de vedere teoretic se vede că este posibilă modificarea stării materialului cu ajutorul cîmpurilor magnetice.

O altă concluzie este în legătură cu influența cîmpului magnetic asupra volumului corpului. Dacă se are în vedere că, în cazul de față, cele de mai sus se referă la sistemele polinare rezultă că variația dimensiunilor corpului, și deci variația parametrului rețelei cristaline a fazei feromagnetic, poate provoca în ultimă instanță modificarea proprietăților structural succeseibile.

#### 1.2.2. Magnetostrițiunea și unele aspecte ale tratamentelor termomagnetice

La tratamentele în cîmp magnetic, magnetostrițiunea joacă un mare rol, aceasta explicind de ce procesele de difuziune sunt accentuate, comparativ cu tratamentul clasic și de ce, în cîmp magnetic, se ajunge la finisarea structurii și substructurii. Aceste influențe și altele justifică atenția care trebuie acordată magnetostrițiunii.

După cum se știe, la fierul policristalin, spre deosebire

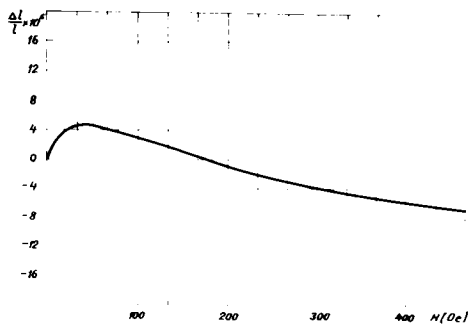


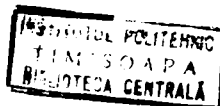
Fig.1.4- Curba de magnetostricție a fierului policristalin [V2].

de alți ferromagnetic, magnetostricțiunea liniară este pozitivă în cumpuri slabe și negativă în cimpuri intense (fig.1.4).

Privită din punctul de vedere al mecanismului deformărilor elastice și plastice, magnetostricțiunea fierului policristalin în

cimpuri magnetice alternative permite rezolvarea unei probleme de o deosebită importanță practică, și anume, alegerea intensității cîmpului magnetic necesar  $T_{Mag}$ .

•//•



Din rezulta curbei de magnetostriectiune, prezentata in figura 1.4, se observa ca, in cimpuri magnetice slabe, este suficienta aplicarea unei intensitati corespunzatoare maximului curbei de magnetostriectiune. Se mai observa de asemenea ca mărirea cimpului pînă la 180 Oe are același efect ca în cazul cimpului corespunzător maximului curbei de magnetostriectiune, decocce magnetostriectiunea nu se modifica. La intensitati ce depășesc 180 Oe se observă, în cimp magnetic alternativ, că :

- în cursul unei alternanțe complete a cimpului magnetic, magnetostriectiunea schimbă semnul de două ori ;
- se dublează frecvența oscilațiilor fazelor feromagneticice ;
- se mărește amplitudinea oscilațiilor provocate de magnetostriectiune.

In cazul proceselor in care magnetostriectiunea joacă rolul de bază, se observă că mărirea intensității, cu scopul majorării magnetostriectiunii, nu este justificată la valori mari ale cimpului magnetic decocce, la aceeași variație a intensității, variația magnetostriectiunii este cu atât mai mică, cu cît amplitudinea cimpului magnetic este mai mare.

La un material feromagnetic se vorbește de o magnetostriectiune spontană, liniară și de volum. Pentru TMag magnetostriectiunea spontană nu prezintă o importanță deosebită din cauza caracterului anizotrop al magnetostriectiunii domeniilor de magnetizare spontană.

Magnetostriectiunea adeverită este determinată de faptul că, sub influența cimpului magnetic exterior, se produce orientarea momentelor magnetice elementare modificindu-se, în felul acesta, condițiile de echilibru între modurile rețelei cristaline și ajungindu-se la variația lungimii materialului feromagnetic.

In cadrul cercetărilor privind raportul material-energie, trebuie făcută o distincție între influența magnetostrițiunii asupra proceselor specifice ale TMG și influența cumulată a magnetostrițiunii și oscilațiilor mecanice, din cazul utilizării cimpurilor magnetice alternative. În acest din urmă caz apar deplasări reversibile și ireversibile ale frontierelor dintre domeniile de magnetizare spontană, ceea ce modifică întreregul caracter al amortizării oscilațiilor mecanice. La o probă feromagnetică demagnetizată sau nemagnetizată pînă la saturatie, valoarea decrementului amortizării este mult mai mare decît la corpurile neferomagnetiche. Creșterea decrementului amortizării este legată de spația curentilor turbionari, determinată de variațiile locale ale magnetizării pe seama proceselor de rotație și deplasare frontierelor dintre domeniile feromagnetiche care, în virtutea fenomenului de magnetostrițiune, produc oscilații mecanice ale probei feromagnetiche. La temperaturi superioare punctului Curie, precum și în condiții de saturatie magnetică, această anomalie magnetomecanică, dispără, iar decrementul amortizării oscilațiilor este același cu cel al materialelor feromagnetiche.

În procesele de difuziune și în reacțiile care au la bază difuziunea, eoul magnetostrițiunii și al oscilațiilor mecanice este mare deoarece tensiunile interne produse de acestea, precum și modificările de volum de natură magnetostrițică, duc la mărirecoeficientului de difuziune, așa cum se arată și în multe lucrări printre care [M4], [C6], [G3].

Cu privire la difuziune mai trebuie menționat și rolul tensiunilor locale din zone frontierelor feromagnetiche. În aceste locuri apar importanți gradienți ai tensiunilor de magnetostrițiune care provoacă mărirea coeficientului de difuziune în material.

•//•

Difuziunea produce la rîndul ei o redistribuire a tensiunilor interne și apare deci un nou factor de influențare al acesteia. În cazul cîmpurilor magnetice pulsante și mai ales alternative, deplasările reversibile ale frontierelor existînd această influență a tensiunilor asupra volumului întregului cristalit.

O consecință importantă a oscilațiilor mecanice, produse de magnetostriktiune, este aceea a modificării condițiilor de recristalizare, cînd parametrii recristalizării se modifică simțitor, mai afectat fiind parametrul vitezei de apariție a centrelor de recristalizare. Procesul de finisare al structurii s-ar putea explica tocmai prin creșterea vitezei de apariție a centrilor de recristalizare.

Un efect important al tensiunilor magnetostriktiunii adevărate este apariția deformărilor elastice și plastice care duc la formarea unei pronunțate texturi magnetice, ceea ce determină creșterea bruscă a proprietăților magnetice în direcția aplicării cîmpului [S6].

Cu privire la condițiile apariției texturii s-au întreprins cercetări, [P1], în urma cărora s-a stabilit că efectul TTMag este maxim în stadii inițiale ale descompunerii soluției solide și anume cînd are loc răcirea în cîmp magnetic de la temperaturi superioare punctului Curie. În cazul otelurilor carbon hipoeutectoid de îmbunătățire, condiția exprimată mai sus este îndeplinită cînd răcirea are loc în cîmp magnetic de la temperaturi plasate în domeniul austenitic. Îndeplinirea acestei condiții face posibilă escalada barierei de potențial în privința orientării particulelor de fază feromagnetică [P1], [G3].

•//•

### 1.2.3. Modificarea proprietăților materialelor sub influența cîmpurilor magnetice

După cum rezultă din cercetările privind tratamentele în cîmp magnetic, începute de către Bozorth și Dillinger, [B3] și [D1], răcirea în cîmp magnetic produce în material o texturare magnetică pronunțată, pe calea deformării plastice a materialului, datorită tensiunilor de magnetostrițiune în direcțiile date de cîmp, ceea ce determină creșterea bruscă a proprietăților magnetice, materialul avind, în acest caz, pronunțate proprietăți vectoriale. Această textură, obținută prin răcirea în cîmp magnetic, este cu atît mai mare, cu cît anizotropia magnetică naturală a materialului este mai mică și cu cît punctul Curie este mai ridicat decarece, pentru eliminarea deformațiilor plastice, la stabilirea cîmpului magnetic sunt necesare temperaturi înalte.

In ceea ce privește mecanismul texturării materialului, o serie de cercetători au ajuns la concluzia că acesta nu este de natură pur magnetică, decarece la texturare concurență rotația vectorilor de magnetizare spontană și procesele de difuziune, care se desfășoară simultan în condițiile arătate mai sus. Aceste condiții explică de ce magnetii elementari ai domeniilor se orientează paralel cu liniile cîmpului magnetic și de ce acest proces are un caracter remanent. Procesele acestea au fost analizate mai mult din punctul de vedere al proprietăților fizice, ale materialelor magnetice dure sau magnetice moi. Pentru TTMag, în cazul oțelurilor carbon hipoeutectoide, factorii care provoacă apariția și remanența texturii magnetice modifică implicit și proprietățile mecanice, ca urmare a modificării stării magnetice și, deci, a structurii și substructurii materialului. Aceste considerații justifică aplicarea noii metode de prelucrare neconvențională a oțelurilor cu scopul obținerii unui complex mai bun de proprietăți mecanice.

## 2. INSTALATIA EXPERIMENTALA CONCEPUTA PENTRU STUDIUL TRATAMENTELOR TERMOMAGNETICE

### 2.1. Schema de principiu a instalatiei pentru tratamente termomagnetice

Instalația experimentală, concepută pentru studiul TTMag, este constituită din două părți ce pot fi cuplate funcțional sau care pot fi utilizate independent, în funcție de natura tratamentului și scopul urmărit: cuptorul pentru încălzire în cîmp magnetic și instalația de răcire în cîmp magnetic.

Comparativ cu alte instalații similare, cuptorul pentru TTMag servește nu numai la încălzirea în cîmp magnetic, ci îndeplinește în plus și funcția unui traductor pentru determinarea celui mai important parametru al tratamentului termic, și anume, temperatura de călire.

Pe lîngă scopul principal al instalației - tratamentul în cîmp magnetic - s-au urmărit și unele aspecte tehnice, tehnologice și economice și de aceea, ca schema de principiu a instalației pentru TTMag, s-a ales o schema permeametrică de compensare, fig.2.1, decarece aceasta prezintă o serie de mari avantaje:

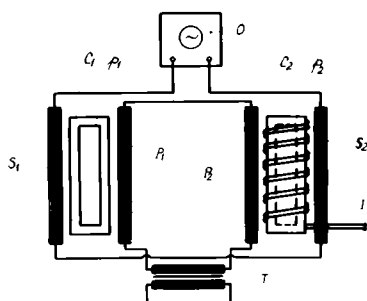


Fig.2.1.-Schema de principiu a instalației pentru încălzire în cîmp magnetic [V2].

- permite mărirea puterii de separare a aparatelor ce sunt utilizate la determinarea punctelor critice;
- permite couplarea instalației TTMag la un oscilograf cu scopul obținerii și a altor informații, cum ar fi de exemplu

determinarea temperaturii transformărilor de fază, determinarea gradului de transformare și.a.;

- reduce costul instalației prin mecanismul micșorării greutății solenoidului;

- permite mărirea productivității instalației prin dublarea volumului util.

După cum se observă din figura 2.1, instalația este constituită din două cuptoare identice, fiecare conținând cîte o înfăsurare primară  $P_1$ , respectiv  $P_2$  și cîte o înfăsurare secundară  $S_1$ , respectiv  $S_2$ . Căldura necesară tratamentului termic este generată de o înfăsurare bifilară (antiinductivă) I, conectată la cîte o sursă independentă de alimentare. În fiecare din cele două cuptoare,  $C_1$  și  $C_2$ , se poate introduce piesa TTMag -  $P_1$  și/ sau  $P_2$ . Înfăsurările primare  $P_1$  și  $P_2$ , legate în serie, sunt puse sub tensiunea unui transformator T, care are rolul de a furniza curentul de magnetizare necesar TTMag. Înfăsurările secundare  $S_1$  și  $S_2$  sunt conectate în opoziție în serie cu aparatul indicator, de pildă un oscilograf O sau un galvanometru. Deoarece compensatoarele sunt identice rezultă că aparatul indicator, oscilograful sau galvanometrul, va sesiza numai diferențele de potențial care rezultă din disimetria magnetică a schemei permeametrice de compensare. Într-un compensator se poate introduce, ca piesă etalon, o piesă identică cu cea supusă TTMag. În cazul utilizării unui oscilograf, la temperaturi inferioare punctului  $A_{cl}$ , cînd în cele două compensatoare sunt plasate piese identice, imaginea care apare pe ecranul aparatului este rectilinie. În acest caz, mărirea temperaturii peste  $A_{cl}$  duce la apariția pe ecran a unei imagini ale cărei caracteristici calitative și cantitative se schimbă permanent, odată cu creșterea temperaturii în intervalul  $A_{cl} - A_{c3}$ . Din interpretarea imaginii caracteristice rezultă informații prețioase

pentru tratamentul termic, cum ar fi atingerea punctului  $A_{cl}$  pe suprafață sau în secțiunea minimă a piesei, atingerea punctului  $A_{c3}$  în secțiunea minimă sau în miezul secțiunii maxime, un anumit grad de transformare  $P \rightarrow A$  sau  $\alpha \rightarrow A$ , durata încălzirii și a.

Pentru mărirea productivității instalației, piese identice sau diferite se pot introduce în cupoare cu scopul ca acestea să funcționeze neîntrerupt cu condiția sincronizării din punctul de vedere al regimului de tratament termic al instalației luată în ansamblu. Această condiție cere ca, în timp ce o piesă se încăzeste până la  $A_{cl}$ , cea de a doua piesă să se încăuzească în intervalul  $A_{cl} - A_{c3}$ . Din punctul de vedere al transformărilor magnetice acest caz este identic cu precedentul, decarece până la punctul  $A_{cl}$  nu au loc transformări de fază. Cele afirmate mai sus sunt valabile cu condiția restrictivă referitoare la inexistența instabilităților structurale în material de natură tensiunilor interne de gradul I și II, oricare ar fi originea acestora [G3].

Pentru evitarea perturbării cîmpului magnetic al solenoidului cupotorului de către fluxul încălziitorului s-a ales pentru aceasta o infășurare bifilară cu scopul anularii autoinductanței [N2], [S8], [C6].

Decarece solenoidul este finit, este necesară asigurarea unei condiții de simetrie în privința intensității cîmpului magnetic cu scopul obținerii aceleiasi influențe a cîmpului magnetic pe ambele secțiuni ale piesei supusă TTMag, simetria ce se obține cînd piesa este plasată pe axa cupotorului la egală distanță de capetele cupotorului [C6].

Din punct de vedere tehnologic trebuie menționat faptul că se pot supune TTMag una sau mai multe piese simultan, cu condiția ca acestea să fie confecționate din același material și să fie identice ca formă și dimensiuni. În cazul tratamentului unei

singure piese, relativ mare în raport cu dimensiunile cuptorului, condiția de simetrie exprimată mai sus cere ca aceasta să fie așezată pe axii la egală distanță de capetele cuptorului. În cazul cînd se tratează o singură piesă, de dimensiuni mici, aceasta se poate așeza oriunde pe axii deoarece neomogeneitatea, în privința anizotropiei magnetice, va fi redusă. În sfîrșit, mai multe piese identice pot fi supuse TTMag simultan cu condiția ca ansamblul să fie plasat simetric atât în cîmpul magnetic, cât și în cel termic.

## 2.2. Cuptorul pentru tratamente termomagnetice

Pentru tratamentele în cîmp magnetic s-a conceput și realizat o instalație care să permită încălzirea și răcirea pieselor supuse tratamentelor termice de recoacere, normalizare și călire după diferite scheme de tratament termic. Aplicarea acestor tratamente termice impune instalației TTMag anumite condiții :

- reglarea în limite largi a parametrilor regimului de tratament termic [G3], [N3], [I1] ;
- inertie termică redusă atât în timpul încălzirii, cât și în timpul răcirii [M7] ;
- cîmpul magnetic să fie uniform iar reductanța circuitului magnetic să fie minimă [N2], [L7] ;
- să aibă o distribuție uniformă a temperaturii în spațiul de încălzire [C3], [S9] ;
- capacitatea termică a cuptorului să fie astfel încît încălzirea să aibă loc în condiții de frontieră de genul III [I1], [K4], [G4] ;
  - să prezinte o bună rezistență la socuri termice [N4] ;
  - în afară de cele menționate instalației TTMag își poate păsi o condiție, și anume, aceea de utilizare a unor elemente componente ca traductori pentru determinarea poziției punctelor critice atât a otelurilor hipoeutectoide, cât și a celor hiper-

eutectoide.

Analizînd diferite instalații TTMag din punctul de vedere al schemei de principiu s-a ajuns la concluzia construirii unei astfel de instalații încît aceasta să aibă o bună putere de rezoluție la determinarea punctelor critice și, în același timp, să fie economică, cu scopul de a fi utilizată imediat ca stație pilot. După cum rezultă din fig.2.2, instalația este construită din două cuptoare identice din punct de vedere electric, legate în opozitie la un oscilograf. Fiecare cuptor este constituit dintr-o carcăsă feromagnetică (1) închis la cele două capete cu cîte un capac (2) și (3) dintr-un otel cu permeabilitatea magnetică mare, în aşa fel încît ansamblul să aibă o reluctanță magnetică minimă. Spațiul de încălzire (4) este de formă cilindrică, acesta fiind delimitat de un tub ceramic (5) dispus coaxial în carcasa cuporului. Între tubul ceramic (5) și un al doilea tub ceramic (6), dispus coaxial cu precedentul, este așezat elementul de încălzire al cuporului constituit dintr-o spirală metalică (7). Cele două tuburi ceramice (5) și (6) au și rolul suplimentar de a proteja mecanic elementul încălzitor. Protecția termică a solenoidului cuporului este realizată cu ajutorul unei serpentine din teavă de cupru (8) așezată sub formă de spirală pe toată lungimea cuporului. Avîndu-se în vedere diferitele scheme de tratament termic, se precizează că circuitul de răcire al instalației TTMag mai are rolul de reducere a inertiei termice a cuporului, mai ales în cazul aplicării tratamentului termic pendular.

In fiecare cuptor se găsesc doi solenoizi (9) și (10), separati printr-un strat izolator (11), care îndeplinesc următoarele funcții : solenoidul (9) are rolul de a genera cîmpul magnetic necesar TTMag, în timp ce solenoidul (10), în ansamblul celor doi

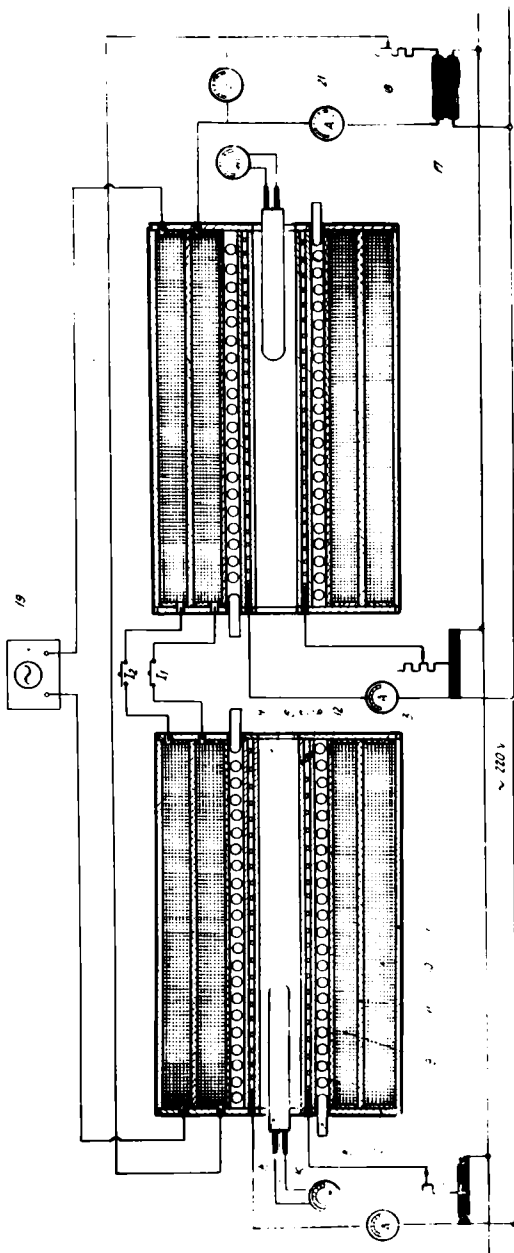


Fig.2.2.- Instalația pentru tratamente termomagnetică

ANEXA  
POLITEHNICĂ  
FACULTATEA  
BIBLIOTECA CENTRALĂ

solenoizi, va juca rolul unui secundar utilizat la determinarea temperaturii diferitelor puncte critice. Față de serpentina de răcire izolarea se face cu un strat izolat (12), ce servește și ca suport al celor doi solenoizi.

Alimentarea fiecărui cuptor se face de la rețea industrială de 220 V prin intermediul unui autotransformator (13), iar reglarea fină a intensității curentului de încălzire se face cu ajutorul unui reostat (14). Pentru determinarea temperaturii cupitorului s-a prevăzut și un termocuplu (15) ce se introduce în cupitor prin capacul carcasei metalice. Cei doi solenoizi primari ai instalației TTMag sunt conectați la rețea industrială de 220 V prin intermediul unui autotransformator (17) și a unui reostat (18). Înfășurările secundare (solenoizii secundari) sunt legați în opoziție la un oscilograf (19). Intrerupătorii  $I_1$  și  $I_2$  servesc la punerea sau scoaterea de sub tensiune a infășurărilor cuptoarelor.

Cu ajutorul oscilografului (19) se pot rezolva o serie de probleme :

- determinarea cu precizie a temperaturilor punctelor critice reale ;
- stabilirea duratei de încălzire ;
- aplicarea tratamentelor termice superficiale ;
- natura transformărilor la încălzire sau răcire.

Cuptorul astfel construit permite ridicarea fără riscuri a temperaturii pînă la  $1000^{\circ}\text{C}$  și se caracterizează printr-o inertie termică redusă, așa încît cu o intensitate a curentului de încălzire de  $10 \text{ A}$ , temperatura de  $900^{\circ}\text{C}$  se atinge în 20 minute.

Pentru formarea unei imagini privind comportarea cupotorului în timpul încălzirii unei piese, în figura 2.3 se reprezintă graficul unui ciclu complet de funcționare a instalației TTMag,

cind aceasta realizează încălzirea după un "regim cu temperatură constantă" a cuporului. Punctul A reprezintă momentul introducerii piesei în cupor, iar punctul B - momentul scoaterii din acesta.

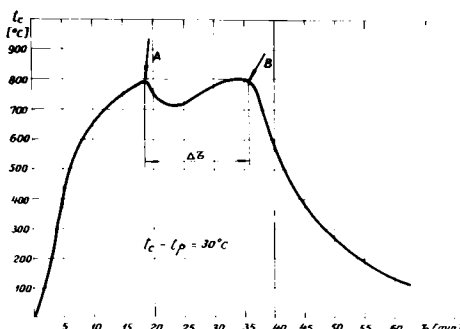


Fig.2.3.-Regimul de tratament termic al instalației TTMag.

Până în punctul A elementul de încălzire a cuporului este pus sub tensiunea rețelei de alimentare a cuporului, iar din punctul B - scos de sub tensiune. În cazul concret, reprezentat în grafic, reprezintă durata de încălzire

a piesei, cind, între temperatura cuporului și temperatura de tratament termic există o diferență de  $30^{\circ}\text{C}$ .

Din interpretarea graficului rezultă că instalația TTMag este caracterizată printr-o capacitate termică suficientă pentru ca, din punct de vedere al caracteristicilor termotehnice, să fie comparabilă cu instalațiile de încălzire curente.

Din analiza graficului se mai poate observa inertie termică redusă atât la încălzire, cât și la răcire. Astfel, viteza medie de încălzire, în intervalul  $20\ldots 800^{\circ}\text{C}$ , este de  $43,3^{\circ}\text{C}/\text{min}$ , în timp ce viteza medie de răcire, raportată la intervalul  $800\ldots 600^{\circ}\text{C}$ , este de  $40^{\circ}\text{C}/\text{min}$ .

Caracteristicile tehnice ale cuporului sint:

- temperatura maximă în cazul funcționării de durată -  $1000^{\circ}\text{C}$  ;
- puterea circuitului de încălzire - 1 kW ;
- intensitatea maximă a cimpului magnetic - 1000 Oe.

### 2.3. Baia de călire în cîmp magnetic

Instalația pentru călire în cîmp magnetic, în sensul strict al cuvintului, utilizată pentru călirea la martensită este descrisă detaliat numai în lucrarea [C6]. Cercetările întreprinse în cadrul acestei teze au condus la necesitatea construirii unei instalații de călire având la bază, de asemenea o schemă permeametrică de compensare, așa cum se reprezintă în fig.2.4.

Instalația este constituită din două compensatoare, imersionate în mediul de răcire pentru călire, care funcționează alternativ. Fiecare compensator este constituit dintr-o carcăsă feromagnetică cilindrică (1), închisă în ambele capete cu capacete (2)

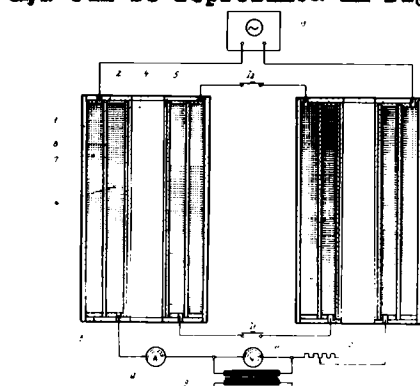


Fig.2.4.-Schema de principiu a instalației pentru călire în cîmp.

și (3), de asemenea feromagnetice. Încinta de călire propriu-zisă (4) este de formă cilindrică, aceasta fiind materializată prin un tub diamagnetic, bun conducător de căldură. În fiecare compensator, pe un suport electroizolant (5), se găsesc cîte doi solenizi (6) și (7), separați printr-un strat electroizolant (8). Infășurările primare ale celor doi compensatori sunt puse sub tensiunea unui transformator (9), care prin intermediul unui recstat (10), furnizează curentul de magnetizare. Caracteristicile curentului de magnetizare se stabilesc cu voltmetrul (11) și ampermetrul (12). Infășurările secundare sunt legate în serie la un oscilograf (13).

Instalația de călire, prevăzută cu oscilograf, prezintă o serie de avantaje :

- mărește puterea de separare a aparatelor utilizate la determinarea poziției punctului martensitic  $M_s$  ;
- permite întreruperea răcirii la călire la o anumită temperatură plasată în intervalul punctelor martensitice  $M_g - M_f$ , cu scopul determinării unui anumit grad de transformare a austenitei în martensită ;
- permite sesizarea cu precizie a punctului de sfîrșit de transformare martensitică,  $M_f$ , la oțelurile hipoeutectoide la care întregul interval al punctelor martensitice este plasat în domeniul pozitiv de temperaturi ;
- instalația fiind compactă poate fi utilizată la căliri curente prin imersionarea acesteia într-o baie obișnuită de călire.

#### 2.4. Schema electrică a instalației pentru tratamente termomagnetic

Instalația TTMag este astfel concepută încât poate fi utilizată atât la tratamentul termic al unicatelor, cât și la tratamentul termic al pieselor de serie. La tratamentul unicatelor diferenții parametri ai tratamentelor termice se stabilesc de la caz la caz cu ajutorul aparatelor de măsură și control cu care este dotată instalație. În alte situații, cum ar fi cel al tratamentelor pendulare, echipamentul electric cu care este dotată instalația permite realizarea unui regim de tratament termic conform unui program apriori stabilit.

La stabilirea schemei electrice, prezentată în fig.2.5, s-a avut în vedere posibilitatea utilizării instalației la procese ce pot fi executate atât manual, cât și automat. Instalația

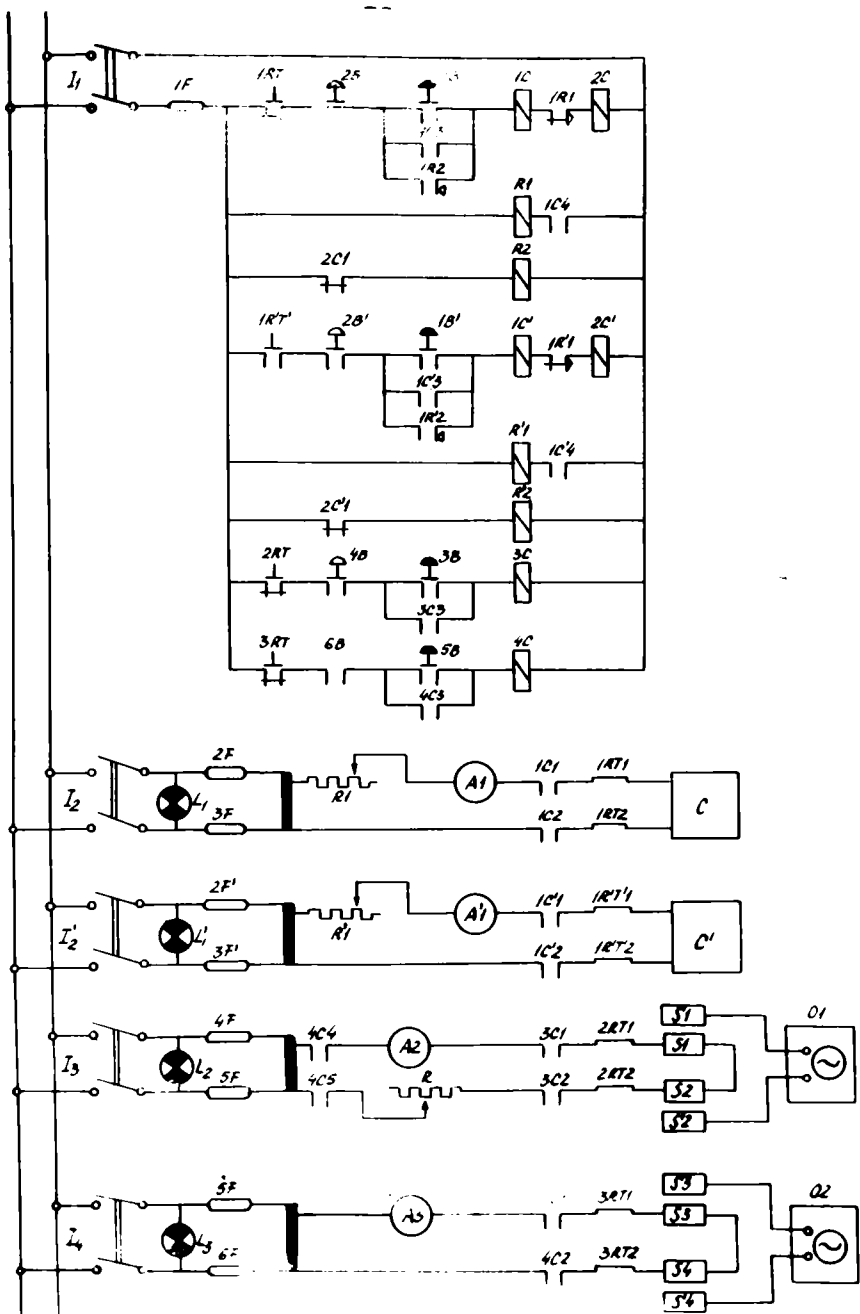


Fig.2.5.- Schema electrică a instalației pentru tratamente termomagneticice.

permite comanda automată a circuitului de incălzire al cupoarelor antiinductive C și C', alimentarea solenoizilor S<sub>1</sub> și S<sub>2</sub> și instalației de incălzire, precum și a solenoizilor S<sub>3</sub> și S<sub>4</sub> aparținând băii de călire.

#### Circuitul cupoarelor antiinductive

Pentru a pune unul din cupoare sub tensiunea rețelei de alimentare se acționează asupra butonului de pornire normal deschis 1B cu scopul excitării bobinei releului 1C. La rîndul lui releul determină închiderea contactelor 1C1 și 1C2 din circuitul cuporului, contactul de menținere 1C3 din circuitul contactorului 1C, precum și contactul 1C4 din circuitul releului de temporizare R1. Acest releu are rolul de a asigura alimentarea cuporului un anumit timp, pînă la atingerea unei anumite temperaturi, urmînd ca acesta să fie deconectat. După expirarea timpului de incălzire, contactele normal închise ale releului, cu temporizare la deschidere R1, se deschid aşa încît, prin deschiderea contactelor 1C1 și 1C2, cuporul este scos de sub tensiunea rețelei. Pentru repunerea automată sub tensiune a cuporului este prevăzut releul 2C din circuitul butonului de pornire 1B, precum și releul de temporizare, cu temporizare la închidere, R2. Intrarea în funcțiune a releului R2 are loc după deconectarea releului R1, decarece contactele normal închise 2C1 asigură blocarea releului R2 cît timp releul R1 este sub tensiune.

Prin excitarea releului R2, contactele normal deschise, cu temporizare la închidere 1R2, se închid aşa încît are loc deconectarea releului R2 prin intermediul releului 2C și conectarea releului R1 prin intermediul releului 1C începînd realimentarea cuporului.

Din modul în care este realizată schema electrică se observă că, prin blocarea releelor de temporizare R1 și R2, programul de incălzire al cuptorului se poate modifica și manual.

Alimentarea cuptorului se face de la rețeaua de curenț alternativ de 220 V prin intermediul unui autotransformator. Pentru controlarea și modificarea regimului termic al cuptorului se utilizează ampermetrul A1.

Cu o astfel de schemă, într-un caz limită, răcirea se poate face programat, atât de lent, încât să se realizeze condițiile recoacerii ( $V_{răc} = 50^{\circ}\text{C}/\text{h}$ ). Pentru cel de al doilea cuptor C' este prevăzut un circuit de alimentare identic cu al cuptorului C. În această situație, discuția referitoare la cuptorul C se transferă integral și la cuptorul C' cu precizare că toate notatiile vor fi afectate de semnul '.

#### Circuitul solenoizilor cuptoarelor antiinductive

Comanda automată a solenoizilor S1 și S2 și punerea sub tensiune a acestora se face prin acționarea butonului de pornire normal deschis, cu revenire automată, 3B. În această situație, prin excitarea bobinei contactului 3C, se închid contactele 3C1 și 3C2 din circuitul solenoizilor S1 și S2, încât acestea să fie puși simultan sub tensiune. Contactele de menținere 3C3 asigură excitarea releului 3C după eliberarea butonului de pornire. Alimentarea solenoizilor S1 și S2 se face de la rețeaua de curenț alternativ de 220 V, prin intermediul unui autotransformator. Pentru reglarea fină a curentului este prevăzut recetatorul R, iar pentru controlul curentului de alimentare a solenoizilor se utilizează ampermetrul A2.

#### Circuitul instalatiei de călire TTMag

Din mai multe considerențe este comodă călirea la marten-

sită în cîmp magnetic variabil și, de aceea, instalatia a fost concepută pentru a lucra în astfel de condiții. Sursa de tensiune a instalației de călire este rețeaua industrială de curent alternativ de 220 V.

Alimentarea solenoizilor S<sub>3</sub> și S<sub>4</sub> se face prin acționarea butonului de pornire 5B. Prin excitarea releului 4C și închiderea contactelor 4C<sub>1</sub>, 4C<sub>2</sub> și 4C<sub>3</sub> solenoidul este pus sub tensiunea autotransformatorului, așa încît butonul de pornire poate fi eliberat. Alimentarea solenoizilor se face de la rețea prin intermediul unui autotransformator, iar controlarea regimului electric se face cu ajutorul ampermetrului A<sub>3</sub>.

Protectia diferențelor elemente ale instalației este realizată prin intermediul siguranțelor fuzibile 1F, 2F, 3F, 2F', 3F', 4F, 5F, 5F' și 6F, precum și a releeelor termice 1RT, 1R'T'; 2RT și 3RT. Cu ajutorul intrerupătorelor I<sub>1</sub>, I<sub>2</sub>, I<sub>3</sub>, I<sub>4</sub> și I<sub>5</sub> se realizează conectarea manuală a diferențelor părți componente apartinând instalației TTMag. Prin aceasta se observă că diferențele circuite ale instalației pot fi actionate independent, simultan sau successiv, în funcție de scopul urmărit.

#### 2.5. Schema hidraulică a instalației pentru tratamente termomagnetice

O analiză a funcționării și construcției cupoarelor și bănilor de călire în cîmp magnetic, duce la concluzia că schema hidraulică a instalației TTMag trebuie să fie de așa natură încît, aceasta să asigure protecția cupoarelor, posibilitatea modificării regimului de răcire al acestora, asigurarea unor condiții optime de călire la martensită, precum și adaptarea rapidă a instalației la diferite condiții de tratament termic.

Din schema prezentată în fig.2.6 se constată că baia de călire TTMag este plasată în vecinătatea cuporului TTMag.

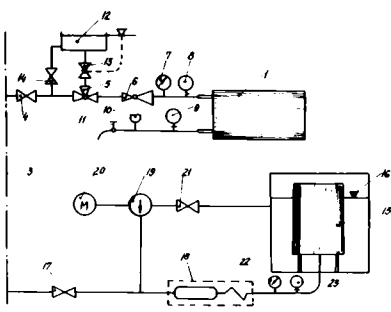


Fig.2.6.-Schema hidraulică a instalației pentru tratamente termomagnetice.

Schema hidraulică este constituită din două circuite care asigură alimentarea cupoarelor și băilor de călire, acestea putind fi utilizate simultan sau succesiv, după nevoie.

Alimentarea cupoarelor TTMag (1) se face cu apă curentă de la rețeaua (3) a orașului. Pe conducte de aducție a apei sunt prevăzute: un robinet cu filet (4), un robinet cu cap cu trei căi (5) și reductorul de presiune (6) cu ajutorul cărora se face admisia și reglarea regimului apei de răcire. Controlul presiunii apei se face cu ajutorul manometrului (7), iar determinarea temperaturii - cu termometrul (8). Schema hidraulică este astfel concepută încit aceasta asigură alimentarea cupoarelor chiar în cazul intreruperii accidentale a alimentării prin rețea. În acest scop este prevăzut un rezervor deschis (12), înzestrat cu regulator pentru nivel de apă. Introducerea în circuitul hidraulic a rezervorului se face manual, acționând robinetele (5) și (13).

Evacuarea apei din cupcare se face printr-o conductă de evacuare prevăzută cu termometrul (9), debitmetrul (10) și robinetul cu ventil de serviciu (13).

Cu ajutorul acestei scheme se asigură alimentarea continuă a cupoarelor și, în plus, se pot determina diferenții parametrii ai circuitului de răcire în scopul controlării instalației.

și stabilirii randamentului acesteia.

In ceea ce privește instalația de călire TTMag, admisia apei în conducte de aducție se face prin intermediul unui robinet cu filet (17). La stabilirea schemei hidraulice s-a prevăzut posibilitatea modificării drasticității mediului de călire prin încălzirea apei de călire cu ajutorul unui schimbător de căldură prin suprafață cu gaze arse (18). Instalația TTMag a fost concepută pentru tratamentul oțelurilor cu călibilitate redusă și, de aceea, baia de călire poate fi eliminată și cu soluția apăcasă de NaCl, datorită existenței unui circuit închis prevăzut pentru aceste cazuri. Prin conducta de aspirație prevăzută cu robinetul (21) mediul de răcire este antrenat de către pompa (19), acționată de către electromotorul (20). În continuare, lichidul se reîntoarce la baia de călire prin conducta de aducție a apei curente. Oricare ar fi mediul de călire, controlul presiunii se face cu manometrul (22), iar cel al temperaturii cu termometrul (23).

Cu această schemă hidraulică a instalației TTMag se poate realiza atât călirea obișnuită la martensită, cît și tratamente termice care au ca scop final mărarea diametrului critic real de călire.

#### 2.6. Principiul de funcționare al instalației pentru tratamente termomagnetiche

O prezentare detaliată a principiului de funcționare al instalației TTMag, utilizate la tratamentul oțelurilor carbon de îmbunătățire, se face numai în lucrarea [C6]. În prezenta lucrare problema principiului de funcționare este reluată, împreună cu observațiile din lucrările [R6] și [R7], cu scopul extinderii posibilităților de utilizare ale acesteia la întreaga gamă a oțelurilor carbon de îmbunătățire.

Deși instalația TTMag poate fi asimilată cu o schemă permeometrică de compensare, la cuptor se pot deosebi trei regimuri de funcționare în cazul aplicării tratamentelor de recoacere, parțială sau completă, normalizare și călire. Din discuție se exclude cazul recoacerii de temperatură joasă a otelurilor ecrusate.

Cele trei regimuri de funcționare ale instalației TTMag sunt următoarele :

- cind otelul este parțial sau total feromagnetic și cind starea magnetică nu se modifică cu temperatura; în această situație cuporul TTMag poate fi asimilat cu o bobină de reactanță [N2],[S8] ;

- în intervalul de temperaturi corespunzătoare domeniului austenitic, starea magnetică nu se modifică cu temperatura și deci, cuporul TTMag poate fi asimilat cu o bobină fără miez de otel [N2],[S8] ;

- cel de al treilea regim de funcționare al instalației TTMag este mai important din punctul de vedere al principiului de funcționare al instalației, acesta corespunzând intervalului de temperaturi  $A_{cl} - A_{c3}(A_2)$  sau  $A_{r3}(A_2) - A_{rl}$ , interval în care transformările magnetice se suprapun peste transformările polimorfe. Traversarea acestui interval de temperaturi este însățită de modificarea continuă a raportului dintre masa feromagnetică și cea paramagnetică, motiv pentru care instalația funcționează într-un regim transzitoriu, atât din punct de vedere electric, cât și magnetic.

Pentru construirea diagramei vectoriale a instalației se ține seama de faptul că aceasta este alimentată în derivărie cu o tensiune alternativă sinusoidală. În diagrama vectorială, prezentată în fig.2.7, pe lină componentă reactivă magnetizantă

$I_x$  s-a luat în considerare și componenta activă a curentului  $I_{Fe} = I_H + I_p$  decarece, în timpul încălzirii pînă la punctul  $A_{c1}$  această componentă se modifică, provocînd o variație apreciabilă a curentului echivalent  $I_e$ .

La determinarea tensiunii aplicate  $U$  s-a ținut seama de componenta  $U_o$ , care echilibrează forța electromotoare  $E$  indușă în desfășurarea bobinei, de fluxul  $\Phi_o$ , cît și de componente ale  $I_{or}$ , care învinge rezistența activă a infășurării și  $I_{os}$ , care echilibrează forța electromotoare indușă în infășurare de fluxul de scăpări.

În timpul transformărilor de fază însotite de transformări magnetice se produce variația monotonă a permeabilității otelului, așa încît, la temperaturi superioare punctului  $A_{c1}$ , se atinge cazul limită, cînd instalația funcționează ca o bobină fără miez de otel.

Corespunzătoare diferențelor aspecte teoretice ale TTMAG, prezentate în cap.1.2, cu cele din acest capitol, se observă că, pentru a separa diferențele influențe asupra structurii și substructurii de influență TTMAG, este necesară încălzirea strictă a materialului în cîmp magnetic pînă la punctul critic real  $A_{c3}(A_2)$  sau răcirea pînă la punctul critic real  $A_{r3}(A_2)$ , urmînd ca materialul să se răcească în cîmp magnetic, sau în absența acestuia, cu o viteză de răcire ce depinde de scopul urmărit.

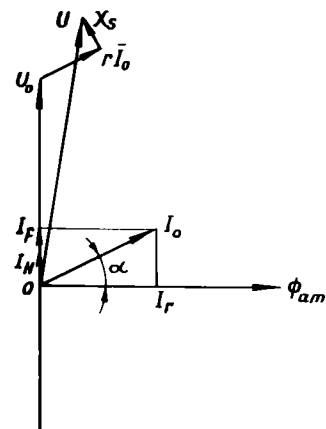


Fig.2.7.-Diagrama vectorială a instalației pentru tratamente termomagnetice,corespunzătoare OIC 45 în stare parțială sau total feromagnetică [C6].

### **3. CERCETARI PRIVIND STABILIREA CONDIȚIILOR DE APLICARE A TRATAMENTILOR TERMOAGENICE LA OȚELURILE CARBON DE ÎMBUNATATIRE**

#### **3.1. Principiul metodei TTMag**

In prezent TTMag se aplică la mai multe categorii de materiale, cu scopuri evident diferite, motiv pentru care, problema principiului metodei TTMag trebuie privită din mai multe puncte de vedere.

Un prim aspect al acestei metode este legat de feromagneticii monofazici, la care transformările slotropicice și cele magnetice se produc într-un punct. In acest caz TTMag poate evidenția efectul texturării magnetice cu condiția ca viteza de răcire să fie atât de mică, încât să fie respectate următoarele condiții de bază [V2], [B3] :

- grăumentele cristalin inițial, format în urma transformării de fază, trebuie să fie înlocuit printr-un grăument cristalin de dimensiuni mari ;

- transformarea din starea paramagnetică în starea feromagnetică trebuie să ducă la formarea unei structuri domeniale, caracterizat printr-un înalt grad de texturare magnetică ;

- tensiunile interne, indiferent de gradul acestora, trebuie să fie atât de reduse, încât să nu poată avea loc ecrusirea, și mai ales, recristalizarea la nivelul temperaturii de recrystalizare.

Aceste considerații au fost stabilite la TTMag aplicat materialelor caracterizate prin proprietăți fizice deosebite. Cele spuse prezintă o valoare practică și pentru oțelurile carbon cu conținut redus în carbon, la care ferita este în cantitate mult mai

mare deficit perlite.

La materialele polifazice, la care transformările de fază și cele magnetice se produc la temperaturi diferite, iar transformările de fază nu au loc într-un punct, TTMag este mai complicat.

Dacă TTMag urmărește numai formarea unei texturi magnetice, ca în cazul celor mai multe lucrări din acest domeniu, materialul se va găsi sub influența cîmpului magnetic numai în timpul răciri. Pentru atingerea scopului propus, materialului își se poate impune o condiție legată direct de factorul compozitiei chimice și deci de diagrama de echilibru metastabil, în sensul că punctul Curie, al fazei care se separă, să fie superior temperaturii de separare [P1].

Trecind la oțelurile carbon hipoeutectoide, condiția de mai sus este îndeplinită din punct de vedere teoretic numai de acele oțeluri la care este realizată coïncidența punctelor  $A_{x_3}$  și  $A_2$ . În lucrarea [C6] se arată că efectul TTMag este evident și la un material care, teoretic, nu îndeplinește această condiție. S-a arătat că, în această ocazie, în condițiile concrete de tratament termic, sub influența TTMag, punctul critic  $A_{x_3}$  coboară pînă la nivelul punctului  $A_2$  așa încît, practic, condiția de mai sus este începlinită.

Punind de la această observație, în lucrarea de față se urmărește aprofundarea celor constatate și stabilirea limitelor, pentru care sunt îndeplinite practic condițiile de aplicare ale TTMag.

În ultimul timp se acordă o atenție sporită feromagnetilor polifazici supuși TTMag cu scopul modificării proprietăților mecanice. Majoritatea cercetătorilor sunt de acord asupra condițiilor de aplicare a TTMag, în sensul că materialele se supun acțiunii cîmpului magnetic în timpul încălzirii și menținerii la temperatu-

ra de călire. Unele cercetări au stabilit că acțiunea cîmpului și în timpul răcirii duce la accentuarea efectului TTMag. Tratamentul în cîmp magnetic se bazează, în acest caz, pe ecrusarea fazică a austenitei și pe capacitatea acesteia de a-și menține starea de ecrusare în domeniul de temperaturi, inferior temperaturii de recristalizare.

Trebuie remarcat că efectul de finisare al structurii nu este numai consecința transformării perlitei în austenită, ci și al dizolvării feritei libere în austenită.

O serie de lucrări, din acest domeniu, au arătat că efectul TTMag poate fi accentuat aplicând un tratament termic pendular în jurul intervalului  $A_{c3}(A_2) - A_{rl}$  [S6], [B2], [C6].

În lucrarea [C6] se arată că, în plus, că efectul TTMag poate fi și mai mult mărit, dacă răcirea pentru călire se face în astfel de condiții, încât austenita să se transforme parțial în produse de tip perlitic și parțial în martensită.

### 3.2. Alegerea parametrilor cîmpului magnetic

Cercetările întreprinse în cadrul acestei lucrări, precum și rezultatele obținute de alți cercetători în diferitele domenii ale TTMag, [B3], [S6], [B2], [J2], au dus la concluzia că, pentru a explica efectul cîmpului magnetic asupra structurii și substructurii, nu se poate lua în considerare numai fenomenul magnetostriictiv. Magnetostriictiunea poate fi considerată ca fenomen de bază în cazul, de exemplu, al feromagneticilor monocomponenți sau polinari, însă monofazici. În cazul otelurilor carbon, pentru a explica acțiunea cîmpului magnetic asupra interdependenței struc-tură-proprietăți, trebuie vorbind mai corect, să se admită influența mutuală a doi factori esențiali – magnetostriictiunea și

transformările structurale suprapuse peste transformările mag-  
netice.

In legătură directă cu cele prezentate, s-a stabilit că la grupa otelurilor carbon de îmbunătățire, efectul TTMag este posibil atunci cînd cîmpul magnetic acționează asupra feritei în prezență austenitei, adică în intervalul de temperaturi al punctelor critice  $A_{c1}$ - $A_{c3}$ ( $A_{r3}$ - $A_{rl}$ ). Efectul TTMag este mai pronunțat în cazul în care cîmpul magnetic acționează asupra feritei feromagnetic în momentul separării acesteia din austenită. În ambele cazuri deformarea feritei sub influență cîmpului magnetic provoacă deformarea plastică a austenitei, așa încît evoluția transformărilor va depinde de noua stare a austenitei, ecruiată sub influență cîmpului magnetic.

Temperatura TTmag este inferioară temperaturii de recristalizare a austenitei, așa încît efectul TTMag asupra austenitei va avea un caracter remanent.

In privința naturii cîmpului magnetic, în cadrul acestei lucrări s-au aplicat cîmpuri magnetice continue, alternative sau pulsante, de diferite intensități. Cu această ocazie s-a constatat că efectul TTMag este puțin influențat de natura cîmpului magnetic. De aici a rezultat imediat necesitatea utilizării cîmpurilor magnetice alternative, deoarece aparatura corespunzătoare acestui caz este mai simplă, iar tratamentul - mai eficient.

In legătură directă cu natura cîmpului magnetic este și natura magnetostriictiunii. S-a avut în vedere în acest caz influența cîmpului magnetic asupra magnetostriictiunii fierului și s-au aplicat în consecință, cîmpuri magnetice de diferite intensități, așa încît magnetostriictiunea să fie pozitivă, negativă sau pozitivă și negativă. Raportată la alte materiale, magnetostriictiunea fierului este relativ mică și, în plus, prin variația intensității cîmpului magnetic, aceasta nu se mărește apreciabil. De aici

au rezultat două concluzii de mare importanță practică :

- în privința naturii magnetostrițiunii, este justificată din punct de vedere tehnic și economic, utilizarea cîmpurilor magnetice care produc numai magnetostrițiune pozitivă ;

- cu privire la intensitatea cîmpului magnetic, și deci la valoarea magnetostrițiunii, trebuie să se utilizeze cîmpurile magnetice cu intensitate corespunzătoare maximului curbei de magnetostrițiune (cap.1.2.2).

Intensități mai mari ale cîmpului magnetic nu sunt justificate nici tehnic și nici economic, decarece, după cum rezultă din interpretarea curbei de magnetostrițiune, magnetostrițiunea maximă nu se modifică.

Aceste rezultate sunt în concordanță cu cele obținute și de alți cercetători [S6], [G6], [B2].

In concluzie, cu privire la parametrii cîmpului magnetic s-a stabilit că, din punct de vedere tehnic-economic, este justificată utilizarea cîmpurilor magnetice alternative de 50 Hz cu o intensitate corespunzătoare maximului curbei de magnetostrițiune a ferromagneticului respectiv.

### 3.3. Influenta cîmpului magnetic asupra punctelor critice ale otelurilor carbon de îmbunătățire

Temperatura este unul dintre principaliii parametri ai tratamentelor termice, decarece aceasta influențează asupra structurii și deci, și proprietăților aliajelor. În cazul otelurilor hipoeutectoide temperatura de călire, de exemplu, trebuie să depășească puțin punctul critic  $A_{c3}$  pentru a se obține, în final, o martensită fină.

Cercetările întreprinse în cadrul acestei lucrări au arătat că indicația din literatura de specialitate, cu privire la

Refluxarea punctului  $A_{C3}$  cu  $30\ldots 50^{\circ}\text{C}$  în vederea călării, este cauza pentru care, în foarte multe cazuri, rezultatele în privința proprietăților mecanice sunt mult împărtăsite. Cercetările și rezultatele obținute în lucrarea [C6], cu privire la OLC 45, au sugerat ideea continuării investigațiilor la toate otelurile carbon de îmbunătățire cu scopul punerii la punct a unei metode de reducere a temperaturii de călărire.

Cu ocazia cercetărilor, orientate pe această direcție, s-a constatat o sensibilă reducere a temperaturii de călărire sub influența cîmpului magnetic. Pentru a stabili mărimarea acestei deplasări s-a folosit atît metoda analizei termice, cît și funcția de traductor a instalației TTMag. În vederea eliminării oricărora surse de eroxi, la ridicarea curbelor de încălzire, determinarea temperaturii s-a efectuat cu un termocuplu Pt-PtRh sudat pe suprafața epruvetei, iar în privința celorlalte condiții s-au respectat indicațiile din literatura de specialitate.

Abordarea sub acest aspect a problemei, a condus imediat la ideea utilizării funcției de traductor a instalației TTMag, pentru a stabili în ce măsură indicațiile obținute, prin aplicarea ambelor metode, sunt comparabile. Sub report teoretic această cercetare a fost justificată de faptul că în timpul transformărilor de fază, și deci și a transformărilor magnetice, o serie de mărimi fizice, cum ar fi: inducția magnetică ( $B$ ), magnetizația ( $M$ ) și permeabilitatea magnetică ( $\mu$ ), variază practic monoton cu temperatura. De aici rezultă imediat variația inductanței ( $L$ ) a solenoidului, care generează cîmpul magnetic necesar TTMag.

Lăsind în considerare cele prezentate în cap. 2.1, 2.2 și 2.6, se deduce variația curentului  $I$  din solenoid, ca urmare a transformărilor  $P=A$  și  $\alpha=\delta$ , așa cum se observă din următoare-

rea relație :

$$I = \frac{U}{\sqrt{R^2 + X_L^2}} \quad (3.1)$$

în care  $R$  este rezistență ohmică a solenoidului, iar  $X_L$  – reactanță inductivă a acestuia.

Pentru a mări puterea de rezoluție a aparatelor, în timpul determinării intensității curentului, tensiunea  $U$  la bornele solenoidului s-a menținut constantă grație posibilităților oferite de schema electrică a instalației TTMag (Cap.2.4).

Folosind relația (3.1) se poate determina precis poziția punctelor critice  $A_{cl}$ ,  $A_{rl}$ ,  $A_{c3}$  și  $A_{r3}$ , dacă ultimele două puncte critice coincid cu  $A_2$ . având în vedere că valoarea  $I$ , a intensității curentului de magnetizare, va fi minimă în stare feromagnetică și maximă în stare paramagnetică. De mult decât atât, cu relația curentului eficace se poate determina precis temperatura corespunzătoare unui anumit raport între masa fazei feromagnetice (ferita) și masa fazei paramagnetice (austenita).

Pentru determinarea pozitiei punctelor critice s-a procedat, în continuare, la stabilirea influenței timpului și temperaturii piesei asupra curentului eficace atât la încălzire, cât și la răcire. În cazul unui oțel cu 0,45 % C rezultatele sunt arătate în fig.3.1 și 3.2.

Pentru a interpreta aceste curbe, trebuie să se ia în considerare condițiile în care acestea s-au ridicat :

– epruvetele au avut dimensiuni foarte mari, raportate la dimensiunile grăuntelui cristalin ;

– încălzirea s-a făcut cu viteze finite și nu în condiții quasistatiche, adică în condițiile existenței unei valori finite a gradientului termic pe secțiune.

Tinând seama de acești factori, de compozitia și de dim-

trama de echilibru metastabil Fe-Fe<sub>3</sub>C, se poate da o interpretare

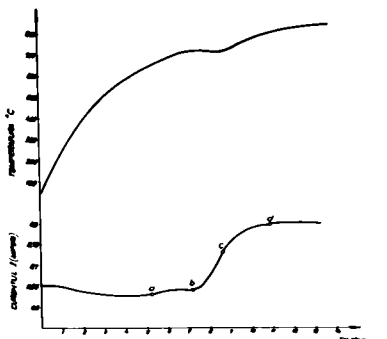


Fig.3.1.-Influența timpului și temperaturii piesei asupra regimului electric al solenoïdului cupitorului la încălzirea în cîmp magnetic (curba superioară).Curba inferioară - curba de încălzire a otelului cu 0,45 % C [C6].

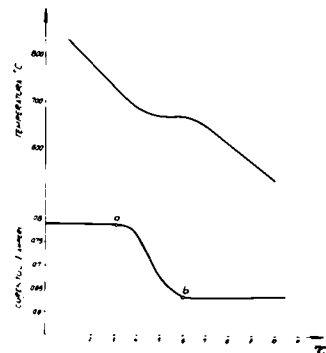


Fig.3.2- Influența timpului și temperaturii piesei asupra regimului electric al solenoïdului cupitorului la răcirea în cîmp magnetic (curba superioară)).Curba inferioară - curba de răcire a otelului cu 0,45 % C [C6].

curbelor din fig.3.1 și 3.2. În cazul fig.3.1, în punctul a pe suprafața epruvetei începe transformarea perlitei în austenită. După formarea unei anumite cantități de austenită, transformarea perlitei închetează, pentru moment, aceasta reflectîndu-se pe curbe de încălzire printr-un palier. În punctul b, cînd începe și procesul de dizolvare a feritei libere în austenită, transformarea perlitei este reluată, iar frontul acesteia se deplasează spre axa epruvetei. Punctul c, reprezintă sfîrșitul transformării perlitei în austenită în miez, iar punctul d corespunde momentului în care se termină dizolvarea în austenită a feritei,cînd otelul devine complet austenizat.

La alte conținuturi în carbon,cuprinse între 0,25 % C și 0,60 % C,s-au obținut dependențe de același tip între mărimele timp-intensitate curent de magnetizare – temperatura piesei.

Generalizând rezultatele obținute la încălzire, pentru seria otelurilor carbon de îmbunătățire cercetată, se observă că punctele critice  $A_{c1}$  (punctul a) și  $A_{c3}$  (punctul d) se pot determina comod și precis cu ajutorul unui ampermetru, folosind funcția de traductor a instalației TTMag, în care mărimea de intrare este temperatura, iar mărimea de ieșire, intensitatea curentului de magnetizare.

In cazul transformărilor la răcire, fig.3.2, viteza medie de desfășurare a transformărilor de fază este relativ mai mare, așa încât, în privința corelației timp-intensitate curent de magnetizare, particularitățile de la încălzire nu se mai întâlnesc. Punctul a, reprezentă începutul separării feritei libere din austenită pe suprafața epruvetei, iar b - sfîrșitul transformării austenitei în perlită în miezul epruvetei.

Generalizând rezultatele obținute, ca și în cazul încălzirii, se observă că punctele critice  $A_{x3}$  (punctul a) și  $A_{x1}$  (punctul b) se pot determina comod și precis cu ajutorul unui ampermetru, folosind - de asemenea - funcția de traductor a instalației TTMag.

Corelând aceste rezultate, cu cele obținute prin aplicarea metodei analizei termice, se observă că, sub influența cîmpului magnetic, punctele critice  $A_{c3}$  și  $A_{x3}$  coboară pe axa temperaturilor, în raport cu aceleși puncte determinate în absența cîmpului magnetic. Pentru a explica influența cîmpului magnetic alternativ asupra poziției punctelor critice, trebuie avut în vedere hysterezisul magnetic caracteristic acestor tipuri de feromagnetică. Atât la încălzire, cât și la răcire, energia corespunzătoare hysterezisului magnetic se repartizează concentrat pe o masă mai redusă de ferită feromagnetică, așa încât, temperatura acesteia crește provocînd dizolvarea în austenită, moment ce corespunde

punctului critic  $A_{c3}(A_{x3})$ .

Comparind această influență a cîmpului magnetic asupra austenitei cu alte influențe, se observă mărirea tendinței spre subrăcire a austenitei la răcirea acesteia în cîmp magnetic, acțiune similară cu a unor elemente de aliere (Ni, Mn, etc).

### 3.4. Influenta cîmpului magnetic asupra temperaturii de călire

Încercările preliminare, efectuate în legătură cu influența TTMag asupra proprietăților mecanice, au impus reconsiderarea problemei alegerii temperaturii de călire deoarece, așa cum s-a menționat mai sus, rezultatele privind proprietățile mecanice sunt împrăștiate, fapt ce trebuie pus în legătură cu supraincălzirea la călire.

În călirea clasică, radul real de supraincălzire este o mărime necontrolabilă, deoarece punctul critic  $A_{c3}$ , luat din literatura de specialitate, este o caracteristică ce diferă totdeauna de același punct critic al materialului de călit. Acst lucru este evident dacă se iau în considerare condițiile în care se obține punctul critic  $A_{c3}$ . Piesa reală diferă geometric și dimensional de epruvete utilizată la determinarea punctului critic  $A_{c3}$  și, dacă se are în vedere și segregatiile de orice fel, plus vitezele diferite de incălzire, se va observa că necoincidența punctelor critice  $A_{cr}$  este clară și justificată teoretic și practic.

Într-o piesă, unde factorii geometrici și dimensionali sunt neprecizați, în condiții concrete de incălzire, punctul critic  $A_{c3}$  nu trebuie raportat la întreaga masă a materialului supus tratamentului termic, întrucât acesta este neomogen chimic și termic, ci la acel punct al piesei în care punctul critic  $A_{c3}$  se atinge ultimul. Față de acest punct este clar că restul piesei este su-

prafincăzită sau supramentinută. Instalația TTMag, concepută și realizată la Universitatea din Galați, oferă posibilitatea determinării exacte a acestui punct, așa încât călirea se realizează practic fără suprafinčăzire și supramentinere.

Cu scopul reducerii suprafinčăzirii supra-sau submenținerii s-au experimentat două metode de călire [C6], [A2], [M10], [J3], [P4], [R6].

1. Prinul tip de tratament se bazează pe simultaneitatea transformărilor magnetice și polimorfe la finčăzirea în cimp magnetic, cind punctele critice  $A_{c3}$  și  $A_2$  coincid. Metoda constă în finčăzirea otelului pînă la punctul critic  $A_{c3}$ , urmată de menținere (1 minut) și răcire în apă în vederea călirii la martensită. La determinarea punctului critic  $A_{c3}$  ( $A_2$ ) s-a lucrat în condițiile expuse în cap.3.3.

S-a observat, cu ocazia experimentelor, că utilizarea funcției de traductor a instalației TTMag face ca metoda să fie total independentă de factorii amintiți mai sus, în legătură cu poziția reală a punctului  $A_{c3}$ .

La călirea otelurilor carbon de îmbunătățire după această metodă s-au făcut următoarele observații, din punct de vedere a temperaturii de călire:

- la otelurile plasate la dreapta punctului C din diagrama sistemului metastabil Fe- $Fe_3C$  temperatura de călire coboară riguros pînă la temperatura punctului critic  $A_{c3}$ ;

- otelurile plasate la stînga punctului C se pot căli de la o temperatură mai joasă, și anume, de la nivelul punctului critic  $A_2$ ;

- sub influența cîmpului magnetic se produce deplasarea limitei de aplicabilitate a TTMag la otelurile carbon de îmbunătățire.

2. Cel de-al doilea tip de tratament se bazează pe simultaneitatea transformărilor magnetice și polimerice la răcire, cind punctele critice  $A_{x3}$  și  $A_2$  coincid.

In principiu, metoda constă în încălzirea otelului pînă la punctul critic  $A_{x3}$ , urmată de menținere (1 minut) și răcire lentă pînă la atingerea punctului critic  $A_{x3}$ , cind urmează răcirea în apă în vederea obținerii mertensitei.

Ca și în cazul metodei precedente, punctul critic  $A_{x3}$  a fost pus în evidență prin luarea în considerare a funcției de traductor a instalației TiMag. Cu ajutorul unui ampermetru de clasă de precizie medie momentul atingerii punctului  $A_{x3}$  se determină cu mare precizie, cind din austenită precipită 0,5 % din ferita liberă. Se obține în acest caz cea mai redusă temperatură de călărie a otelurilor hipoeutectoide.

Resultatele obținute în cadrul acestei metode sunt centralizate în fig.3.3.

Cu privire la această a doua metodă de TiMag se observă că în cîmp magnetic, tendința spre suprarăcire a austenitei se mărește sensibil, așa încît temperatura reală de călărie, în raport cu

temperatura recomandată de călărie, se reduce cu pînă la  $160^{\circ}\text{C}$ . De aici rezultă o serie de mari avantaje ale acestei metode de tratament termic:

- reducerea temperaturii de încălzire pentru călărie ;

- eliminarea dezavantajelor supraîncălzirii ;

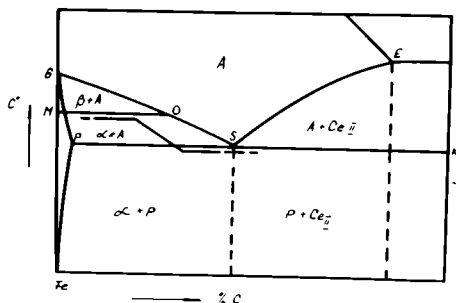


Fig.3.3.-Temperatura de călărie a otelurilor hipoeutectoide călărite în cîmp magnetic de la punctul critic  $A_{x3}$ ( $A_2$ ).

- reducerea temperaturii reale de călire ;
- eliminarea dezavantajelor legate de o cădere termică mare la răcire (fisurare, deformare, strîmbare, etc) ;
- reducerea temperaturii cuptorului ;
- suprimarea totală a supraventinerii ;
- evitarea sigură a subventinerii .

### 3.5. Influenta cîmpului magnetic asupra temperaturii

#### dedezorientare

Cu privire la grăuntele cristalin al oțelurilor, se știe că există o diferență între grăuntele metalografic și grăuntele care se constată pe suprafața de rupere. Astfel, în cazul unor structuri initiale grosclane, susținizarea oțelului la temperaturi puțin superioare punctului  $A_{c3}$  duce la apariția unei texturi intragrosclane, așa încât reziliența acestuia va avea valori reduse. Pentru îmbunătățirea acestei proprietăți materialul trebuie încălzit la temperaturi superioare temperaturii de dezorientare, ceea ce implică supraîncălzirea acestuia.

Avîndu-se în vedere mecanismul formării texturii intragranulare, precum și dezorientarea grăunților de austenită, care are loc în absența cîmpului magnetic, s-a încercat aplicarea TTMag cu scopul de a cerceta în ce măsură cîmpul magnetic poate exercita o influență asupra temperaturii de dezorientare.

Cunoașterea temperaturii de dezorientare este importantă practic deoarece temperatura de normalizare a materialelor cu structură grosclană se alege în raport cu aceasta.

Desi în literatura de specialitate sunt unele date generale, cu privire la procesul de dezorientare, nu se prezintă totuși date concrete, referitoare la influența compozitiei și a altor factori asupra procesului amintit. În consecință, în acest capitol

se analizează în prealabil influența compoziției asupra temperaturii de dezorientare la oțelurile carbon de îmbunătățire călitate și normalizate în absență cimpului magnetic. Metoda de lucru constă în normalizarea sau călărea materialelor de la temperaturi diferite celelalte parametri și regimul de tratament termic fiind menționati riguros aceeași. Rezultatele obținute în astfel de condiții sunt prezentate în fig.3.4, 3.5 și 3.6.

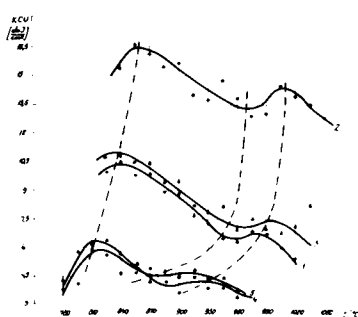


Fig.3.4.-Influența temperaturii asupra rezilienței oțelurilor normalize.

1-0,40 % C; 2-0,26 % C; 3-0,34 % C; 4-0,51 % C; 5-0,57 % C.

In privința influenței temperaturii asupra rezilienței oțelurilor carbon de îmbunătățire normalize se observă că, în toate cazurile, dependența este de aceeași natură, prin creșterea temperaturii, reziliența la început scade, ca urmare a creșterii gradintului de austenită, după care aceasta urmează să crească în urma unui proces de dezorientare

la o anumită temperatură, ce depinde de conținutul în carbon.

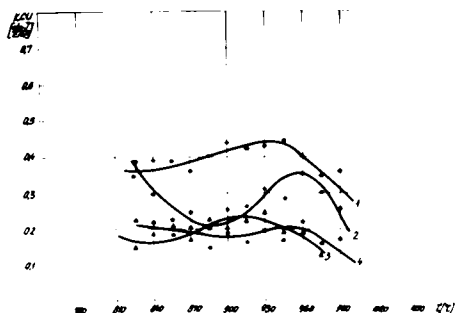


Fig.3.5.-Influența temperaturii asupra rezilienței oțelurilor călitate la martensită.

1-0,34 % C; 2-0,40 % C; 3-0,51 % C; 4-0,57 % C.

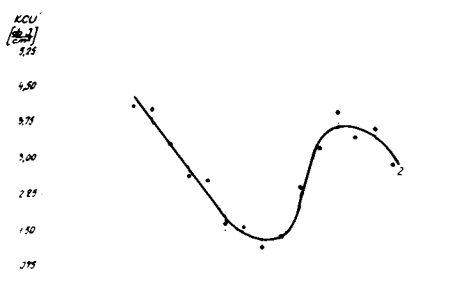
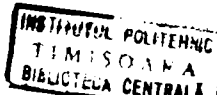


Fig.3.6.-Influența temperaturii asupra rezilienței oțelului cu 0,26 % C călit la martensită.

//.



Temperatura de dezorientare este mai bine pusă în evidență în cazul oțelurilor călitate la martensită. Creșterea rezilienței, prin apropierea temperaturii de temperatura de dezorientare, este explicată prin influența favorabilă pe care o exercită difuziunea asupra omogenității austenitei și rezilienței oțelului. După depășirea temperaturii de dezorientare reziliența scade din cauza acțiunii predominante a creșterii grăuntelui cristalin asupra rezilienței.

O privire de ansamblu a rezultatelor, obținute la oțelurile normalizate și călitate la martensită, arată corespondența valorilor temperaturilor de dezorientare, în cele două cazuri analizate și în condițiile de lucru ale tezei.

Centralizând rezultatele obținute în diagrama sistemului metastabil Fe-Fe<sub>3</sub>C (zona oțelurilor hipoeutectoide) se observă că, la oțelurile cu structură inițială grosolană, temperatura de dezorientare se încadrează într-o fâșie, dispusă sensibil paralel cu

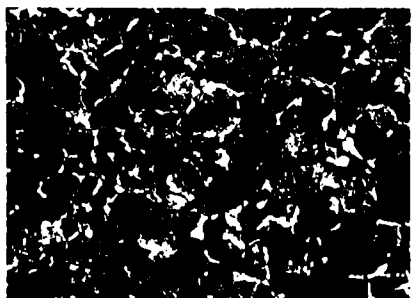


Fig.3.8.-Microstructura oțelului cu 0,57 %C, normalizat de la 780°C (200:1).

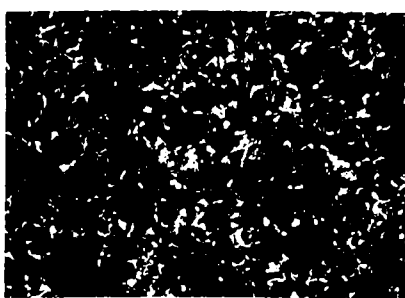
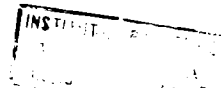


Fig.3.9.-Microstructura oțelului cu 0,57 %C, normalizat de la 990°C (200:1).

linia GGS și situată deasupra acesteia cu 140...190°C.

Pentru a verifica cele afirmate mai sus, ca privire la mecanismul dezorientării, s-a procedat la o analiză metalegrafică a unor cazuri caracteristice.

•//•



In cazul unui oțel cu 0,57 % C, normalizat de la temperaturi inferioare (fig.3.8) sau superioare (fig.3.9) temperaturii de normalizare se observă clar influența dezorientării asupra microstructurii oțelului cu granulație inițială grosolană. Din comparația microstructurilor se observă că normalizarea, de la temperaturi finale și superioare temperaturii de dezorientare, duce la finisarea structurii în comparație cu același tratament efectuat de la temperaturi inferioare temperaturii de dezorientare.

Influența dezorientării asupra microstructurii se vede mai clar dacă se ia în considerare influența temperaturii de normalizare asupra structurii unui oțel cu grăunțe inițial fin, fig.3.10 și 3.11. Din compararea celor două microstructuri, aparținând unui oțel cu aceeași compozitie, se observă că, în absența texturii intragranulare, prin ridicarea temperaturii se produce creșterea grăuntelui de austenit și deci și a grăuntelui de perlit, decarece nu intervine nici un factor de perturbare a acestei tendințe.

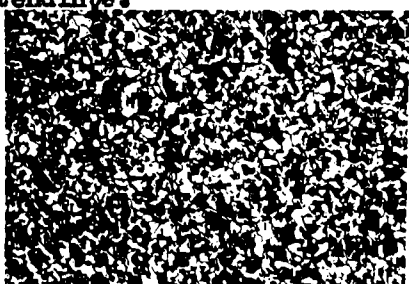


Fig.3.10.-Microstructura oțelului cu 0,26 % C, normalizat de la 855°C (200:1).



Fig.3.11.-Microstructura oțelului cu 0,26 % C, normalizat de la 1050°C (200:1).

Ca și în cazul normalizării se observă că, la călărea unui oțel cu o structură inițială grosolană, structura corespunzătoare unei temperaturi mai finale decât temperatura de dezorientare, este mai fină comparativ cu structura corespunzătoare unei temperaturi inferioare temperaturii de dezorientare.

La un material netexturat intragranular, prin ridicarea

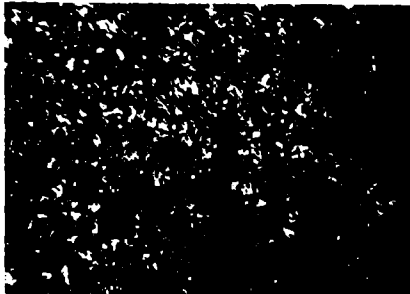


Fig.3.12.-Microstructura oțelului cu 0,57 % C, călit la martenșită de la  $825^{\circ}\text{C}$  (270:1).

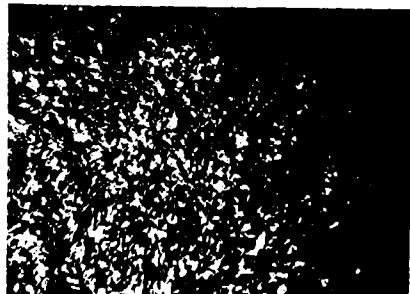


Fig.3.13.-Microstructura oțelului cu 0,57 % C, călit la martenșită de la  $990^{\circ}\text{C}$  (270:1).

temperaturii de călire, grăumentele austenitic crește continuu și, în consecință, martensita va fi mai grosolană.

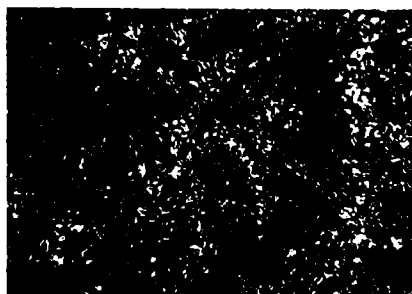


Fig.3.14.-Microstructura oțelului cu 0,26 % C, călit la martenșită de la  $855^{\circ}\text{C}$  (270:1).



Fig.3.15.-Microstructura oțelului cu 0,21 % C, călit la martenșită de la  $1050^{\circ}\text{C}$  (270:1).

Aplicarea TTmag atât la oțelurile cu structură inițială grosolană, cât și la cele cu structură fină, a arătat că, sub influența cîmpului magnetic, austenita unui material cu structură inițială grosolană este supusă unui proces de recristalizare îndată ce se depășește temperatura punctului  $A_{\text{c}3}$ . Aceasta demonstrează în plus că TTmag duce la o deformare suplimentară a rețelei cristaline, motiv pentru care temperatura de dezorientare coboară pînă la punctul critic  $A_{\text{c}3}$ . Datorită acestui fapt, nu mai prezintă importanță clasificarea oțelurilor după criteriul existenței sau nu a texturii intragranulare.

**4. CERCETARI PRIVIND INFLUENȚA TRATAMENTELOR  
TERMOLAGNATICE ASUPRA PROPRIETATILOR MECANICE  
ALE OTELURILOR CARBON DE ILBUNATATIRE.**

**4.1. Preluarea materialelor pentru experimentări.**

**4.1.1. Materiale utilizate pentru experimentări.**

Studiul eficacității TThag s-a făcut pe materiale cu dimensiuni cel mult egale cu diametrul critic și aceasta pentru a se asigura în timpul tratamentului termic anumite tipuri de transformări, astfel ca tratamentul să fie în orice etapă controlabil.

Toate epruvetele folosite în cursul experimentărilor au fost extrase din bare laminate, luându-se în considerare toată gama OLC 25...OLC 60.

Deoarece starea inițială joacă un rol important cu privire la rezultatele obținute și interpretarea lor, trebuie precizat că materialelor nu li s-a aplicat nici-un tratament termic preliminar, săcă incit starea inițială corespunde stării de livrare a laminatelor.

Epruvetele utilizate la încercări au fost confectionate conform condițiilor din standardele de materiale.

Cunoscind influența deosebită pe care o exercită elementele chimice însoțitoare, permanente și întâmplătoare, asupra diferențelor proprietăți ale otelurilor, ca aspect metodologic general trebuie menționat că analiza chimică s-a făcut chiar pe materiale încercate, folosindu-se în acest scop Quantovacul. Pentru principalele materiale utilizate în cadrul experimentărilor, la un grup de epruvete s-a stabilit o compoziție chimică analogă cu cea prezentată în tabelul 5.1.

#### 4.1.2. Alegerea regimului termic al instalației TTMag.

Deoarece materialele cercetate nu sunt susceptibile la fisurare în timpul încălzirii din cauza tensiunilor interne de natură termică sau structurală, s-a stabilit pentru instalație regimul de tratament termic caracterizat prin temperatură constantă pe totă durata încălzirii. Acest regim, printre altele, asigură atât o mare productivitate, cât și un bun randament energetic. În astfel de condiții de lucru, variația temperaturii în cadrul unui ciclu complex de tratament termic (recoacere) este reprezentată în fig. 4.1. Peste graficul de tratament termic se mai suprapune și graficul regimului electric al instalației TTMag cu scopul de a putea corela o serie de parametrii esențiali ai TTMag: temperatura, timpul, intensitatea cimpului magnetic. Corelarea acestor factori este utilă la:

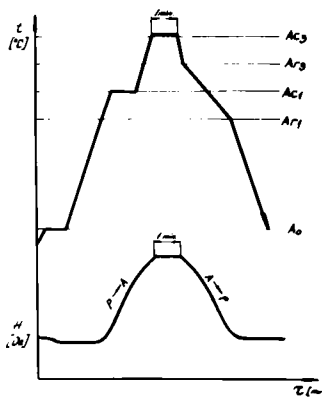


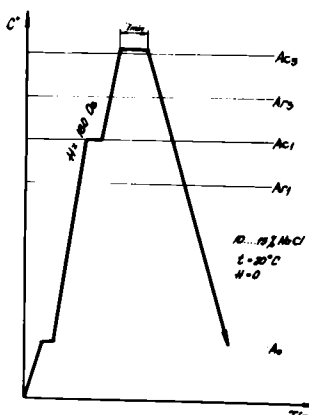
Fig.4.1. - Graficul regimului de tratament și electric al instalației TTMag.

- determinarea duratei de încălzire a materialului;
- stabilirea momentului în care s-a atins temperatura de tratament termic;
- programarea instalației pentru un anumit regim de răcire;
- stabilirea momentului terminării transformărilor de fază la răcire.

#### 4.1.3. Alegerea schemei de tratament termic.

Pentru stabilirea eficacității TTMag s-au aplicat tratamentele termice de călire, recoacere și normalizare în cimp magnetic,

precum și în absență acestuia.



In cazul TMag de călire,după cum se observă din graficul de tratament termic,fig.4.2,cîmpul magnetic este suprapus peste transformările care au

FIG.4.2. - Graficul TMag de călire.

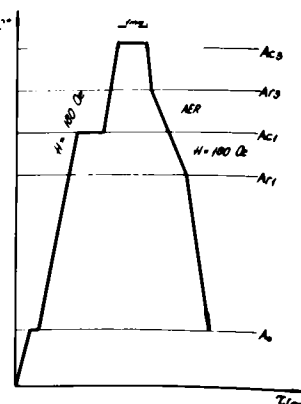
loc la încălzire,precum și în timpul menținerii la temperaturi puțin superioare punctului  $A_{C3}$ .După încălzire,materialul urmează a fi răcit în condiții grele de tratament termic într-o soluție apăsă de 10 %...15 % NaCl la temperatura de  $20^{\circ}\text{C}$ .

In acest caz TMag se bazează pe influența exercitată de cîmpul magnetic în timp și ca urmare a suprapunerii acestuia peste diferitele transformări de fază.

La răcire s-a ales un mediu drastic de călire pentru a se arăta că,în condiții grele de tratament termic,materialul nu este susceptibil la fisurare din cauza tensiunilor interne de natură termică sau structurală,cind acțiunea acestora este izolată sau cumulată

In cazul normalizării,fig.4.3,s-a ales o astfel de schemă

FIG.4.3. - Graficul TMag de normalizare.

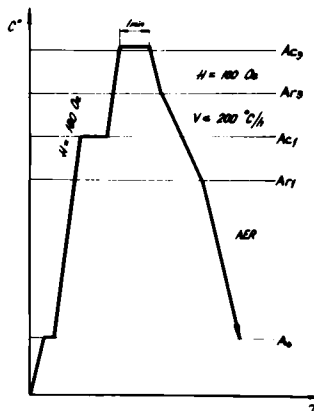


///.

TMag incit cîmpul magnetic acționează și se suprapune atît peste transformările de fază de la încălzire,cit și peste cele de la răcire.

In cazul recoacerii,fig.4.4,ca și la normalizare,cîmpul magnetic acționează atît la încălzire,cit și la răcirea materialului.

Fig.4.4. - Graficul TMag  
de recoacere.



La recoacere,spre deosebire de normalizare,răcirea în cîmp magnetic are un dublu scop :

- intensificarea acțiunii cîmpului magnetic asupra proprietăților mecanice ale materialului ;
- stabilirea unui anumit regim magnetic și termic al instalației.

#### 4.2. Înfluenta cîmpului magnetic asupra proprietăților mecanice ale oțelurilor carbon de îmbunătățire călire la martensită.

Intrucît epruveta cilindrică,recomandată în standardele de materiale pentru încercare metalelor la tracțiune [I 3], nu dă rezultate concluante în cazul oțelurilor călite la martensită,în cadrul experimentărilor s-au utilizat epruvete de formă toroidală.

In cazul epruvetelor călite la martensită și nerevenite, fig.4.5 - curba 2,între rezistența de rupere la tracțiune și conținutul în carbon există o dependență sub forma unei curbe cu maxim, maximul avînd loc la aproximativ 0,4 % C.Acest mod de variație a rezistenței la rupere la tracțiune se explică prin faptul că mate-

•//•

rialul călit este într-o stare tensionată, de așa natură, încit gradul de participare al atomilor la solicitarea de întindere pură scade odată cu creșterea conținutului în carbon, pentru domeniul de compozиții ce depășește 0,4 % C.

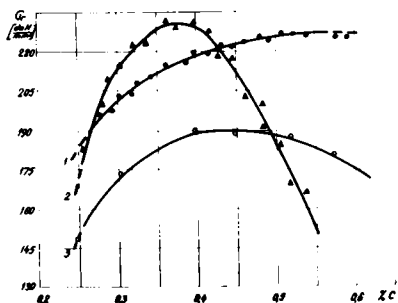


Fig.4.5. - Influența compoziției și tratamentului termic asupra rezistenței de rupere la tractiune.

curba 1 - călire TMag la martensită ( $t_{căl} = A_{C3}/1$  min/sol.10...15% NaCl)+detensionare ( $100^{\circ}\text{C}/5$  ore).

curba 2 - călire TMag la martensită ( $t_{căl} = A_{C3}/\text{min/sol.10...15\% NaCl}$ ).

curba 3 - rezistență de rupere la tractiune a OIC 25...OIC 60, călite la martensită, după datele din literatură [n 12].

Trebuie menționat că, la călirea în cîmp magnetic, influența compozиției asupra rezistenței de rupere la tractiune este mai accentuată în cazul oțelurilor hiposeuctoide cu conținut redus în carbon. Se vede clar că viteza de creștere a rezistenței scade cînd conținutul în carbon crește.

Pentru a pune mai bine în evidență eficacitatea TTMag în privința rezistenței la rupere, în fig.4.5 - curba 3 se reprezintă influența carbonului asupra rezistenței de rupere la tracțiune după datele din literatură, iar în fig.4.6 - efectul TTMag și al detensionării raportat la datele din literatură și la starea de călire la martensită tetragonală.

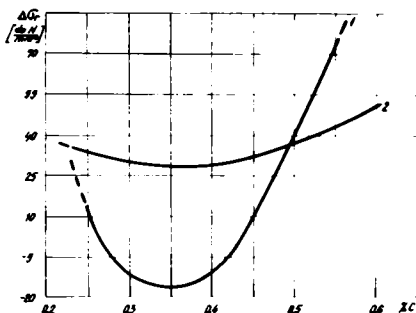


Fig.4.6 - Efectul compozitiei și TTMag asupra rezistenței de rupere la tracțiune.

curba 1 - efectul detensionării stabilit prin diferența dintre  $\bar{U}_c$  călire TTMag (curba 2 fig.4.5) și  $\bar{U}_r$  călire TTMag + detensionare (curba 1 fig.4.5),

curba 2 - efectul TTMag + detensionare (curba 1 fig.4.5) stabilit prin diferența acestuia față de datele din literatură (curba 3 fig.4.5).

La călirea în cîmp magnetic se observă că efectul TTMag este întotdeauna pozitiv, creșterea rezistenței de rupere la tracțiune fiind cuprinsă între 28 și 46 %, pentru domeniul de compozitii analizat.

Din cele prezentate mai sus, în fig.4.5 și 4.6, referitor la influența compozitiei asupra rezistenței de rupere la tracțiune a materialului călit TTMag și nedetensionat, la început s-a bănuit că creșterea rezistenței la rupere odată cu conținutul în carbon pînă la 0,4 % se poate explica prin faptul că, în acest domeniu de concentrații, oțelul avînd structura formată din martensită tetragonală ar fi plastic.

Pentru verificarea acestei ipoteze, după aplicarea diferitelor tratamente, materialul a fost încercat la încovoiere cu scopul

///.

determinării săgeții la rupere. Rezultatele obținute sunt prezentate în fig.4.7, 4.8 și 4.9. În cazul tratamentelor de călire clasică și TMIg, atât la materialele detensionate, cât și la cele nedetensionate se observă scăderea săgeții la rupere odată cu creșterea conținutului în carbon. Această dependență este de așa natură încât viteza de creștere a săgeții este cu atât mai mare, cu cât conținutul în carbon este mai mic.

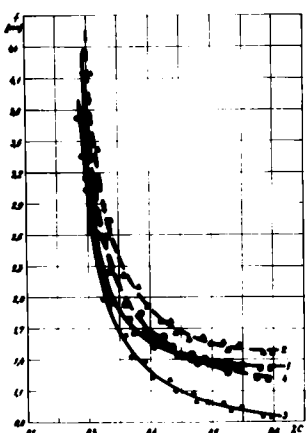


FIG.4.7.-Influența compoziției și tratamentului termic asupra săgeții la rupere.

curba 1 - călire TMIg la mătensită ( $t_{căl} = A_{c3}/1 \text{ min/sol.} 10...15\% \text{ NaCl}$ )

curba 2 - idem + detensionare (100°C/5 ore)

curba 3 - călire clasică la mătensită ( $A_{c3} + 30^\circ...50^\circ \text{C}/1 \text{ min/aspă } 20^\circ \text{C}$ ).

curba 4 - idem + detensionare (100°C/5 ore).

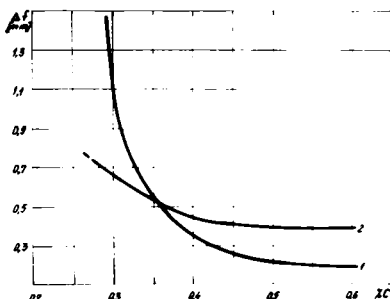
Aceste date, și altele de mai sus duc la concluzia că, la conținuturi mai mari în carbon, cimpul magnetic duce la creșterea stării de tensiuni.

Efectul TMIg asupra creșterii  $\Delta f$  a săgeții la rupere, în cazul aceleiasi stări structurale, este reprezentat în fig.4.9.

•//•

Atât în cazul materialelor detensionante, cât și a celor nedetensionante, se observă că efectul TTMag este, pentru toate cazurile, pozitiv. În cazul călirii la martensită în cîmp magnetic se observă că, creșterea  $\Delta f$  a săgeții la rupere are loc odată cu mărirea conținutului în carbon. Acest lucru confirmă ipoteza formulată mai sus cu privire la influența cîmpului magnetic asupra otelului călit la martensită.

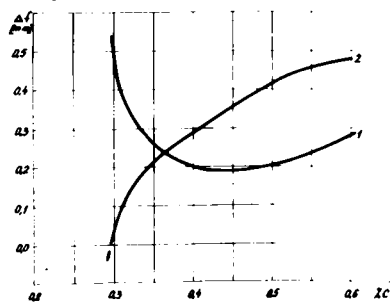
Fig.4.8 - Efectul compozitiei și detensionării asupra creșterii săgeții la rupere.



Curba 1 - efectul detensionării stabilit prin diferență dintre  $f$  călire TTMag + detensionare (curba 2 fig.4.7) și  $f$  călire TTMag (curba 1 fig.4.7).

curba 2 - idee prin diferență dintre  $f$  călire clasică + detensionare (curba 4 fig.4.7) și  $f$  călire clasică (curba 3 fig.4.7)

Fig.4.9 - Efectul compozitiei și TTMag asupra creșterii săgeții la rupere.



curba 1 - efectul TTMag stabilit prin diferență dintre  $f$  călire TTMag + detensionare (curba 2 fig.4.7) și  $f$  călire clasică + detensionare (curba 4 fig.4.7).

curba 2 - efectul TTMag stabilit prin diferență dintre  $f$  călire TTMag (curba 1 fig.4.7) și  $f$  călire clasică (curba 3 fig.4.7).

Pentru a explica influența compoziției și tratamentului asupra săgeții la rupere trebuie să se aibă în vedere, că, deși tratamentul termic se aplică cu intenția călirii la martensită, în timpul răcirii rapide peste transformarea martensitică, în anumite condiții de compozitie, se pot suprapune transformările la revenire. Cu alte cuvinte, la călire nu are loc o transformare pură, fără difuziune. Pentru oricare dintre cele patru cazuri analizate în fig. 4.7 curba  $f = \varphi (\%C)$  se poate imagine ca fiind formată dintr-o porțiune ce tinde asimptotic la axa concentrăriilor și o porțiune ce tinde asimptotic la axa săgeții.

Rezultatele obținute pot fi interpretate și din punct de vedere metalografic. Astfel, la un oțel cu conținut redus în carbon, fig. 4.10, comparativ cu un oțel cu conținut mai ridicat în carbon, fig. 4.11, aspectul acicular al martensitei este slab exprimat, așa încât structura pură a fi formată din constituenți globulari, și aceasta din cauza conținutului redus în carbon.

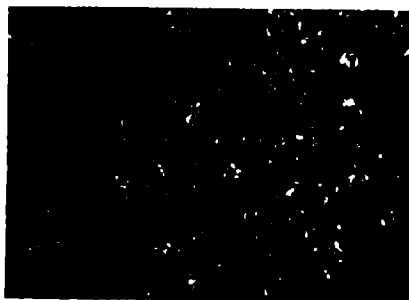


Fig. 4.10. Microstructura oțelului cu 0,29% C călit în Mg,  $D=12$  mm,  $t_{căl}=A_{c3}/1$  min/sol.10...15, NaCl, atac Nital 3+, (270:1).

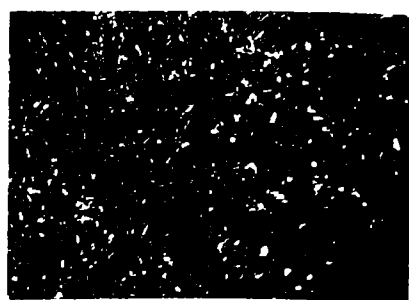
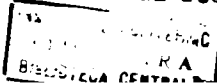


Fig. 4.11. Microstructura oțelului cu 0,60% C călit în Mg,  $D=12$  mm,  $t_{căl}=A_{c3}/1$  min/sol.10...15, NaCl, atac Nital, (270:1).

Din cele expuse rezultă imediat că nu în toate cazurile martensita este categoric fragilă. La oțelul cu conținut ridicat în carbon martensita este fragilă, în timp ce la conținuturi mai reduse

•//•



în carbon, deși otelul este călit la martensită, se observă că materialul are o plasticitate evidentă. S-ar putea vorbi în acest caz de o compoziție critică pînă la care martensita este plastică. Din analiza rezultatelor obținute în legătură cu această problemă, pentru soria critică corespunde otelului cu 0,40 % C.

Cu această ocazie se poate face o precizare privind temperatură sub care are loc suspendarea totală a proceselor de difuzie a fierului și a carbonului [G3]. În literatură se afirmă că această temperatură este de cca 200°C. Analiza acestei afirmații și luarea în considerare a altor date din literatură arată că numai la otelurile carbon cu cel puțin 1% C, ca rezultat al călării, se obține, la temperatura mediului ambient, martensită tetragonală. Deoarece se au în vedere corelațiile  $\sigma_f = f(\%C)$ ,  $\sigma_p = f(\%C)$ ,  $f = \Psi(\%C)$ , precum și  $HRC = f(\%C)$  se observă că, în condițiile de lucru din cadrul acestei teze, temperatura sub care incetează difuziunea carbonului este mai mare de 200°C și anume de aproximativ 300°C.

Considerăm că prin acest rezultat, în lucrare se face o precizare privind limita temperaturii sub care incetează practic difuziunea carbonului.

Cele constatate sunt în concordanță cu rezultatele obținute de Vefter și Engel [V3].

Trebue precizat că cele afirmate mai sus sunt valabile în cazul materialelor cu grosimi apropiate de  $D_{cr}$ ; cazul în care  $D_{real} > D_{cr}$  se exclude din discuție, iar în privința unor dimensiuni mai mici, în această lucrare s-a constatat că temperatura sub care incetează practic difuziunea carbonului este și mai ridicată, aceasta putind ajunge chiar la 350°C. Explicația este: prin reducerea grosimii crește viteza medie de răcire și, prin aceasta, se frînează dezvoltarea proceselor de difuziune care, în condiții quasistaticice de răcire, are loc la temperatură mai coborită.

Comparind rezultatele obtinute la călirea TTMag și la cea clasică se observă că, în primul caz, săgeata este mai mare decât în al doilea caz la un conținut dat de carbon. Cum o valoare mai mică a săgeții la rupere indică o stare de tensiuni mai accentuată, rezultă, și prin aceasta se explică, de ce la TTMag săgeata la rupere este mai mare decât în alte cazuri: la TTMag acțiunea cimpului magnetic este de așa natură, încât are loc intensificarea proceselor de difuziune și, prin aceasta, apropierea materialului de starea de echilibru termodinamic. Altfel spus, călirea TTMag (fig.4.7 curba 1) echivalează cu o călire clasică + detensionare (fig.4.7 curba 4).

Decarece una dintre caracteristicile mecanice, luată în considerare de mulți cercetători la stabilirea eficiențăii tratamentului de călire, este duritatea, în cele ce urmează se prezintă rezultatele cercetărilor privind influența compozitiei și tratamentului asupra durității.

În cadrul acestei cercetări s-au luat în considerare stările structurale obtinute prin aplicarea următoarelor tratamente termice:

- călire la martensită în cimp magnetic ( $t_{căl} = A_{C3}/1 \text{ min/sol.} 10\ldots 15\% \text{ NaCl}$ );
- călire la martensită în cimp magnetic urmată de detensionare ( $t_{căl} = A_{C3}/1 \text{ min/sol.} 10\% \text{ NaCl} + \text{det.} 100^\circ\text{C}/5 \text{ ore}$ );
- călire clasică la martensită ( $A_{C3} + 30^\circ\ldots 50^\circ\text{C}/1 \text{ min/apă} 20^\circ\text{C}$ );
- călire clasică la martensită urmată de detensionare ( $A_{C3} + 30^\circ\ldots 50^\circ\text{C}/1 \text{ min/apă} 20^\circ\text{C} + \text{det.} 100^\circ\text{C}/5 \text{ ore}$ ).

În cazul acestor patru tipuri de tratament, influența compozitiei asupra durității este reprezentată în fig.4.12 curbele 1, 2, 3 și 4. Se observă următoarele :

- în toate cazurile duritatea crește odată cu conținutul în carbon ;

- la călirea clasică, atât în stare detensionată, cât și nedetensionată, duritatea este puțin superioară duritatii acelorași materiale, călite TiMag, în stare detensionată și nedetensionată;
- în toate cazurile împrăștierea rezultatelor este mult mai mică comparativ cu datele din literatură;
- în cele patru variante de tratament termic duritatea este mult superioară duritatii indicate de literatură.

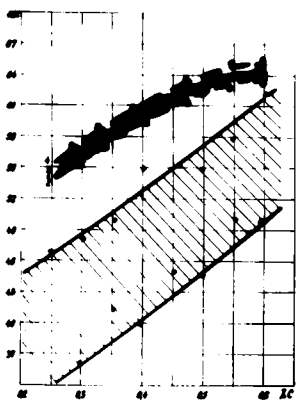


Fig.4.12 - Influența compoziției și tratamentului termic asupra duritatii.

curba 1 - călire TiMag la martensită ( $t_{căl} = A_{cr}/1 \text{ min/sol.} 10...15\% \text{ NaCl}$  + detensionare  $100^\circ\text{C}/5 \text{ ore}$ ) :

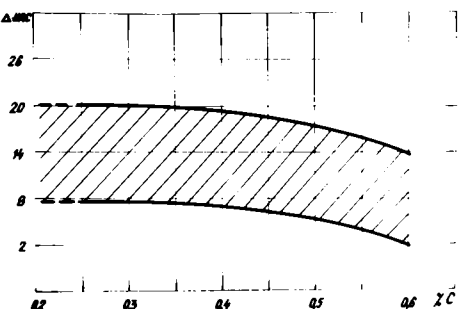
curba 2 - călire TiMag la martensită ( $t_{căl} = A_{cr}/1 \text{ min/sol.} 10...15\% \text{ NaCl}$ ) ;

curba 3 - călire clasică la martensită ( $A_{cr} + 30...50^\circ\text{C}/1 \text{ min/apă} 20^\circ\text{C} + \text{detensionare } 100^\circ\text{C}/5 \text{ ore}$ ) ;

curba 4 - călire clasică la martensită ( $A_{cr} + 30...50^\circ\text{C}/1 \text{ min/apă} 20^\circ\text{C}$ ) domeniul hașurat - intervalul duritatilor după datele din literatură [n2].

Diferența mare dintre duritatările indicate de literatură și cele stabilită în cadrul acestor cercetări se explică prin faptul că materialele utilizate au avut un diametru (sau diametru echivalent) inferior diametrului critic. Pentru a evalua efectul TiMag s-a luat ca bază de comparație duritatea HRC a oțelurilor din seria OLC, indicată în literatură de specialitate. După cum se observă din fig.4.13 pentru gama oțelurilor carbon de îmbunătățire, prin aplicarea TiMag, duritatea crește apreciabil creșterea relativă a acesteia fiind cuprinsă în limitele 28...55%, cu precizarea că valorile mai mici sunt pentru oțelurile cu conținut mai mare în carbon.

Fig.4.13 - Efectul compozitiei si TTmag asupra crestterii duritatii stabilit prin diferența dintre HRC călire TTmag + detensionare (curba 1 fig.4.10) și intervalul duritatilor după datele din literatură.



Pentru explicarea acestor rezultate trebuie avut în vedere faptul că, în cadrul cercetărilor care constituie obiectul acestei teze de doctorat, călirea s-a făcut strict la martensită, în timp ce cu privire la datele din literatură nu se fac precizări privind condițiile tratamentului termic și, mai ales, privind factorul dimensional, motiv pentru care, în urma călirii, s-ar fi putu obține și structuri nemartensitice.

Pentru a verifica cele afirmate mai sus s-a procedat la călirea clasică a unor epruvete cu dimensiuni subcritice, iar rezultatele obținute sunt reprezentate în fig.4.12 (curbele 3 și 4) și fig.4.14.

Din fig.4.14 se observă că efectul tratamentului termic, în astfel de condiții, este în toate cazurile pozitiv, cînd baza de comparație o constituie datele din literatura de specialitate. O concluzie de mare importanță practică, ce rezultă din analiza critică comparativă a diferitelor rezultate, este că, în cazul TTmag, deși temperatura de călire este mai mică decît temperatura călirii clasice, iar timpul de menținere este de numai un minut, rezultatele călirii sunt sensibil egale cu cele ale călirii clasice și oricum superioare celor din literatura de specialitate.

Este interesant de remarcat faptul că, în timp ce la călirea clasică detensionarea - conform așteptărilor - duce la scăderea duritatii, la călirea TTmag se observă fenomenul invers - creșterea

durității în urma detensionării, fenomen constatat și studiat la oțelurile hipereutectoidice, călitate la martensită.

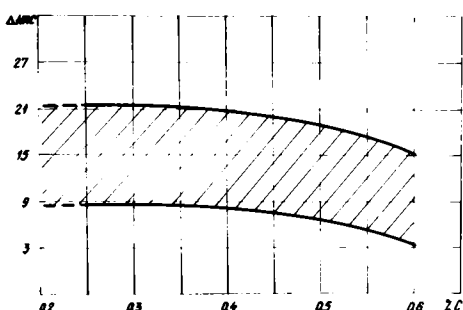


Fig.4.14 - Efectul compoziției și călirii clasice la martensită stabilit prin diferența dintre HRC călire clasică (curba 4 fig.4.12) și intervalul durităților după datele din literatură.

Din punct de vedere tehnologic rezultatele obținute au o valoare deosebită deoarece acestea arată că, cel mai bun complex de proprietăți mecanice se poate obține reducind temperatura de călire precum și durata menținerii pînă la valoarea limită teoretică. De aici rezultă imediat și un mare avantaj economic constând în reducerea consumului specific de energie la tratamentul termic, mărire productivității instalației de tratament termic și a randamentului energetic al acesteia, atenuarea deformării și strîmbării, mărire gradului de utilizare a instalației și.m.d.

Analiza rezultatelor cuprinse în diagrama din fig.10 mai arată printre altele că, în cazul TiMag, reducerea temperaturii și duratei de menținere nu influențează negativ asupra călibilității și nici asupra gradului de călire. Asupra acestui lucru se va reveni în cap.6, unde se cercetează influența TiMag asupra călibilității oțelurilor carbon de îmbunătățire. În comparație cu alte date din literatură, rezultatele obținute arată că, prin aplicarea călirii TiMag, duritatea efectivă a oțelului se apropie de duritatea limită a martensitei [33].

Decarece reziliența face parte din grupa proprietăților mecanice structurale sensibile, care răspunde cel mai energetic la va-

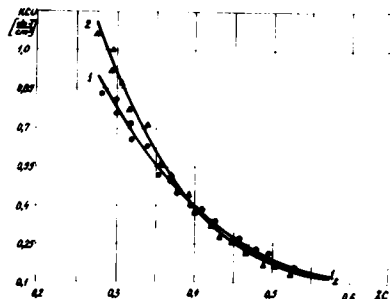
riatiile caracteristicilor structurii și substructurii, să considerat necesară și analizarea influenței TIMag asupra acestei caracte-

ristici.

Se observă că în cazul călirii TIMag, reziliența se reduce treptat odată cu creșterea conținutului în carbon.

Pentru a aprecia valoarea practică a acestor rezultate, în fig.4.15 se reprezintă și influența compozitiei și detensionării asupra rezilienței otelurilor carbon călite clasice la martensită și detensionionate. Din analiza curbelor 1 și 2 fig.4.15 se observă o sensibilă oprire a rezultatelor.

Fig.4.15 - Influența compozitiei și tratamentului termic asupra rezilienței.



curba 1 - călire TIMag la martensită ( $t_{căl} = A_{c3}/1 \text{ min/sol.} 10\ldots 15\% \text{ NaCl}$ ) ;

curba 2 - călire clasică la martensită ( $A_{c3} + 30\ldots 50^\circ\text{C}/1 \text{ min/apă } 20^\circ\text{C}$ ) + detensionare ( $100^\circ\text{C}/5 \text{ ore}$ ).

De aici rezultă imediat că, din punctul de vedere al proprietății analizate, TIMag echivalează cu un tratament termic dublu de călire clasică la martensită urmată de detensionare.

Acest rezultat concordă și cu cele constatate în legătură cu influența compozitiei și tratamentului termic asupra săgeții la rupere (curbele 1 și 4 fig.4.7).

In cazul materialelor fragile, numai rezistența de rupere la tractiune nu pune suficient de bine în evidență influența trata-

mentului și structurii asupra acestui important indice de rezistență. De aceea s-a considerat necesară dirijarea cercetărilor și pe o altă direcție, prin luarea în considerare și a unui alt indice de rezistență și anume rezistență de rupere la încovoiere.

In cazul rezistenței de rupere la tractiune, rezistență aparentă este mai mică decât rezistență reală datorită imperfecțiunilor de nedepășit ale mașinii de încercare la tractiune (solicitația la tractiune nu este pur axială).

La încercarea la tractiune a unui material călit, deoarece deformația elastică nu poate trece în deformare plastică, materialul răspunde prematur, motiv pentru care rezistența aparentă este mult sub așteptări.

Rezultatele încercărilor la încovoiere pură sunt reprezentate în fig.4.16. În acestu diagramă se prezintă influența compozitiei și diferitelor tratamente asupra rezistenței de rupere la încovoiere.

Pentru oricare dintre cele patru cazuri analizate se observă că rezistența de rupere la încovoiere scade, pe măsura creșterii conținutului în carbon, cu precizarea că viteza de creștere a acestui indice de rezistență este mai mică la TiMag decât în cazul călirii clasice. O privire de ansamblu arată că în cazul TiMag caracteristica  $\sigma_f$  este mai mare în domeniul de concentrații mai mari decât aproximativ 0,3 % C. De aici rezultă o primă concluzie privind domeniul de aplicare al TiMag: cîmpul magnetic influențează pozitiv caracteristica  $\sigma_f$  numai în cazul în care, datorită hysterezisului magnetic, are loc coincidența punctelor  $A_2$  și  $A_{C3}$ . Efectul TiMag asupra rezistenței de rupere la încovoiere este arătat în fig.4.17 și 4.18. Se observă că, pentru cazurile analizate, efectul TiMag este pozitiv pentru domeniul hipoeutectoid începînd de la cel puțin

0,3 % C, pentru motivele arătate anterior.

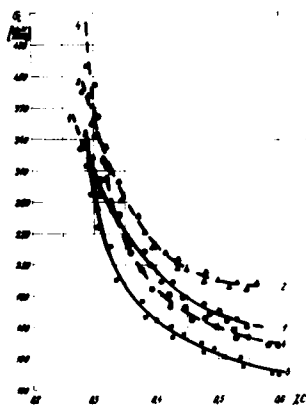


Fig.4.16 - Influența compoziției și tratamentului termic asupra rezistenței de rupere la încovoiere.  
curba 1 - călire TTMag la martensită ( $t_{căl} = A_{C3}/1 \text{ min}/\text{sol.} 10...15\% \text{ NaCl}$ ) ;  
curba 2 - idem+detensionare ( $100^\circ\text{C}/5 \text{ ore}$ ) ;  
curba 3 - călire clasică la martensită ( $A_{C3} + 30...50^\circ\text{C}/1 \text{ min/apă } 20^\circ\text{C}$ ) ;  
curba 4 - idem +detensionare ( $100^\circ\text{C}/5 \text{ ore}$ ).

In ceea ce privește influența detensionării asupra creșterii rezistenței de rupere la încovoiere se observă că aceasta este pozitivă pentru orice conținut în carbon, în domeniul hipeeutectoid.

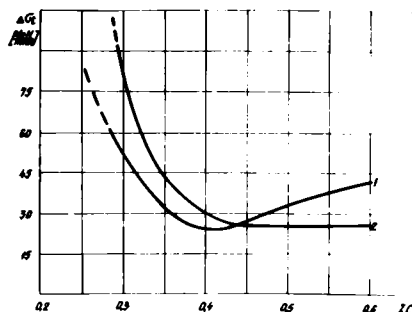


Fig.4.17 - Efectul compoziției și detensionării asupra creșterii rezistenței de rupere la încovoiere.  
curba 1 - efectul detensionării stabilite prin diferența  $\Gamma_f$  călire TTMag+detensionare (curba 2 fig.4.16) și  $\Gamma_f$  călire TTMag (curba 1 fig.4.16),  
curba 2 - efectul detensionării stabilite prin diferența dintre  $\Gamma_f$  călire clasică+detensionare (curba 4 fig.4.16) și  $\Gamma_f$  călire clasică (curba 3 fig.4.16).

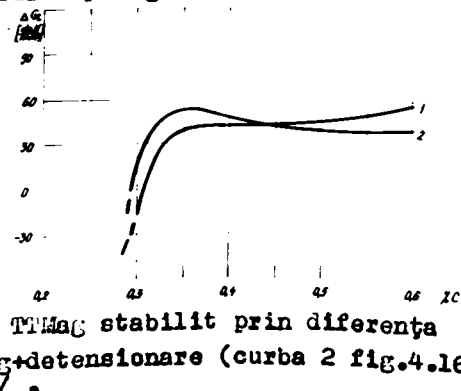


Fig.4.18 - Efectul compozitiei și TTMag asupra creșterii rezistenței de rupere la încovoiere.  
curba 1 - efectul compozitiei și TTMag stabilit prin diferența dintre  $\Gamma_f$  călire TTMag+detensionare (curba 2 fig.4.16)

// .

și  $T_i$  călire clasică + detensionare (curba 4 fig.4.16). curba 2 - efectul compozitiei și TTMag stabilit prin diferența dintre  $T_i$  călire TTMag (curba 1 fig.4.16) și  $T_i$  călire clasică (curba 3 fig.4.16).

Concluzii călire.

- Se precizează domeniul de compozitie în care se poate aplica TTMag, acesta cuprindând oțelurile hipoeutectoide cu cel puțin 0,3 % C.

- S-a demonstrat că, în condiții total reproductibile, temperatura de călire în cimp magnetic poate fi adusă practic la nivelul punctului  $A_{c3}$  ( $A_2$ ).

- Sub influența cimpului magnetic, coincidenta punctelor  $A_2$  și  $A_3$  se poate face și la stînga punctului "0" din diagrama de echilibru metastabil Fe- $Fe_3C$ .

- Datorită celor spuse mai sus, temperatura de călire în cimp magnetic este cea corespunzătoare liniei 1 - 2-3 din diagrama Fe- $Fe_3C$ .

- S-a precizat că temperatura sub care incetează difuziunea carbonului este cca 300°C.

- Efectul TTMag în cazul unor proprietăți mecanice - KCU, f,  $T_i$  - este echivalent cu un tratament termic dublu de călire la martensită și detensionare.

- Un alt aspect al problemei, deosebit de important, este cel în legătură cu capacitatea de deformare plastică a oțelului călit la martensită. Dacă săgeata la rupere este luată ca indice al capacitatei de deformare a materialului călit la martensită, se constată că, în cazurile în care oțelurile conțin cel puțin 0,4 % C, acestea se comportă fragil. Oțelurile hipoeutectoide cu mai puțin de 0,4 % C sunt cu atât mai tenace în starea călită la martensită, cu cît conținutul în carbon este mai redus.

4.3. Influenta cîmpului magnetic asupra proprietăților mecanice ale otelurilor carbon de îmbunătățire reccoapte.

Pentru stabilirea efectului  $T_{IMag}$  s-au luat în considerare următoarele caracteristici mecanice: rezistența la deformări plastice mari ( $\bar{\sigma}_p$ ), rezistența la deformări plastice mici ( $\bar{\sigma}_c$ ), rezistența la sarcini dinamice (KCU), alungirea la rupere ( $\delta_5$ ) și gîtuirea la rupere (Z).

Influenta compozitiei și  $T_{IMag}$  asupra rezistenței la rupere este arătată în fig.4.19.

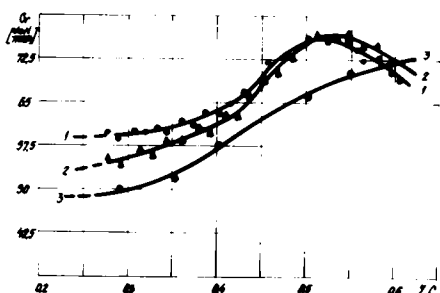


Fig.4.19 - Influenta compozitiei și reccoacerii asupra rezistenței de rupere la tractiune.

curba 1 - recoacere la cîmp magnetic ;

curba 2 - recoacere clasică ;

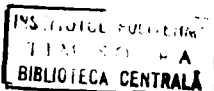
curba 3 - rezistența de rupere la tractiune a OLC 25...OLC 60 normalizate, după datele din literatură [112].

Se observă mai întîi că nu este o creștere monotonă a rezistenței de rupere la tractiune și că dependența  $\bar{\sigma}_p = f(\% C)$  se exprimă printr-o curbă cu maxim, maximul avind loc la aprox. 0,52 % C.

Pentru a pune în evidență contribuția  $T_{IMag}$  în privința acestui indice de rezistență, în fig.4.19 se mai reprezintă și influența compozitiei asupra rezistenței de rupere la tractiune a materialelor reccoapte clasice (curba 2).

În ansamblu se observă o analogie între recoacerea  $T_{IMag}$  și recoacerea clasică, dependența dintre compozitie și rezistență fiind reprezentată grafic prin curbe cu aceeași aliură și cu carac-

///.

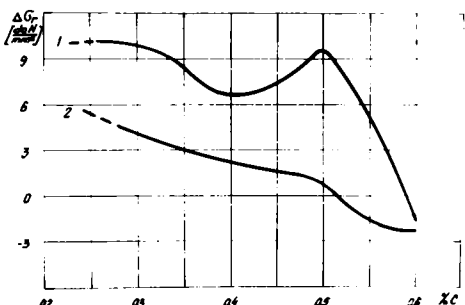


teristicile arătate mai sus.

Din analiza acestui caz se desprinde o primă concluzie și anume : în aceleasi condiții de compozitie influența TTMag, în privința rezistenței de rupere la tractiune, este neesențială.

Decarece în literatura de specialitate nu sunt date privind rezistența de rupere la tractiune a OIC recopante, eficacitatea TTMag s-a apreciat lufind ca bază de comparație datele din literatura de specialitate referitoare la rezistența de rupere la tractiune a OIC normalize (fig.4.20).

Fig.4.20 - Efectul compozitiei și TTMag asupra creșterii rezistenței de rupere la tractiune.



curba 1 - efectul TTMag stabilit prin diferența dintre  $\bar{G}_x$  recoacere TTMag (curba 1 fig.4.19 și  $\bar{G}_x$  după datele din literatură (curba 3 fig.4.19);

curba 2 - efectul TTMag stabilit prin diferența dintre  $\bar{G}_x$  recoacere TTMag (curba 1 fig.4.19 și  $\bar{G}_x$  recoacere clasică (curba 2 - fig.4.19)).

În aceste condiții, efectul TTMag este pozitiv pentru cea mai mare parte a domeniului hiposutectoid analizat.

Trebue reliefată importanța teoretică și practică a acestui rezultat care arată că acest indice de rezistență analizat, contrar așteptărilor, este mai mare comparativ cu același indice al materialului normalizat.

Referitor la acest lucru, trebuie menționat că nu este vorba de o neconcordanță cu datele din literatură, ci de faptul că,

în urma tratamentului în cîmp magnetic, în condițiile de lucru expuse mai sus, acest indice de rezistență crește apreciabil, creșterea fiind de 0...20 %.

Sunt interesante în acest sens și rezultatele obținute în privința influenței TTMag asupra rezistenței la deformări plastice mici ( $\bar{U}_c$ ), fig.4.21 și 4.22.

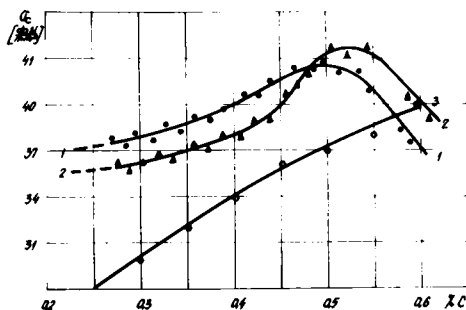


Fig.4.21 - Influența compozitiei și recoacerii asupra limitei de curgere.

curba 1 - recoacere în cîmp magnetic ;  
curba 2 - recoacere clasică ;  
curba 3 - limita de curgere a OLC 25...OLC 60 normalizează, după datele din literatură [12].

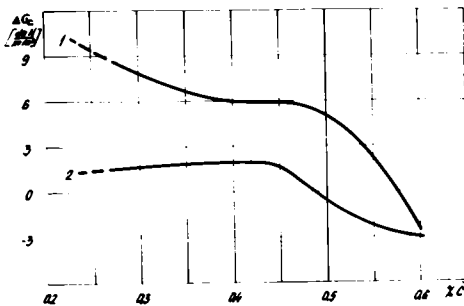


Fig.4.22 - Efectul compozitiei și TTMag asupra creșterii limitei de curgere.

curba 1 - efectul TTMag stabilit prin diferența dintre  $\bar{U}_c$  recoacere TTMag (curba 1 fig.4.21 și  $\bar{U}_c$  după datele din literatură (curba 3 fig.4.21)).  
curba 2 - efectul TTMag stabilit prin diferența dintre  $\bar{U}_c$  recoacere TTMag (curba 1 fig.4.21 și  $\bar{U}_c$  recoacere clasică (curba 2 fig.4.21)).

Se observă, în general, aceeași influență asupra limitei de curgere a tratamentului și compozиiei ca și în cazul precedent. Efectul TiMag în acest caz este mai mare, în raport cu limita de curgere chiar a materialului normalizat. Astfel, creșterea relativă a limitei de curgere este cuprinsă între 11...27 % pentru domeniul hipoeutectoid ( $0,25\ldots 0,53\%$  C) analizat.

Comparativ cu cazul rezistenței la deformări plastice mari, influența TiMag este pozitivă, în raport cu recoacerea clasică, numai pînă la  $0,48\%$  C, în timp ce la otelurile hipoeutectoide cu mai mult de  $0,48\%$  C limita de curgere a materialului recoprt clasic depășește valoarea aceluiasi indice al materialului recoprt TiMag.

In afară de cele arătate mai sus se mai constată influența pozitivă a TiMag asupra raportului  $\bar{\sigma}_c / \bar{\sigma}_r$ , aceasta variind în limitele  $0,55\ldots 0,64$  pentru recoacerea TiMag și  $0,54\ldots 0,60$  pentru normalizarea clasică. Cu alte cuvinte limitele variației raportului  $\bar{\sigma}_c / \bar{\sigma}_r$  sunt largite și deplasate spre valori mai mari prin aplicarea TiMag.

Cu privire la influența compozиiei și tratamentului asupra alungirii la rupere, din fig.4.23 și 4.24 se observă respectarea concordanței între modul de variație al indicilor de reziliență și plasticitate: la recoacerea TiMag alungirea la rupere este mai mică decît în cazul recoacerii clasice, aceasta fiind totuși sensibil apropiată de datele din literatură pentru OIC normalizat.

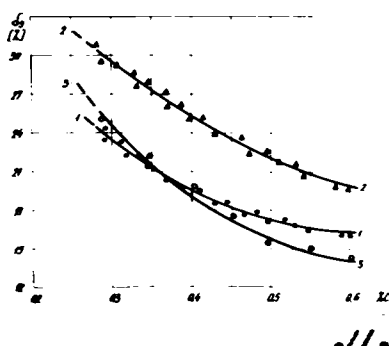


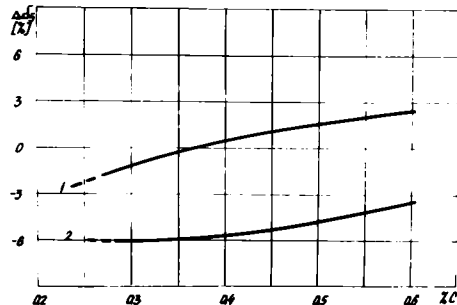
Fig.4.23 - Influența compozиiei și recoacerii asupra alungirii la rupere.

curba 1 - recoacere în cimp magnetic ;

curba 2 - recoacere clasică ;

curba 3 - alungirea la rupere a OLC 25...OLC 60, după datele din literatură [M12].

Fig.4.24 - Efectul compozitiei și TTMag asupra creșterii alungirii la rupere.



curba 1 - efectul TTMag stabilit prin diferența dintre  $\delta_5$ , recoacere TTMag (curba 1 fig.4.23) și  $\delta_5$  după datele din literatură (curba 3 fig.4.23) ;

curba 2 - efectul TTMag stabilit prin diferența dintre  $\delta_5$  recoacere TTMag (curba 1 fig.4.23) și  $\delta_5$  recoacere clasica (curba 2 fig.4.23).

De aici se desprinde o altă concluzie și anume: recoacerea TTMag, în privința acestui indice de plasticitate, este echivalent cu normalizarea clasica.

In ceea ce privește influența compozitiei și TTMag asupra cărui la rupere se observă că rezultatele obținute sunt apropiate atât de rezultatele recoacerii clasice, cât și de datele din literatură (fig.4.25 și 4.26).

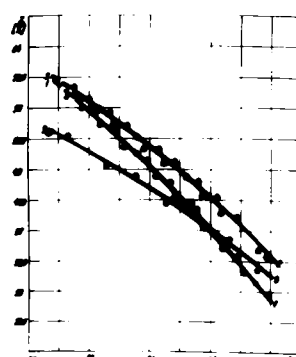
Fig.4.25 - Influența compozitiei și recoacerii asupra cărui la rupere.

curba 1 - recoacere în cimp magnetic;

curba 2 - recoacere clasica ;

curba 3 - căruirea la rupere a OLC 25 ...OLC 60 recoapte, după datele din literatură [M12].

//.



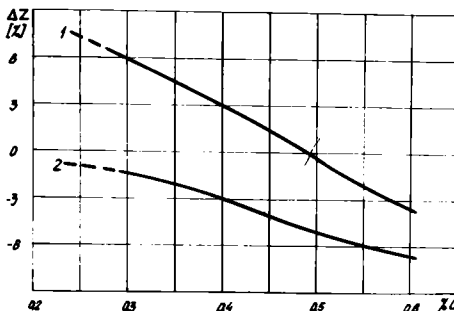


Fig.4.26 - Efectul compozitiei si TTMag asupra cresterii gituirii la rupere.

curba 1 - efectul TTMag stabilit prin diferență dintre  $Z$  recoacere TTMag (curba 1 fig.4.25) și datele din literatură (curba 3 fig.4.25).

curba 2 - efectul TTMag stabilit prin diferență dintre  $Z$  recoacere TTMag (curba 1 fig.4.25) și  $Z$  recoacere clasică (curba 2 fig.4.25).

Un alt aspect al problemei, analizat în cazul acestui tratament, este cel legat de influența compozitiei și TTMag asupra rezilienței. Din fig.4.27 și 4.28 se observă influența pozitivă a TTMag în raport cu rezultatele recoacerii clasice, reziliența fiind mai mare în primul caz pentru întreg domeniul hipoeutectoid analizat.

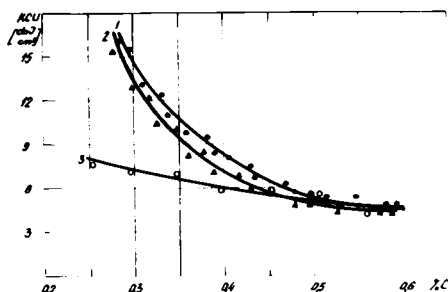


Fig.4.27 - Influența compozitiei și recoacerii asupra rezilienței.

curba 1 - recoacere în cîmp magnetic ;

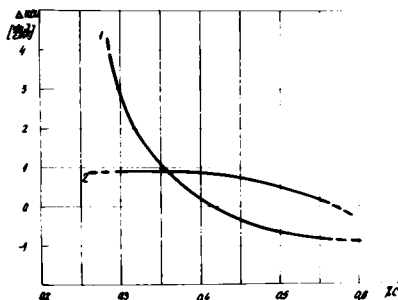
curba 2 - recoacere clasică ;

curba 3 - reziliența OLC 25...OLC 60 îmbunătățite, după datele din literatură [M12].

Pentru formarea unei imagini mai complete, privind influența compozitiei și tratamentului termic asupra rezilienței, în diagrama din fig.4.27 se reprezintă și datele din literatura de specialitate pentru oțelurile carbon îmbunătățite.

In timp ce la oțelurile îmbunătățite reziliența variază proporțional cu compozitia, la recoacerea TTMag și la cea clasica variația amintește de hiperbola echilateră.

Fig.4.28 - Efectul compozitiei și TTMag asupra creșterii rezilienței.



curba 1 - efectul TTMag stabilit prin diferența dintre KCU recoacere TTMag (curba 1 fig.4.27) și KCU îmbunătățire, după datele din literatură (curba 3 fig.4.27) ;

curba 2 - efectul TTMag stabilit prin diferența dintre KCU recoacere TTMag (curba 1 fig.4.27) și KCU recoacere clasică (curba 2 fig.4.27).

Mai trebuie analizat și un alt aspect pozitiv al recoacerii TTMag în sensul că reziliența este superioară în raport cu reziliența OIC îmbunătățite (la concentrații în carbon <0,42% C) sau sensibil egală cu aceasta (pentru concentrații >0,42% C).

La duritatea materialelor recoapte, spre deosebire de alte proprietăți mecanice, se pune mai bine în evidență efectul TTMag și aceasta mai ales în legătură cu datele din literatura de specialitate. După cum se observă din fig.4.29, datele din literatură privind influența compozitiei asupra durității sint plasate sub forma unei

fisi, care prezintă următoarele caracteristici :

- durităile sint cu atit mai imprăștiate cu cit conținutul de carbon este mai mare ;

- după limita superioară a domeniului de variație a durităii, între aceasta și compozitie există o variație liniară;

- limita inferioară a durităii variază liniar pînă la 0,5 % C, după care devine independentă de compozitie, fapt cunoscut și explicit în literatura de specialitate.

Pe lîngă cele arătate semnalăm faptul că literatura de specialitate nu diferențiază duritatea OLC recoapte de duritatea același materiale normalizate.

In legătură cu cele de mai sus, din examinarea tuturor datelor din diagrama fig.4.29 rezultă că, sub influența cîmpului magnetic, duritatea materialului este deplasat spre limita superioară a intervalului de durități indicat în literatura de specialitate.

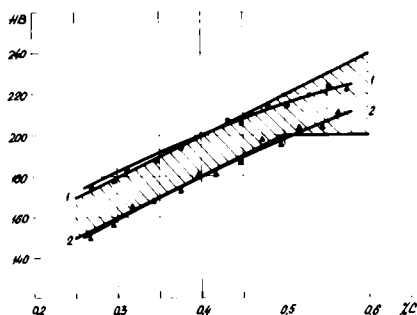


Fig.4.29 - Influența compozitiei și recoacerii asupra durității.

curba 1 - recoacere în cîmp magnetic ;

curba 2 - recoacere clasică ;

domeniul susținut - intervalul durităților OLC 25...OLC 60 după datele din literatură [12].

Față de același material, recopă clasic, prin aplicarea TMag creșterea relativă a durității este cuprinsă în intervalul 8...16 %, creșterea mai mică fiind pentru materialele cu un conținut mai mare în carbon.

.//.

Rezultatele obținute prezintă și o importanță teoretică deosebită prin faptul că, sub influența cumulată a compozitiei și cîmpului magnetic, duritatea crește și la conținuturi în carbon mai mari de 0,5 % C. Prin aceasta se confirmă încă odată influența pozitivă a cîmpului magnetic asupra proceselor de difuziune, așa încît în cazul de față compozitia austenitei se apropie de compozitia otelului.

Pentru ca rezultatele obținute să fie cât mai concluidente trebuie arătat că, pentru fiecare caracteristică mecanică, la reprezentarea grafică a dependenței compozitiei - tratament - duritate s-au utilizat datele a 280 experimente statistice.

#### Concluzii la recoacere.

- Deși TTMag în cazul recoacerii nu îmbunătățește sensibil indicii de rezistență și de plasticitate, luati izolat, el îmbunătățește totuși complexul de proprietăți mecanice, chiar în raport cu datele din literatură referitoare la OIC normalize clasice. Această afirmație are o explicație legată de un regim riguros controlat la răcire cînd viteza medie de răcire, pentru intervalul de temperaturi  $A_{c3} - A_{r1}$ , este de cel mult  $200^{\circ}\text{C/oră}$ .

In această situație, așa cum au afirmat și alții cercetători, unele proprietăți caracteristice stării inițiale se transmit prin ereditate otelului recept.

- Cu ocazia stabilirii regimului de tratament termic s-a impus necesitatea precizării noțiunii de viteză de răcire la recoacere. Deoarece această noțiune este vag exprimată în literatura de specialitate s-a precizat intervalul de temperaturi, avindu-se în vedere numai transformările de fază caracteristice recoacerii. Prin aceasta tratamentul termic poate fi dirijat precis în cea mai importantă etapă a sa - transformările la răcire.

- Nemijlocit rezultă de aici reducerea la limită a durei tratamentului termic, mărirea durabilității cuptorului și a productivității acestuia, c.a.m.d.

- Din punctul de vedere al teoriei tratamentelor termice, în astfel de condiții de răcire, recoacerea prin răcire continuă se apropie de recoacerea izotermă, prezintând deci caracteristicile și avantajele acestuia din urmă.

**4.4. Influenta cimpului magnetic asupra proprietăților mecanice ale otelurilor carbon de îmbunătățire normalizate.**

Influența compozitiei și tratamentului asupra rezistenței de rupere la tractiune a materialului normalizat, în diferite condiții, este reprezentată în fig.4.30 și 4.31.

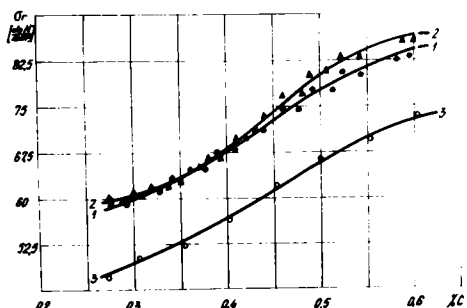


Fig.4.30 - Influența compozitiei și normalizării asupra rezistenței de rupere la tractiune.

curba 1 - normalizare în cîmp magnetic ;

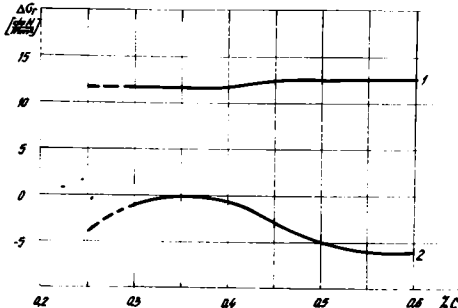
curba 2 - normalizare clasică ;

curba 3 - rezistența de rupere la tractiune a OLC 25...OLC 60  
normalizate, după datele din literatură [M2].

Spre deosebire de cazul recoacerii, rezistența de rupere la tractiune crește odată cu conținutul în carbon, dependența dintre aceste mărimi fiind aproape liniară pe tot intervalul de concentrații analizat.

•//•

Fig.4.31 - Efectul compozitiei si TTMag asupra crestterii rezistenței de rupere la tractiune.



curba 1 - efectul TTMag stabilit prin diferență dintre  $\sigma_y$  normalizare TTMag (curba 1 fig.4.30) și  $\sigma_y$  după datele din literatură (curba 3 fig.4.30) ;

curba 2 - efectul TTMag stabilit prin diferență dintre  $\sigma_y$  normalizare TTMag (curba 1 fig.4.30) și  $\sigma_y$  normalizare clasică (curba 2 fig.4.30).

Normalizarea TTMag, deși se face de la temperatura punctului  $A_{c3}$ , duce la rezultat sensibil egal cu cel obținut prin normalizare clasică (de la  $t_{\text{norm}} = A_{c3} + 30...50^{\circ}\text{C}$ ).

Rezultă de aici o primă concluzie - influența redusă a temperaturii asupra acestui indice de rezistență, în condițiile tratamentului în cimp magnetic.

Comparativ cu datele din literatură, fig.4.30 curba 3, normalizarea în cimp magnetic, fig.4.30 curba 1, duce la creșterea rezistenței de rupere la tractiune cu 16...23 %.

O corelație de aceeași natură se întâlnește și în cazul influenței compozitiei și tratamentului termic asupra rezistenței la deformări plastice mici, fig.4.32 și 4.33.

Analiza datelor obținute și prezentate în aceste diagrame arată că, atât la normalizarea în cimp magnetic, cât și la cea clasică, acest indice de rezistență, ca și precedentul, are valori apropiate în ambele cazuri.

Efectul TTMag, curba 1 fig.4.32, reportat la datele din literatură, curba 3 fig.4.32, arată o creștere a limitei de curgere de 25...38 %.

Ca și în cazul tratamentului de recoacere și la normalizarea în cîmp magnetic se constată influență pozitivă a tratamentului asupra raportului  $\frac{V_c}{V_x}$ , acesta având valori cuprinse în intervalul 0,59...0,67.

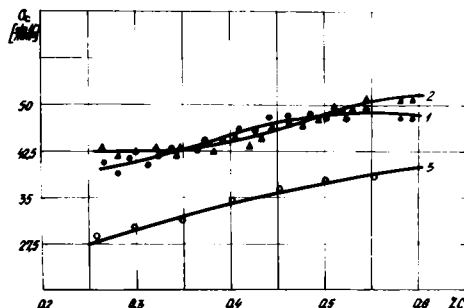


Fig.4.32 - Influență compozitiei și normalisării asupra limitei de curgere.

curba 1 - normalizare în cîmp magnetic ;

curba 2 - normalizare clasică ;

curba 3 - limita de curgere a OLC 25...OLC 60 normalizează după datele din literatură [12].

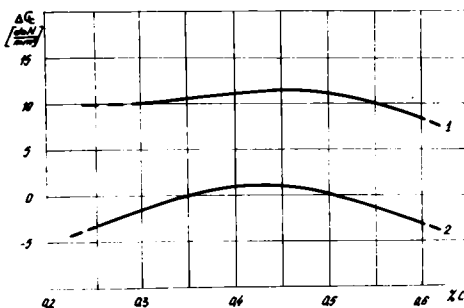


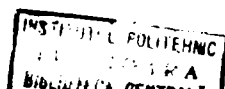
Fig.4.33 - Efectul compozitiei și TTMag asupra creșterii limitei de curgere.

curba 1 - efectul TTMag stabilit prin diferența dintre  $\frac{V_c}{V_x}$  normalizare TTMag (curba 1 fig.4.32) și  $\frac{V_c}{V_x}$  după datele din literatură (curba 3 fig.4.32) ;

curba 2 - efectul TTMag stabilit prin diferența dintre  $\frac{V_c}{V_x}$  normalizare TTMag (curba 1 fig.4.32) și  $\frac{V_c}{V_x}$  normalizare clasică (curba 2 fig.4.32).

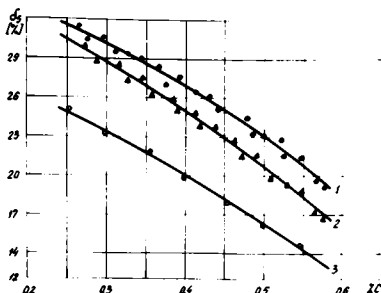
In privința influenței compozitiei și tratamentului termic asupra alungirii la rupere, din diagramele fig.4.34 și 4.35 se observă o diferențiere clară a rezultatelor în condițiile ce rezultă din examinarea diagramelor indicate. Din diagrame rezultă influența pozitivă a cîmpului magnetic asupra acestui important indice de

///.



plasticitate, în sensul că, alungirea la rupere crește nu numai în raport cu datele din literatură, ci și în raport cu normalizarea clasică.

Fig.4.34 - Influența compozitiei și normalizării asupra alungirii la rupere.



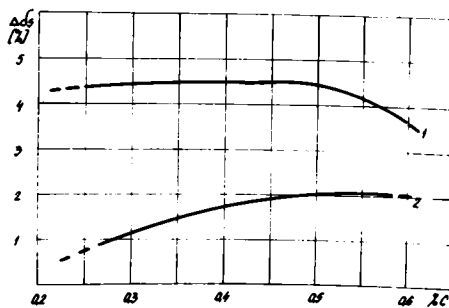
curba 1 - normalizare în cîmp magnetic ;

curba 2 - normalizare clasică ;

curba 3 - alungirea la rupere a OLC 25...OLC 60 normalize, după datele din literatură [12].

Față de normalizarea clasică, curba 2 fig.4.34, la normalizarea în cîmp magnetic, curba 1 fig.4.34, prin creșterea conținutului de carbon, creșterea relativă a alungirii la rupere se mărește de la 4,8 % la 13 %, în timp ce, în raport cu datele din literatură de specialitate, această creștere este și mai mare (de la 28,5 % la 47 %).

Fig.4.35 - Efectul compozitiei și TTmag asupra creșterii alungirii la rupere.



curba 1 - efectul TTmag stabilit prin diferența dintre  $\delta_5$  normalizare TTmag (curba 1 fig.4.34) și  $\delta_5$  după datele din literatură (curba 3 fig.4.34) ;

curba 2 - efectul TTmag stabilit prin diferența dintre  $\delta_5$  normalizare TTmag (curba 1 fig.4.34) și  $\delta_5$  normalizare clasică (curba 2 fig.4.34).

Corelația compozitie-tratament-alungire la rupere, stabilită în cazul precedent, se observă că se menține și în cazul gătuirii la rupere, fig.4.36 și 4.37. Astfel, prin aplicarea TTMag, la același conținut de carbon, gătuirea la rupere este mai mare atât față de datele din literatura de specialitate, cât și față de normalizarea clasică. Creșterea relativă a gătuirii la rupere se mărește odată cu conținutul în carbon, aceasta variind în limitele 4,5...7% față de normalizarea clasică și 24,5...35,5 % față de datele din literatura de specialitate.

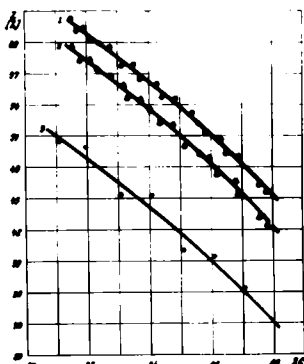


Fig.4.36 - Influența compozitiei și normalizării asupra gătuirii la rupere.

curba 1 - normalizare în cimp magnetic ;  
curba 2 - normalizare clasică ;  
curba 3 - gătuirea la rupere a OLC 25...OLC 60 normalizate, după datele din literatură [12].

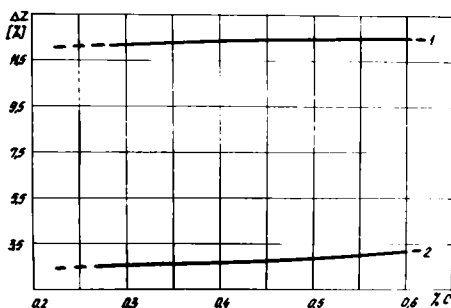
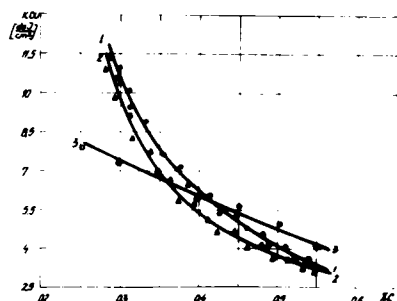


Fig.4.37 - Efectul compozitiei și TTMag asupra creșterii gătuirii la rupere.

curba 1 - efectul TTMag stabilit prin diferența dintre Z normalizare TTMag (curba 1 fig.4.36) și Z după datele din literatură (curba 3 fig.4.37) ;  
curba 2 - efectul TTMag stabilit prin diferența dintre Z normalizare TTMag (curba 1 fig.4.36) și Z normalizare clasică, (curba 2 fig.4.36).

Influența compozitiei și tratamentului termic asupra rezilienței este reprezentată în fig.4.38 și 4.39. Ca și în cazul recoacerii se observă influență pozitivă a TMag atât în raport cu normalizarea clasică, cît și în raport cu datele din literatură de specialitate. Spre deosebire de recoacere însă, efectul este mult mai pronunțat, în special pentru domeniul hipoeutectoid al concentrațiilor reduse în carbon. Se poate aprecia că, fiind remarcabilă influența cîmpului magnetic și asupra acestei proprietăți mecanice, cu atît mai mult ca cît valori mari ale rezilienței se obțin prin aplicarea unui tratament termic simplu și nu numai a tratamentului de îmbunătățire, așa cum se afirmă în literatura de specialitate.

Fig.4.38 - Influența compozitiei și normalizării asupra rezilienței.



curba 1 - normalizare în cîmp magnetic ;  
curba 2 - normalizare clasică ;  
curba 3 - reziliență OLC 25...OLC 60 îmbunătățite, după datele din literatură [M12].

Se mai poate observa că, prin scăderea conținutului în carbon, în urma aplicării TMag, reziliența nu crește liniar ca în cazul îmbunătățirii clasice, curba 3 fig.4.38, ci exponențial, curba 1 fig.4.38.

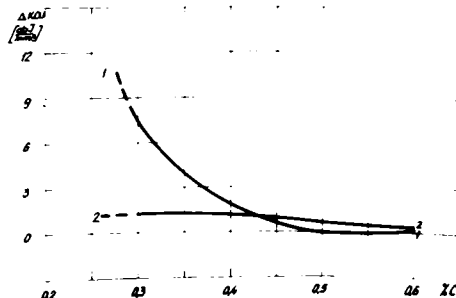


Fig.4.39 - Efectul compozitiei și TMag asupra creșterii rezilienței.

- curba 1 - efectul TTmag stabilit prin diferență dintre KCU normalizare TTmag (curba 1 fig.4.38) și KCU după datele din literatură (curba 3 fig.4.38);
- curba 2 - efectul TTmag stabilit prin diferență dintre KCU normalizare TTmag (curba 1 fig.4.38) și KCU normalizare clasică (curba 2 fig.4.38).

Cu privire la influența compoziției și traiențului asupra durității OIC normalize, din punct de vedere calitativ se respectă corelația arătată la recoacere, cantitativ influența TTmag fiind însă mai mare. Prin aplicarea TTmag de normalizare duritateaiese din limitele intervalului de duritate indicat în literatura de specialitate, fig.4.40.

Față de normalizarea clasică, creșterea relativă a durității la normalizarea TTmag este cuprinsă în intervalul 3...9 %, în timp ce, față de recoacerea TTmag, creșterea relativă este de 1,7...8%.

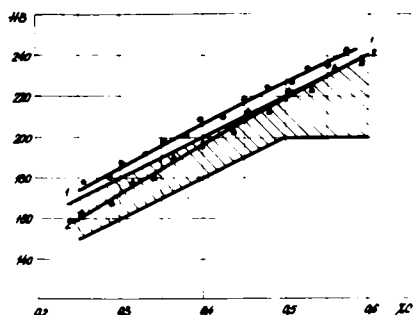


Fig.4.40 - Influența compozitiei și normalizării asupra durității.

- curba 1 - normalizare în cimp magnetic ;  
curba 2 - normalizare clasică ;  
domeniul băgurat - intervalul durităților OIC 25...OIC 60,  
după datele din literatură [12].

La normalizarea TTmag, ca și la recoacere TTmag, se observă aceeași influență pozitivă a cimpului magnetic asupra proceselor de difuziune, motiv pentru care duritatea crește odată cu conținutul de carbon chiar și în vecinătatea punctului eutectoid.

De asemenea, se mai observă reducerea importantă a imprăştierii rezultatelor ca urmare a aplicării TMag.

#### Concluzii la normalizare

- În timp ce la reciacere influența TMag este mai redusă, la toți indicii de rezistență și de plasticitate analizați, la normalizare influența TMag este mult mai mare la indicii de plasticitate în raport cu indicii de rezistență.

- Cele spuse mai sus arată că, concluziile referitoare la condițiile aplicării TMag în privința modificării proprietăților fizice se pot extinde și asupra proprietăților mecanice.

- Faptul că proprietățile mecanice în cazul tratamentelor clasice (obținute cu ocazia experimentărilor din această teză) depășesc mult valurile indicate în literatura de specialitate, arată că acestea nu pot fi preluate și utilizate fără precizarea condițiilor în care au fost obținute. Cu alte cuvinte proprietățile mecanice nu sunt constante ale unui material, ci funcții de un număr mare de factori ce trebuie luati neapărat în considerare.

- Trebuie subliniat în mod deosebit că, prin aplicarea TMag, se îmbunătățește întregul complex al proprietăților mecanice, în sensul îmbunătățirii atât a indicilor de rezistență, cât și a celor de plasticitate. Prin aceasta, deci, normalizarea în cîmp magnetic se apropie de îmbunătățirea clasică.

- Comparind rezultatele obținute la reciacere și normalizare și luând în considerare efectul TMag asupra proprietăților mecanice analizate, se observă clar că reușita TMag este condiționată atât de natura transformărilor de fază, cât și de o anumită viteză de răcire, în sensul că, prin creșterea acesteia, se mărește și eficacitatea TMag.

- Din analiza de ansamblu a tuturor cazurilor luate în considerare la normalizare și recocere, se observă că natura influenței TM<sub>Ng</sub> la normalizare, în raport cu recocerea, se modifică nu numai cantitativ ci și calitativ la toate proprietățile mecanice, cu excepția rezilienței, la aceasta din urmă diferența fiind numai cantitativă.

## 5. CERCETARI PRIVIND METALOGRAFIA MAGNETICA A MATERIALELOR POLINARE SI POLIFAZICE.

Pentru a pune în evidență caracteristicile metalografiei magnetice ca metodă de cercetare a structurii, precum și pentru a stabili domeniul de utilizare al acesteia s-a folosit, în cadrul acestei lucrări, diferite oțeluri din domeniul hipoeutectoid al sistemului Fe-Fe<sub>3</sub>C în trei stări structurale :

- oțeluri recoapte clasice
- oțeluri călite la martensită în cimp magnetic
- oțeluri călite la martensită clasic.

Starea de recoacere a fost luată în considerare cu scopul de a pune în evidență diferența dintre proprietățile fizice ale feritei și cementitei, pe de o parte, și feritei libere și perlitei, pe de altă parte. În același timp, în această stare structurală se mai pune în evidență influența carbonului asupra caracteristicilor imaginii formate de pulberea feromagnetică.

Pentru aceeași stare structurală, lucrarea de față și propune să stabilească în ce măsură metalografia magnetică duce la rezultatele obținute prin folosirea reactivelor clasici.

Aplicarea tratamentului de călire la martensită, în cimp magnetic și în absența acestuia, s-a făcut cu scopul de a pune în evidență diferența dintre proprietățile magnetice ale feritei libere și martensitoi, precum și influența cîmpului magnetic asupra structurii oțelului. În același timp, cercetările urmează a stabili diferența dintre proprietățile martensitei și produselor descompunerii prin difuzie a austenitei.

Aplicarea metalografiei magnetice, metodă relativ recentă, la studiul oțelurilor carbon de îmbunătățire este justificată de

necesitatea punerii în evidență a unor aspecte privind starea structurală a materialului, cauzată de cimpul magnetic suprapus peste diferite transformări ale ferromagneticilor în general.

Inexistența materialului bibliografic, din punct de vedere al analizei microscopice, pentru sisteme polinare și polifazice, total sau parțial feromagneticice și stadiul actual al cercetărilor privind metalografia magnetică au determinat efectuarea lucrării de față, în cele ce urmează prezentându-se rezultatele cercetărilor proprii în această direcție.

### 5.1. Bazele teoretice ale metalografiei magnetice.

#### 5.1.1. Bazele fizice.

Metoda coloizilor magnetici, în forma în care se folosește pentru punerea în evidență a structurii magnetice domeniale, prezintă o serie de neajunsuri care îi limitează aplicabilitatea și îi restrințează posibilitățile. În metoda coloizilor magnetici, propusă de N.S.Akulov și F.Bitter [A4], [B8], neomogenitatea magnetică superficială se manifestă la fel ca și în defectoscopia magnetică cu pulberi – cu ajutorul particulelor feromagneticice, prin intermediul cimpului de scăpări – adică determinarea structurii domeniale este legată în cazul acestei metode, de punerea în evidență a distribuției cîmpurilor de scăpări. Cu această metodă se obțin rezultate satisfăcătoare numai în cazul în care cîmpurile de scăpări nu se suprapun, decarece se poate considera că, la depunerea particulelor din suspensie pe suprafața epruvetei, acestea sunt atrase de către cîmpurile mai puternice și deci nu ajung în zona de acțiune a cîmpurilor slabă. În concluzie, imaginiile obținute în urma atracției particulelor de către cîmpul neomogen nu reflectă, în cazul întreprătrunderii complexe a cîmpurilor, repartiția reală a sarcinilor magnetice.

Din aceste considerente se impune modificarea metodei amintite, astfel încit să poată fi pusă în evidență repartitia sarcinilor magnetice, independent de suprapunerea cîmpurilor magnetice de scăpări și de ecranarea cîmpurilor slabe de către cele puternice. Acest lucru s-a obținut folosind particule foarte fine și în același timp omogene, particule supuse în cîmpul de scăpări unor forțe egale și opuse ca acțiunea magnetică, consecință a dimensiunilor reduse [N8] :

$$\pm f_x = m_g \sigma_g H \frac{dH}{dx} = \pm m_g \sigma_g \frac{d(H^2)}{dx}$$

în care:  $m_g$  este masa pentru care particula este suficient de mică astfel încit  $\frac{d(H^2)}{dx}$  să nu varieze sensibil ;

$\sigma_g$  - susceptibilitatea magnetică specifică.

Asemenea particule foarte fine nu vor fi atrase de cîmpul de scăpări decît în momentul în care se află în imediata apropiere a suprafeței cercetate, adică în zona cu o mare neomogenitate a cîmpului.

Prin această nouă metodă structura magnetică și de fază este pusă în evidență direct pe baza sarcinilor magnetice, prin acoperirea suprafeței cu un strat continuu de pastă feromagnetică specială, care apoi este spălat cu spumă de săpun. Contactul direct al particulelor pastei feromagnetice cu suprafața epruvetei permite folosirea acțiunii de atracție a tuturor sarcinilor magnetice, independent de intensitatea lor și face posibilă punerea în evidență a neomogenității structurale pe baza sarcinilor magnetizării spontane. În acest mod sunt realizate condițiile formării unor "imagini magnetice", care reflectă repartitia reală a componentelor structurale.

Decarece, în cazul metodei magnetometalografice, structura metalului este pusă în evidență de către particulele feromagneticice, datorită sarcinilor magnetice de pe suprafața metalului, se impune

lămurirea celor mai importanți factori care condiționează și determină formarea acestor sarcini.

#### Limitele grăuntilor.

După cum se știe, într-un metal sau aliaj feromagnetic, chiar și în stare demagnetizată, există pe suprafață de separare, în interior și pe suprafață, la exterior, sarcini magnetice libere care apar atunci cind componente normală a magnetizației  $J_s$ , ce intersectează suprafață, este discontinuă. Densitatea sarcinilor va fi  $Q = 4 \cdot \pi (J_s)$ ; acestea creând cimpuri de scăpări cu dimensiuni micro- și macroscopice. Aceste cimpuri se pot datora și sarcinilor magnetice care apar la limitele grăuntilor, apariția cauzată de diferenți factori: denaturarea structurii la limitele grăuntilor ca urmare a orientării cristalografice diferite a grăuntilor vecini, heterogeneitatea structurii stratului limită ca urmare a difuziunii preferențiale a elementelor de aliere [Nb], [Al], [V2] etc.

În afară de aceasta, perturbarea interacțiunii magnetice dintre limitele grăuntilor și apariția unei energii magnetostaticice poate duce la formarea spontană a unor domenii antiparalele și deci la apariția unor sarcini magnetice pe limitele interdomeniale. Având în vedere că semnul și densitatea sarcinilor magnetice libere, la limitele grăuntelui, depind de orientarea relativă a magnetizației grăuntilor vecini și de orientarea locală a limitei acestora, semnul și intensitatea sarcinilor libere pot fi diferite.

#### Incluziuni nonmetalice

O a doua sursă de apariție a sarcinilor libere o pot constitui incluziunile magnetice: carburi, azoturi, oxizi etc. Din teoria incluziunilor din feromagnetism [B3] se știe că limita interdomenială, care intersectează incluziunile, are o arie mai mică și, de aceea, posedă și o energie mai mică decât în cazul cind nu are loc

intersectarea.Din această cauză limitele între domenii căută să se dispună astfel,încât să se intersecteze un număr maxim de incluziuni.

Având în vedere cele de mai sus, se poate presupune că,în cazul în care limita trece prin incluziuni sau prin mici deformări ale structurii grăuntelui,în spațiul înconjurător apar sarcini magnetice sau o structură domenială secundară,în funcție de mărimea incluziunilor. Existența acestor sarcini creează posibilitatea punerii în evidență a incluziunilor nemagnetice.

#### Separatiile monodomeniale.

Dacă în aliaj separatiile magnetice se află într-o matrice slab magnetică sau nemagnetică,pot exista cazuri cind dimensiunea acestor separatiile este atât de mică,încât, din punct de vedere energetic,ele nu pot menține limita interdomenială și,ca urmare,se transformă în separatiile monodomeniale independente,care posedă sarcini magnetice.Intr-un asemenea caz,suprafața grăuntelui este presurată cu sarcinile magnetice ale separatiilor monodomeniale,pe care aderă foarte ușor particulele din suspensia coloidală sau din pasta feromagnetică.

#### Separarea fazelor excedentare.

Separarea fazelor feromagnetice excedentare într-o soluție nemagnetică suprasaturată trece,inevitabil,prin etapa dimensiunii monodomeniale.Totodată,separatiile sunt mai ușor puse în evidență în cazul în care au,fie o anizotropie magnetică puternică, fie o anizotropie accentuată de formă.

Un asemenea aliaj se prezintă,din punct de vedere magnetic, ca o dispersie fină de particule monodomeniale de diferite forme,incluse într-o matrice nemagnetică sau slab magnetică.

Rezultă deci că separatiile,care apar în aliaj în timpul transformărilor de fază,pot și duc la apariția unor sarcini magnetice.

### Tensiunile de fază.

Multe separații de fază, fin dispersate, incluziunile nemagnetice etc., pot duce la apariția unor sarcini magnetice, ca urmare a influenței tensiunilor de fază care schimbă direcția componentei normale a magnetizării.

#### 5.1.2. Bazele tehnologice.

In literatura de specialitate [N8] se indică, pentru punerea în evidență a structurii domeniale, folosirea coloizilor magnetici de mai multe tipuri; dintre cei mai utilizati în cercetări unul a fost propus de Almore, iar altul de Bozorth. Ambii coloizi au fost elaborați special pentru depunerea de sus a particulelor pe suprafața examinată. In cazul folosirii coloidului Almore, durata observării este limitată datorită agresivității chimice a coloidului, în care există ioni de clor. De aceea, acest coloid, cu toate că dă o imagine magnetică mai intensă, nu poate reflecta structura fină a metalului.

Se mai folosește și un al treilea tip de coloid, coloidul lui N.S. Akulov [A4] de tipul suspensiei Perrin, care se prezintă sub forma unei suspensii fine de particule în alcool, preparată prin levigare. Dar și la această metodă se manifestă o serie de factori dăunători, care își măsoarează eficacitatea, cum ar fi mișcarea browniană.

Tinând seama de aceste dezavantaje, pentru punerea în evidență a microstructurii direct, pe baza sarcinilor de magnetizare, spontană, s-a elaborat metoda particulelor de magnetit - coloidul Bozorth -, cu care se acoperă suprafața de examinat, după care se face spălarea cu spumă de săpun a acesteia în vederea îndepărțirii particulelor nelegate de sarcini magnetice.

Această metodă se poate aplica datorită rezolvării practice a următoarelor probleme :

- obținerea unui magnet sintetic, fin, la dimensiunea particulelor monodomeniale;
- eliminarea acțiunii dăunătoare a stratului electric dublu difuz, care apare pe suprafața de cercetat ;
- stabilirea unor compozitii pentru paste ferromagnetice cu diferite proprietăți [N8].

In lucrarea de față, pentru pasta feromagnetică s-a pregătit în prealabil o soluție de săpun din cleat de potasiu și colofoniu după următoarea tehnologie: 75 ml de soluție de hidrat de potasiu (25 %) s-au adăugat la 152 ml apă distilată. Apoi s-a preparat o a doua soluție, compusă din 152 ml acid oleic și 24 g pulbere de colofoniu. Ambele soluții s-au încălzit separat pînă la 60°... 80°C, după care soluția alcalină s-a turnat, amestecind energetic, în acidul oleic. La început s-au format fulgi iar apoi, după încălzire și amestecare 45...61 min, s-a format o pastă.

Soluția de săpun, atât pentru pasta feromagnetică, cât și pentru spălarea particulelor de pe piesă, s-a preparat prin introducerea a 10 g din pasta de mai sus, bine măcinată, într-un balon cu 300 ml apă distilată. Această soluție de săpun s-a menținut 24 ore, pînă la dizolvarea completă a cleatului de potasiu, după care i s-au adăugat 50 ml glicerina chimică pură, amestecindu-se bine prin agitare.

Magnetitul sintetic umed s-a obținut prin dizolvarea a 2 g  $\text{FeCl}_2 \cdot 4\text{H}_2\text{O}$  și 5,4 g  $\text{FeCl}_3 \cdot 6\text{H}_2\text{O}$  în  $300 \text{ cm}^3$  de apă fierbinte, în care s-a adăugat, amestecind continuu, 5 g de NaOH. Amestecul obținut s-a filtrat, iar sedimentul – magnetitul sintetic – a fost spălat și păstrat umed.

Pentru prepararea pastei ferromagnetice, s-au introdus 10...15 g magnetit sintetic umed în 3...5 ml soluție de săpun special pregătit, la care s-au adăugat 0,5...1 ml ulei de piersici și 1...2 ml tuș, amestecind bine. În acest mod s-a obținut un amestec

coloidal complex,vîscos,cu sensibilitate mare față de punerea în evidență a sarcinilor magnetice superficiale.

In vederea obținerii imaginii magnetice,mai întii se acoperă suprafața epruvetei șlefuite cu pasta feromagnetică,iar apoi se spală cu spumă de săpun,preparat anterior,ceea ce face ca pe suprafața epruvetei să rămână numai particulele atrase de sarcinile magnetice ale fazelor feromagnetice.Fotografierea s-a făcut întotdeauna,in starea umedă.

### 5.1.3. Consideratii privind obtinerea particulelor magnetice active.

Gradul de activitate al pastei feromagnetice este determinat de mai mulți factori,dintre care mai importanți sunt: dimensiunea și concentrația particulelor feromagnetice, interacțiunea magnetică dintre ele,intensitatea și configurația cîmpurilor de scăpări,proprietățile mediului de dispersie al pastei etc.

Considerații fizice generale duc la concluzia că interacțiunea magnetică este maximă [N2] [N8] în cazul în care dimensiunile particulelor sunt comparabile cu dimensiunile volumului sarcinilor locale și mai nici decât acestea.

In urma încercările efectuate,s-a ajuns la concluzia că structura fizică fină este bine pusă în evidență în cazul în care se folosesc particule foarte fine,monodomeniabile și de aceleasi dimensiuni.

In cazul cercetărilor,utilizând metalografia magnetică, trebuie să se țină seama că activitatea magnetică a particulelor depinde de concentrația lor.Pentru anumite concentrații,intre particulele care se află în cîmpul de scăpări începe să se facă sințită interacțiunea magnetică proprie,care duce la înlănuirea particulelor ca urmare a coagulării magnetice și deci la intensificarea aderenței particulelor pe sarcinile magnetice ale metalului.

Așa cum rezultă din datele literaturii de specialitate, ca și din propile încercări, activitatea magnetică a particulelor poate fi asigurată, în mai mare măsură, prin însuși metoda de obținere a magnetitului.

### 5.2. Testarea pastei ferromagnetice și comparații cu alte date din literatură.

După preluarea magnetitului, în condițiile expuse mai sus, s-a impus necesitatea verificării acestuia pe materiale ferromagnetice și monofazice, care prezintă deci domenii de magnetizare spontană. Se urmăreste, așa dar, punerea în evidență a benzilor Akulov-Bitter, adică a unei imagini ce se formează în condițiile distribuției neomogene a particulelor coloidale magnetice la suprafața cristalului feromagnetic.

Pentru verificare s-a pregătit un otel silicios, cu 5% Si, care a fost șlefuit și lustruit în condiții obișnuite, dar care a fost analizat, neatacat, cu ajutorul pulberilor ferromagnetice.

Imaginiile magnetice astfel obținute sunt reprezentate în fig.5.1, 5.2 și 5.3. Din analiza imaginilor din fig.5.2 și 5.3 rezultă dispunerea în benzi de formă regulată a pulberii ferromagnetice la nivelul cristalitelor agregatului policristalin și quasi-isotrop, caracteristică ce concordă calitativ și cantitativ cu benzile Akulov-Bitter menționate în literatura de specialitate [A4], [B7], [V2].

Din analiza detaliată a imaginilor magnetice ale otelului cu 5% Si (fig.5.1, 5.2, 5.3) rezultă următoarele :

- dimensiunile particulelor ferromagnetice sunt comparabile cu dimensiunile spațiului sarcinilor magnetice locale, fiind mai mici decât acestea ;

- anizotropia proprietăților magnetice ale materialului

quasiizotrop, anizotropia ce se reflectă prin densitățile medii diferite ale grăunților cristalini ;



Fig.5.1 - Imaginea magnetică a otelului cu 5 % Si, lustruit și neatacat (120:1).



Fig.5.2 - Imaginea magnetică a otelului cu 5 % Si, lustruit și neatacat (120:1).

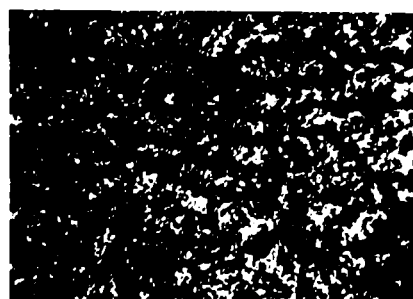


Fig.5.3 - Imaginea magnetică a otelului cu 5 % Si lustruit și neatacat (450:1).

- benzile Akulov-Bitter se pot evidenția numai la grăunții cristalini orientați favorabil în raport cu suprafața metalografică;

- "gradul de dispersie aparent" al benzilor Akulov-Bitter diferă de la grăunte la grăunte, ceea ce se explică prin orientarea statistică a grăunților cristalini.

### 5.3. Prezentarea probelor.

Ca bază de comparație a rezultatelor metalografiei magnetice s-a luat starea de echilibru structural obținută prin

aplicarea unui tratament termic de recoacere completă și continuă, în absența cîmpului magnetic, în condițiile arătate în fig.5.4.

Cazul limită al instabilității termodinamice s-a obținut prin călire completă la martensită de la temperaturi optime de călire, tratamentul fiind aplicat unor epruvete cu diametrul subcritic, pentru condițiile călirii în absența cîmpului magnetic.

Ca un caz particular s-a utilizat și un tratament termic de călire incompletă la martensită în astfel de condiții, încît să se obțină o masă de ferită liberă de cca 15 % din masa otelului.

Pentru a pune mai bine în evidență posibilitățile mari de utilizare ale metalografiei magnetice, s-a mai efectuat și un tratament termic singular. S-au utilizat în acest scop epruvete cu diametrul supracritic, așa încât viteză reală de răcire, în condiții neschimbate de răcire pentru călire, să fie puțin inferioară vitezei critice de călire (fig.5.5) [P2], obținindu-se o structură formată din martensită, troostită și austenită reziduală. Materialele utilizate au avut compozиtiile redate în tabelul 1.

Din cauza fluctuațiilor de compoziție întâlnite la otelurile carbon de îmbunătățire, livrate conform STAS (segregații positive și negative), trebuie menționat că datele cuprinse în tabelul 1

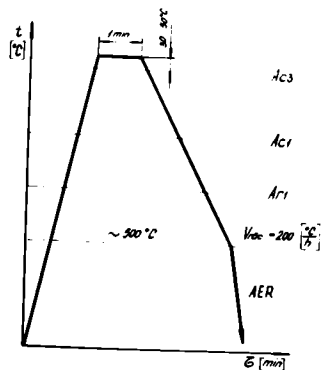


Fig.5.4 - Graficul tratamentului de recoacere aplicat otelurilor carbon de îmbunătățire experimentate.

Se referă chiar la materialele încercate. Această precizare este impusă de faptul că, în timpul cerșetărilor, s-a constatat că la materialele provenite din aceeași șarjă conținutul în carbon, de exemplu, prezintă o abatere de +16%...12% în raport cu compoziția mărcii.

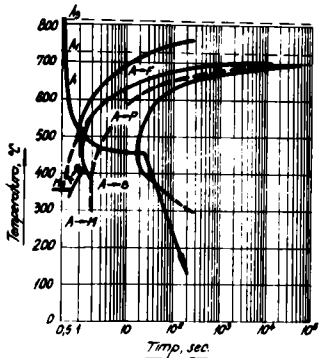


FIG.5.5 - Diagrama CCT a oțelului carbon de îmbunătățire cu 0,38% C P2 .

Material Compozitie	C	Mn	Si	S	P	Cu	Cr	Ni	As	Al
1	0,26	0,58	0,34	0,022	0,012	0,14	0,09	0,08	0,010	0,015
5	0,38	0,52	0,25	0,016	0,013	0,12	0,04	0,04	0,011	0,015
8	0,50	0,56	0,23	0,019	0,009	0,18	0,05	0,05	0,010	0,024
7	0,60	0,54	0,25	0,020	0,012	0,15	0,03	0,04	0,012	0,016

Pentru a analiza influența cîmpului magnetic asupra structurii materialului s-a aplicat metoda încălzirii în cîmp magnetic, deasupra sau sub punctul critic  $A_{c3}$ , cu scopul de a căli materialul complet sau incomplet la martensită, (fig.5.6).

Tratamentul termic se bazează, în acest caz, pe corelația care există între proprietățile martensitei și particularitățile austenitei în condițiile încălzirii în cîmp magnetic.

//.

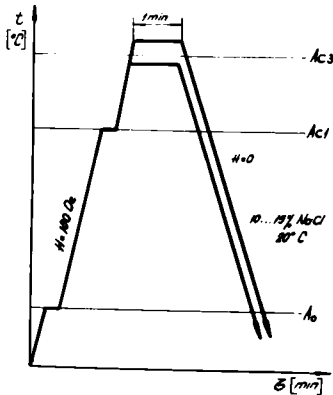


FIG.5.6 - Graficul TTMag aplicat oțelurilor carbon de îmbunătățire experimentate.

#### 5.4. Rezultatele obținute și interpretarea lor.

##### 5.4.1. Metalografia magnetică a materialelor recopate.

In privința corelației dintre compoziție și imaginea magnetică la materialul recopăt, din analiza fig.5.7,5.8,5.9 și 5.10 se observă o anumită repartiție a densității pulberii feromagnetice pe suprafața lustruită și neatacată a eșantionului.

Astfel, se observă că zonele cu concentrație mare de astfel de particule cresc odată cu conținutul în carbon. Pentru a explica natura metalografică a acestor zone s-au luate în considerare micro-structurile acelorași materiale, dezvoltate obișnuit cu reactivi metalografici standard – fig.5.15, 5.16, 5.17 și 5.18.

La același material, comparind imaginile magnetice cu cele metalografice – fig.5.7, 5.11, 5.15, 5.8, 5.12, 5.16, 5.9, 5.13, 5.17, 5.10, 5.14, 5.18 se observă că zonele cu concentrații mari în

pulberi ferromagnetice corespund formațiunilor de perlită. Această constatare poate fi luată drept criteriu de interpretare a imaginii magnetice la materialele aflate în stare de echilibru structural.

Pentru a stabili dacă atacul cu reactivi metalografici determină sau nu imaginea magnetică, la materialele în stare de echilibru structural, s-a procedat suplimentar la analizarea, prin comparație, a materialelor lustruite și neatacate, precum și a celor atacate cu reactivi standard, ambele categorii de materiale fiind cercurate prin metoda metalografiei magnetice. Concluziile se obțin din analiza imaginilor prezentate în fig. 5.11, 5.19, 5.12, 5.20, 5.13, 5.21 și 5.14, 5.22.

Atacul marginilor grăunților de ferită se observă că nu modifică esențial caracteristicile imaginii magnetice, de unde rezultă unul dintre avantajele metalografiei magnetice și anume, posibilitatea analizării structurii fără atac special.

Se desprinde de aici și necesitatea de a relua și aprofunda, printr-o cercetare ulterioră, problema dimensiunilor optime a particulelor feromagnetice, deoarece se observă, din cele afirmate anterior ei, în cimpurile de scăpări se face o selecționare spontană din magnetit numai a acelor particule care pot fi captate și fixate în locul respectiv.

Cele spuse sunt în legătură cu faptul semnalat anterior, referitor la neevidențierea grăunților de ferită. Explicația ar putea fi următoarea: cimpurile de scăpări la limitele grăunților de ferită sunt atât de slabe, încât nu rețin particulele utilizate. De aici și necesitatea orientării studiului magnetitului în direcția perfectiunii tehnologiei de fabricație a acestuia pe mai multe calități monodimensionale.

O altă concluzie ce se desprinde din compararea imaginilor - fig. 5.13 și 5.21 - pe de o parte, - fig. 5.14 și 5.22 - pe de altă parte, este că la oțelurile hipoeutectoide cu conținut mai înalt în

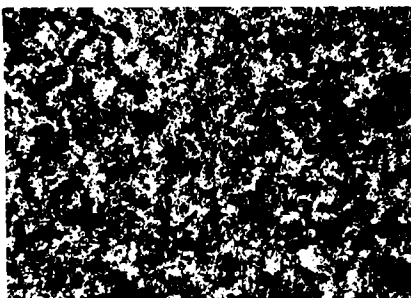


Fig.5.7 - Imaginea magnetică a oțelului cu 0,26 % C, recopăt  $860^{\circ}\text{C}$ , lustruit, neatacat (120:1).

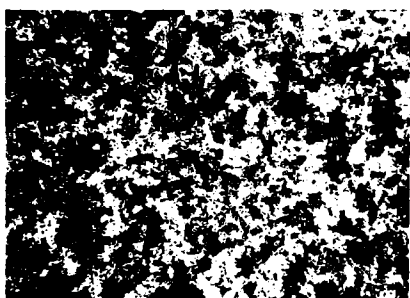


Fig.5.8 - Imaginea magnetică a oțelului cu 0,38 % C, recopăt  $850^{\circ}\text{C}$ , lustruit, neatacat, (120:1).

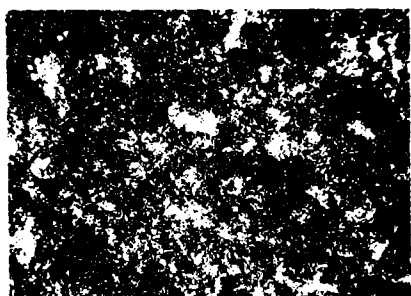


Fig.5.9 - Imaginea magnetică a oțelului cu 0,50 % C, recopăt  $830^{\circ}\text{C}$ , lustruit, neatacat, (120:1).

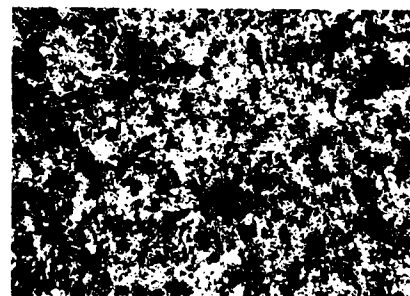


Fig.5.10 - Imaginea magnetică a oțelului cu 0,60 % C, recopăt  $810^{\circ}\text{C}$ , lustruit, neatacat, (120:1).

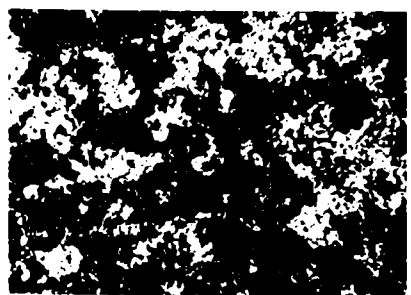


Fig.5.11 - Imaginea magnetică a oțelului cu 0,26 % C, recopăt  $860^{\circ}\text{C}$ , lustruit, neatacat, (450:1).

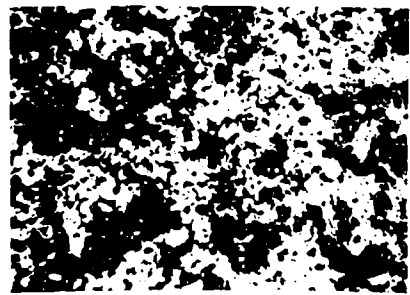


Fig.5.12 - Imaginea magnetică a oțelului cu 0,38 % C, recopăt  $850^{\circ}\text{C}$ , lustruit, neatacat, (450:1).

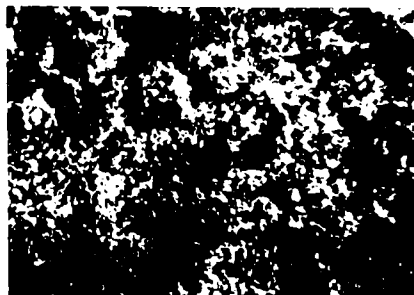


Fig.5.13 - Imaginea magnetică a oțelului cu 0,50 % C, recoprt 830°C, lustruit, neatacat, (450:1).

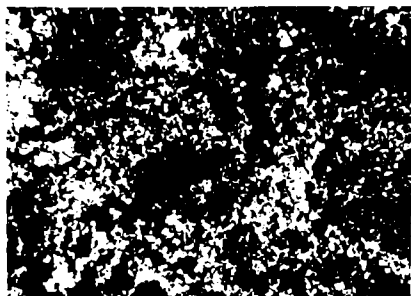


Fig.5.14 - Imaginea magnetică a oțelului cu 0,60 % C, recoprt 810°C, lustruit, neatacat, (450:1).

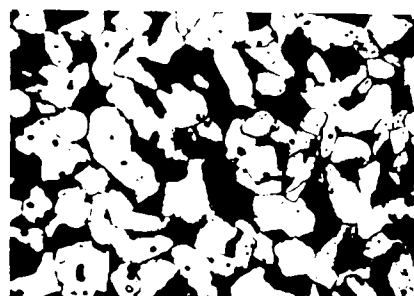


Fig.5.15 - Microstructura oțelului cu 0,26 % C, recoprt 860°C, atac Nital 3 %, (450:1).



Fig.5.16 - Microstructura oțelului cu 0,38 % C, recoprt 850°C, atac Nital 3 %, (450:1).

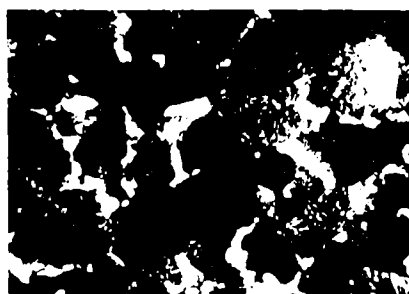


Fig.5.17 - Microstructura oțelului cu 0,50 % C, recoprt 830°C, atac Nital 3 %, (450:1).



Fig.5.18 - Microstructura oțelului cu 0,60 % C, recoprt 810°C, atac Nital 3 %, (450:1).

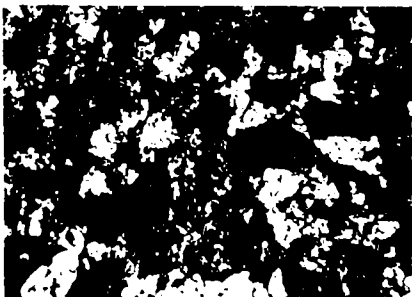


Fig.5.19 - Imaginea magnetică a oțelului cu 0,26 % C, recopărtit la  $860^{\circ}\text{C}$ , atac Nital 3 %, (450:1).

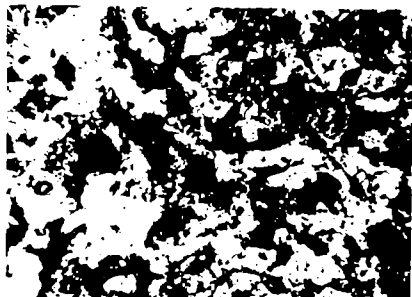


Fig.5.20 - Imaginea magnetică a oțelului cu 0,38 % C, recopărtit la  $850^{\circ}\text{C}$ , atac Nital 3 %, (450:1).



Fig.5.21 - Imaginea magnetică a oțelului cu 0,50 % C, recopărtit la  $830^{\circ}\text{C}$ , atac Nital 3 %, (450:1).



Fig.5.22 - Imaginea magnetică a oțelului cu 0,60 % C, recopărtit la  $810^{\circ}\text{C}$ , atac Nital 3 %, (450:1).

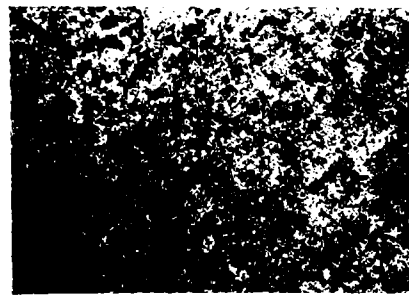


Fig.5.23 - Imaginea magnetică a oțelului cu 0,26 % C, călit cu TTMag,  $A_{\text{cl}} < t < A_{\text{c}3}/1$  min/sol.10...15 % NaCl, H=180 Oe, lustruit, neatacat, (120:1).



Fig.5.24 - Imaginea magnetică a oțelului cu 0,38 % C, supus TTMag singular la  $850^{\circ}\text{C}/1$  min/sol.10...15 % NaCl, H=180 Oe, lustruit, neatacat (120:1).

carbon, unde cantitatea de perlită este mai mare, developarea structurii cu reactivi metalografici obișnuiți modifică apreciabil intensitatea cimpurilor de scăpări, în sensul intensificării acestora. Așa se explică de ce imaginea magnetică a unui material lustruit și atacat prezintă, pe suprafețele ocupate de perlită, o densitate mai mare a particulelor feromagneticice.

Decarece în literatura de specialitate se acordă o deosebită atenție metodei de lustruire a materialului, în această lucrare s-a urmărit, printre altele, în ce măsură lustruirea mecanică și stratul Beilby [510] influențează asupra imaginii magnetice. Analiza comparativă a imaginilor magnetice - fig. 5.11, 5.19, 5.12, 5.20 și 5.14 - arată că prezența stratului Beilby, de la grăunții de ferită liberă, nu alterează calitatea imaginii magnetice, lucru ce se explică prin prezența unei faze nedeformabile și anume cementită.

Aceasta reprezintă un alt avantaj al metodei metalografiei magnetice, dar trebuie menționat că această constatare rămâne valabilă la materialele cel puțin bifazice, la care faza nedeformabilă este în cantitate suficient de mare. Din acest punct de vedere s-ar putea determina o "masă critică de cementită" pînă la care este posibil ca stratul Beibly să altereze imaginea magnetică reală.

#### Metalografia magnetică a materialelor călit termomagnetic.

In cazul materialului călit complet la martensită, la puteri relativ mici de mărire, pulberea feromagnetică este atât de uniform repartizată, încît se formează imaginea caracteristică unui material monofazic - fig. 5.24, 5.25, 5.26. Numai într-un singur caz - fig. 5.23 - cind materialul este călit incomplet de la temperaturi puțin inferioare punctului  $A_3$ , se observă clar, chiar la puteri mici, o repartizie neuniformă a pulberii feromagneticice, densitatea mai mare a acestora fiind pe locul formațiunilor de ferită. La această constatare se ajunge comparind structura materialului developat și nudit, cu reactivi

metalografici standard - fig.5.31 - cu imaginea magnetică a aceluiași material - fig.5.27 - în ambele cazuri, puterea de mărire fiind aceeași.

Din cele afirmate mai sus rezultă un alt avantaj al metodei metalografiei magnetice, anume cel legat de problema defectoscopiei oțelurilor hipoeutectoide călite. În acest sens, defectul "pete noi" se poate pune în evidență fără etac cu reactivi metalografici

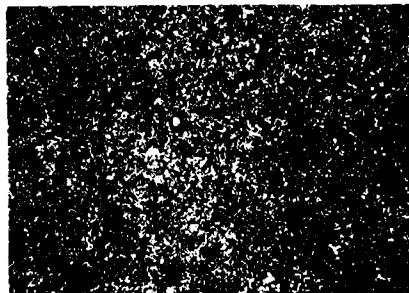


Fig.5.25 - Imaginea magnetică a oțelului cu 0,50 % C, călit TTMag  $t = A_{c3}/1$  min./sol.10... 15 % NaCl, H=180 Oe, lustruit neatacat, (120:1).

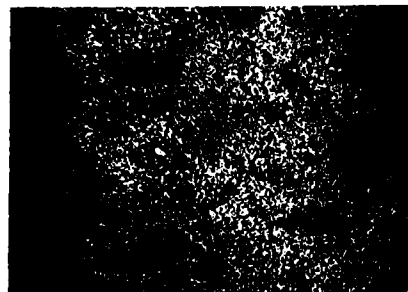


Fig.5.26 - Imaginea magnetică a oțelului cu 0,60 % C, călit TTMag  $t = A_{c3}/1$  min./sol.10... 15 % NaCl, H = 180 Oe, lustruit neatacat, (120:1).



Fig.5.27 - Imaginea magnetică a oțelului cu 0,26 % C, călit TTMag,  $A_{cl} < t < A_{c3}/1$  min./sol. 10...15 % NaCl, H = 180 Oe, lustruit, neatacat, (450:1).



Fig.5.28 - Imaginea magnetică a oțelului cu 0,38 % C, supus TTMag singular  $850^{\circ}\text{C}/1$  min./sol.10...15% NaCl, H=180 Oe, lustruit, neatacat, (450:1).



Fig.5.29 - Imaginea magnetică a oțelului cu 0,50 % C, călit TTMag  
 $t = A_{C3}/1$  min/sol.10...15% NaCl,  
H = 180 Oe, lustruit, neatacat,  
(450:1).

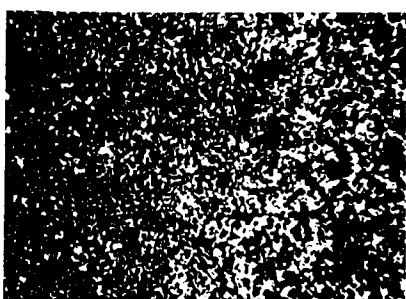


Fig.5.30 - Imaginea magnetică a oțelului cu 0,60 % C, călit TTMag  
 $t = A_{C3}/1$  min/sol.10...15% NaCl,  
H = 180 Oe, lustruit, neatacat,  
(450:1).

și fără efectuarea unor probe de microduritate.

Faza paramagnetică - austenită reziduală - este bine pusă în evidență, acest lucru observându-se clar din compararea imaginilor - fig.5.28, 5.29, 5.30, zonele de austenită nefiind acoperite practic de pulbere feromagnetică.

In cazul oțelului hipoeutectoid călibil, cu conținut redus în carbon și călit complet la martensită, în condițiile de lucru expuse anterior, nu se observă prezența formațiunilor de austenită reziduală, deși aceasta există, însă în cantitate mai mică decât la oțelurile cu conținut mai înalt în carbon. Aceasta se explică prin faptul că, imaginea magnetică reală este ecranată de cîmpurile de scăpări ale matricei, care în cazul de față este feromagnetică.

Se poate vorbi și în acest caz de o "masă critică" sau de o "dimensiune critică" a formațiunilor de austenită reziduală, de la care este posibilă evidențierea acestora prin mijloacele metalegrafiei magnetice.

Cele spuse aici confirmă, încă odată, necesitatea continuării

cercetărilor referitoare la stabilirea unor dimensiuni optime ale particulelor feromagnetică, în sensul celor prezentate anterior.

Pentru a analiza influența cîmpului magnetic asupra proprietăților fazei preeutectoide din materialul călit la martensită, s-a procedat la călirea incompletă a unui oțel cu 0,26 % C și la examinarea microscopică a acestuia, în condiții clasice și cu ajutorul metalografiei magnetice. Din compararea imaginilor - fig.5.19, 5.31, 5.33 - se observă că cel puțin proprietățile magnetice ale feritei libere nu se modifică, oricare ar fi starea structurală a materialului în ansamblu.

Din analiza imaginilor - fig.5.32 și 5.36 - obținute pe epruvete supuse tratamentului termic singular, rezultă o concluzie similară celei de la materialele recoapte și anume, activitatea magnetică mai accentuată a amestecului ferito-carburic, comparativ cu alți constituenți metalografici.

Cunoscind faptul că rezistența martensitei la atacul reactivelor metalografici depinde de gradul de transformare al austenitei în martensită, diferitele materiale cercetate au fost analizate cu scopul de a stabili dacă imaginea magnetică poate fi comparată cu imaginea metalografică clasice, din punctul de vedere exprimat aici. Analiza în grup a imaginilor - fig.5.33, 5.34, 5.37 și 5.38 arată că:



FIG.5.31 - Microstructura oțelului cu 0,26 % C, călit THMag  $A_{cl} < t < A_{c3}$ /1 min/sol.10...15% NaCl, H=180 Oe, atac Nital 3 %, (450:1).

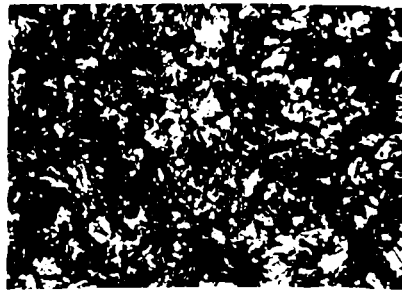


FIG.5.32 - Microstructura oțelului cu 0,38 % C, supus THMag singular 850°C/1 min/sol.10...15 % NaCl, H=180 Oe, atac Nital 3 %, (450:1).

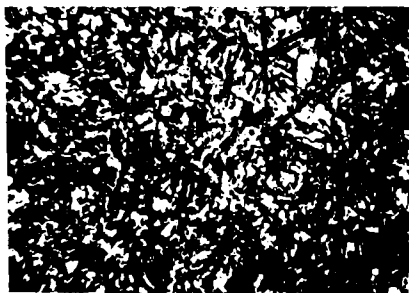


Fig.5.33 - Microstructura oțelului cu 0,50 % C, călit TiMag,  $t=A_{C3}/1$  min/sol...15% NaCl, H=180 Oe, atac Nital 3 %, (450:1).

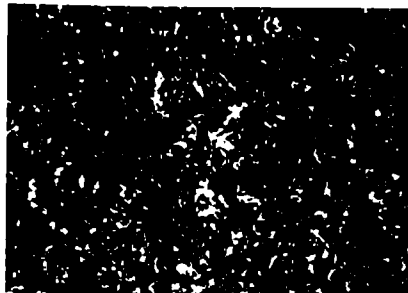


Fig.5.34 - Microstructura oțelului cu 0,60 % C, călit TiMag,  $t=A_{C3}/1$  min/sol...10...15% NaCl, H=180 Oe, atac Nital 3 %, (450:1).



Fig.5.35 - Imaginea magnetică a oțelului cu 0,26 % C, călit TiMag,  $A_{C1} < t < A_{C3}/1$  min/sol. 10...15% NaCl, H=180 Oe, atac Nital 3 % (450:1).

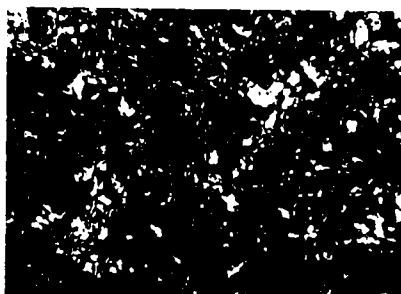


Fig.5.36 - Imaginea magnetică a oțelului cu 0,38 % C, supus TiMag singular  $t=A_{C3}/1$  min/sol...10...15% NaCl, H=180 Oe, atac Nital 3 %, (450:1).

- densitatea pulberii feromagnetică, notice pe martensită este aceeași, adică pulberea feromagnetică se depune nepreferențial pe acele de martensită;

- ca o consecință imediată rezultă evidențiora clară a fazei paramagnetice, lucru dificil de realizat la microscopul metalografic optic prin atacarea cu reactivi universalii.

#### 5.4.3. Metalografia magnetică a materialelor călitate clasic.

La materialele călitate în absența cîmpului magnetic, de la temperaturi recomandate de călire, imaginile magnetice corespunzătoare prezintă în general caracteristicile arătate la materialele similare, tratate în cîmp magnetic - fig. 5.39, 5.43, 5.40, 5.44, 5.41 și 5.42, 5.46.

În ceea ce privește faza preeutectoidă din oțelul călit incomplet la martensită - fig. 5.47 și 5.51 - prin comparare cu ferita liberă din oțelul recopă clasic - fig. 5.19 - și ferita liberă din oțelul călit incomplet la martensită în cîmp magnetic - fig. 5.35 - se ajunge la concluzia că și-n acest caz activitatea magnetică a feritei libere nu se modifică.

La materialul supus tratamentului singular, în condițiile expuse anterior, se observă că, la călirea în absența cîmpului magnetic, imaginea magnetică prezintă un contrast mai puternic între fundul martensitic și formațiunile de troostită. Eșantioanele stacate sau neatacate - fig. 5.44, 5.48 și 5.52 - se caracterizează prin existența unor zone cu densitate mai mare a pulberii feromagnetice în locurile în care există unul dintre produsele decompunerii prin difuzie a austenitei - troostita.

Cu privire la austenită reziduală, metalografia magnetică arată clar că, la materialele călitate clasic la martensită - fig. 5.49, 5.50, 5.53 și 5.54 - cantitatea de austenită reziduală este mai mare decît la materialele călitate complet la martensită în cîmp magnetic - fig. 5.37, 5.38, compararea făcindu-se între materiale caracterizate zîguros prin aceeași compoziție chimică și natură a factorilor metallurgici.

Sub influența cîmpului magnetic formațiunile de ferită liberă, care se separă din austenită sau cele care rămîn în timpul

încălzirii la temperaturi inferioare punctului  $A_{c3}$ , sunt supuse fenomenului de coalescență, motiv pentru care acesta se prezintă sub forma unor zone insulare rotunjite - raport mic lungime : suprafață - comparativ cu aceeași fază a materialului încălzit în absența cimpului.

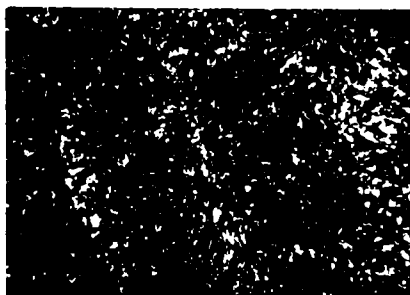


Fig.5.37 - Imaginea magnetică a oțelului cu 0,50% C, călit TTmag,  $t = A_{c3} / 1 \text{ min/scl. } 10...15\% \text{ NaCl, } H = 180 \text{ Oe, atac Nital 3 J, (450:1).}$

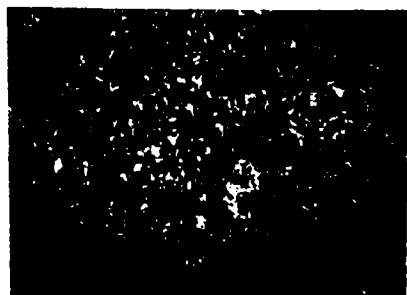


Fig.5.38 - Imaginea magnetică a oțelului cu 0,60% C, călit TTmag,  $t = A_{c3} / 1 \text{ min/scl. } 10...15\% \text{ NaCl, } H = 180 \text{ Oe, atac Nital 3 J, (450:1).}$

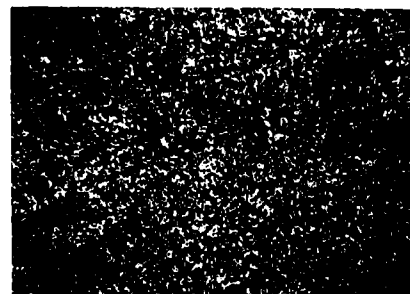


Fig.5.39 - Imaginea magnetică a oțelului cu 0,26% C, călit  $Ac_1 < t < A_{c3} / 1 \text{ min/la apă } 20^\circ\text{C, } H = 0$ , lustruit, neatacat, (120:1).

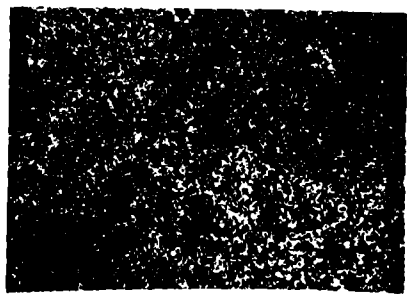


Fig.5.40 - Imaginea magnetică a oțelului cu 0,38% C, supus TT singular  $850^\circ\text{C} / 1 \text{ min/la apă } 20^\circ\text{C, } H = 0$ , lustruit, neatacat, (120:1).

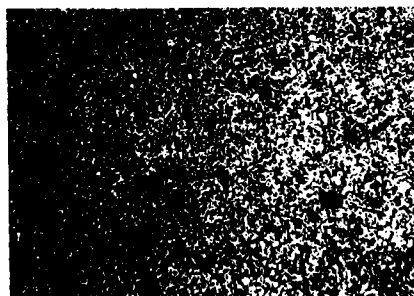


Fig.5.41 - Imaginea magnetică a oțelului cu 0,50% C, călit complet la martensită  $830^{\circ}\text{C}/1\text{ min}$ /apă  $20^{\circ}\text{C}$ ,  $\text{H}=0$ , lustruit, neatacat, (120:1).

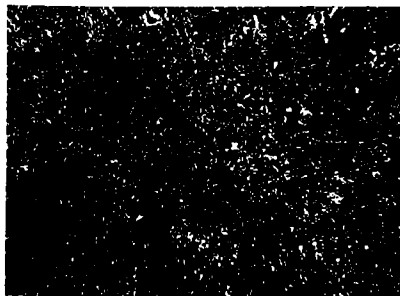


Fig.5.42 - Imaginea magnetică a oțelului cu 0,60% C, călit complet la martensită  $810^{\circ}\text{C}/1\text{ min}$ /apă  $20^{\circ}\text{C}$ ,  $\text{H}=0$ , lustruit, neatacat, (120:1).

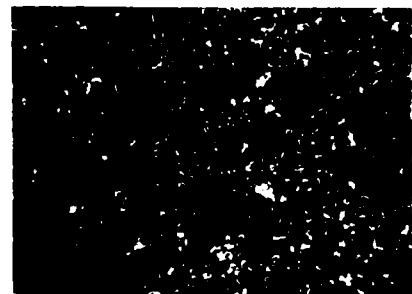


Fig.5.43 - Imaginea magnetică a oțelului cu 0,26% C, călit  $A_{\text{cl}} < t < A_{\text{c}3}$  /1 min/apă  $20^{\circ}\text{C}$ ,  $\text{H}=0$ , lustruit, neatacat, (450:1).

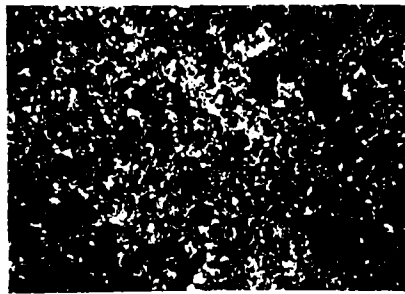


Fig.5.44 - Imaginea magnetică a oțelului cu 0,38% C, supus TT singular  $850^{\circ}\text{C}/1\text{ min}$ /apă  $20^{\circ}\text{C}$ ,  $\text{H}=0$ , lustruit, neatacat, (450:1).



Fig.5.45 - Imaginea magnetică a oțelului cu 0,50% C, călit complet la martensită  $830^{\circ}\text{C}/1\text{ min}$ /apă  $20^{\circ}\text{C}$ ,  $\text{H}=0$ , lustruit, neatacat, (450:1).



Fig.5.46 - Imaginea magnetică a oțelului cu 0,60% C, călit complet la martensită  $810^{\circ}\text{C}/1\text{ min}$ /apă  $20^{\circ}\text{C}$ ,  $\text{H}=0$ , lustruit, neatacat, (450:1).



Fig.5.47 - Microstructura oțelului cu 0,26% C, călit  $A_{cl} < t < A_{c3}$ /1 min/apă 20°C, atac Nital 3 %, (450:1).

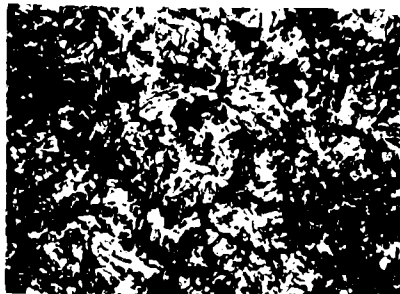


Fig.5.48 - Microstructura oțelului cu 0,38% C, supus T<sub>T</sub> singular 850°C/1 min/apă 20°C, H = 0, atac Nital 3 %, (450:1).

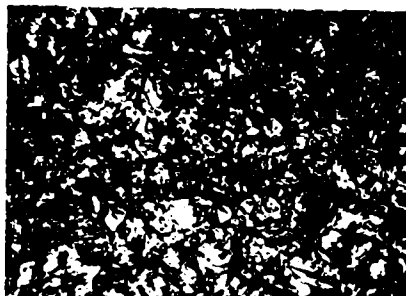


Fig.5.49 - Microstructura oțelului cu 0,50% C, călit complet la martensită 830°C/1 min/apă 20°C H = 0, atac Nital 3 % (450:1).

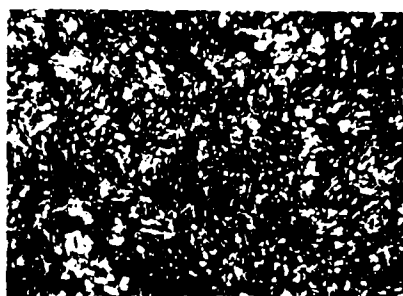


Fig.5.50 - Microstructura oțelului cu 0,60% C, călit complet la martensită 810°C/1 min/apă 20°C, H = 0, atac Nital 3 % (450:1).

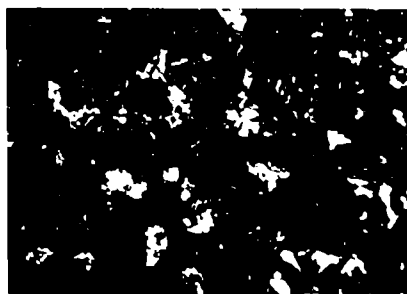


Fig.5.51 - Imaginea magnetică a oțelului cu 0,26 % C, călit  $A_{cl} < t < A_{c3}$ /1 min/apă 20°C, H = 0, atac Nital 3 % (450:1).

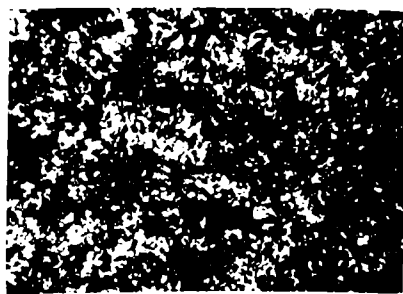


Fig.5.52 - Imaginea magnetică a oțelului cu 0,38 % C, supus T<sub>T</sub> singular 850°C/1 min/apă 20°C, H = 0, atac Nital 3 % (450:1).

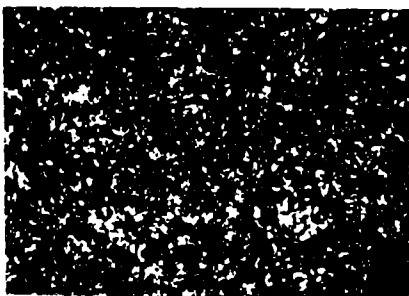


Fig.5.53 - Imaginea magnetică a oțelului cu 0,50% C, călit complet la martensită  $830^{\circ}\text{C}/1 \text{ min}$ / apă  $20^{\circ}\text{C}$ ,  $H = 0$ , atac Nital 3 %, (450:1).

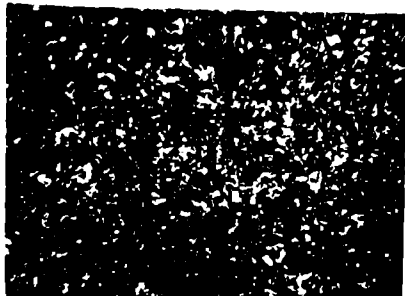


Fig.5.54 - Imaginea magnetică a oțelului cu 0,60% C, călit complet la martensită  $810^{\circ}\text{C}/1 \text{ min}$ / apă  $20^{\circ}\text{C}$ ,  $H = 0$ , atac Nital 3 %, (450:1).

### Concluzii

Cercetările efectuate în cadrul acestui capitol duc la următoarele concluzii :

1. În lucrare se aduce o contribuție privind metalografia magnetică a materialelor polinare și polifazice, parțial sau total feromagneticice, aflate în diferite stări de echilibru metastabil.
2. La materialele polinare și polifazice, metalografia magnetică permite diferențierea clară a constituenților metalografici la oțelurile în diferite stări structurale.
3. Spre deosebire de analiza microstructurală obisnuită, metalografia magnetică permite punerea în evidență a austenitei reziduale la oțelurile călitate și aprecierea cantității acesteia.
4. Folosind aceleași condiții optice la microscopul metalografic optic, metalografia magnetică permite determinarea,

fără analize suplimentare, a naturii fazelor în diferite stări structurale. Astfel, ferita se identifică clar, diferențiindu-se de martensită și austenită reziduală.

5. Metalografia magnetică se poate aplica pentru analizarea structurii fără un atac prealabil special.

6. Metoda de cercetare a structurii cu ajutorul reactivilor clasici, precum și metoda metalografiei magnetice sunt complementare.

7. Metoda metalografiei magnetice se caracterizează prin sensibilitate, eficacitate, simplitate, productivitate.

8. În lucrare se fac precizări privind prelîptirea materialelor în scopul aplicării metalografiei magnetice.

Totale cele de mai sus arată că problemele de bază ale metalografiei magnetice nu sunt epuizate, aşa încît prin cercetări ulterioare se vor putea face precizări în sensul celor afirmate anterior.

CERCETARI PRIVIND INFLUENTA TRATAMENTELOR  
TERMOMAGNETICE ASUPRA CALIBILITATII  
OTELURILOR CARBON DE IMBUNATATIRE.

6.1. Alerarea mediului de răcire pentru călire.

Pentru oțelurile carbon,literatura de specialitate indică folosirea uleiului mineral sau a apei, ca medii de răcire pentru

călirea la martensită. Având în vedere scopul acestei lucrări ca mediu de călire s-a utilizat o soluție apăcasă la 10...15% NaCl, deoarece aceasta, comparativ cu uleiul sau apa curentă, prezintă o serie de mari avantaje. Pentru aprecierea avantajelor oferite de acest mediu de răcire se ia în considerare stabilitatea relativă a austenitei la toate oțelurile din grupa OLC.Din fig.6.1 se observă că stabilitatea relativă a austenitei la

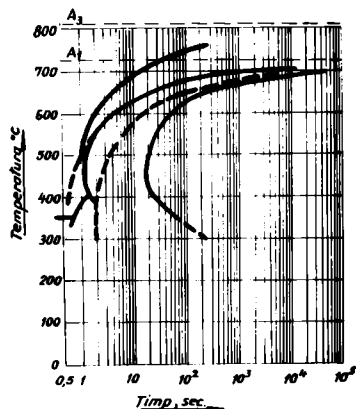


Fig.6.1 - Diagrama TTT a oțelului OLC 35 [P2]. stabilitatea relativă a austenitei la oțelurile carbon de calitate pentru îmbunătățire este redusă, fiind sub o secundă. În aceste condiții, dat fiind faptul că diametrul epruvetelor depășește diametrul critic precizat în literatura de specialitate, pentru călirea la martensită, nu se poate utiliza decât un mediu drastic de răcire.

Intrucât materialele experimentale, din punct de vedere dimensional, sănătatea este cuprinsă în grupa pieselor mijlocii [G3], rezultă că pentru a asigura o viteză de răcire mare în centrul piesei, condițiile de răcire trebuie astfel alese încât, viteza de răcire la suprafață să fie mare în intervalul 400...200°C, astfel încât în

///.

regiunea cotelui perlitic viteza reală de călire să fie superioară vitezei critice. Soluția apoiată de 10...15% NaCl este un mediu de călire cu schimbarea stării de agregare, a cărui particularitate esențială este absența perioadei de fierbere peliculară. Pentru acest motiv, soluția apoiată de 10...15% NaCl duce la creșterea apreciabilă a vitezei medii de răcire în zona de temperaturi a cotelui perlitic.

La oțelurile carbon de îmbunătățire, călite clasic, acest mediu nu se poate utiliza decăreces, fiind prea drastic, duce la apariția fisurilor în timpul călirii. În cazul călirii TiMag acest neajuns este înălțat decăreces martensita obținută în acest caz este mai plastică.

#### 6.2. Algoritm schemei de tratament termomagnetic.

În seria de oțeluri carbon de îmbunătățire (OLC25...OLC60) încălzite în absența cîmpului magnetic, călirea constă în încălzirea acestora deasupra punctului  $A_{c3}$  la 800...880°C [T2], după care urmează răcirea în vederea transformării austenitei în martensită.

În seria de oțeluri analizate, "punctul"  $A_{c3}$  este de fapt un interval de temperaturi [C6], [H5]. Acest lucru se explică nu numai prin influența mare a segregărilor existente totdeauna în oțel, ci mai ales datorită naturii vîscoase a hysterezisului termic care însoțește transformarea  $\alpha \rightarrow \gamma$ . Datorită acestor cauze, la stabilirea domeniului de temperaturi de călire a oțelurilor carbon de îmbunătățire, ca punct  $A_{c3}$  se ia de fapt în considerare marginea superioară a domeniului  $A_{c3}$ , iar la aceasta se adaugă - din considerente de ordin tehnologic - 30...50°C.

Decăreces în timpul experimentării unui mare număr de epruve s-a constatat că temperatura recomandată pentru călire este prea înaltă și că de fapt călirea are loc în condițiile supraîncălzirii și supramenținerii, s-au întreprins cercetări care au avut ca scop

///.

- reducerea totală a supraîncălzirii și
- evitarea supra- sau submenținerii.

Această problemă a fost rezolvată prin aplicarea unei metode care ia în considerare simultaneitatea transformărilor magnetice și polimorfice la încălzirea în cimp magnetic [C6], [B2], [A2], [M10], [J3], [P4].

Principiul metodei constă în încălzirea otelului pînă la punctul  $A_{c3}$ , menținere un minut, după care urmează răcirea în apă. Inițial, determinarea precisă a temperaturii punctului  $A_{c3}$  și a momentului atingerii acestuia s-au făcut cu ajutorul unui termocuplu și a unui ampermetru.

De remarcat este independentă totală a metodei de factorii care duc la deplasarea punctului  $A_{c3}$  pe axa temperaturii.

De asemenea, mai trebuie menționat faptul că se poate renunța la termocuplu, acestuia revenindu-i numai rolul de a da informații cu privire la regimul termic al cuporului. În principiu, în condiții obisnuite de tratament termic, folosirea termocuplului la determinarea temperaturii piesei nu dă indicații utile privind punctul  $A_{c3}$ , decât numai în punctul considerat, în timp ce metoda analizată determină momentul atingerii punctului  $A_{c3}$  în punctul cel mai distanțat de suprafață [V3].

Riguros vorbind, nici în acest caz supraîncălzirea nu poate fi evitată total. Aceasta poate fi însă mult redusă modificînd regimul termic al cuporului. Acest lucru este posibil deoarece, la determinarea temperaturii, se ia în considerare o mărime magnetică. În această situație traductorul, nevenind în contact cu piesa ca în cazul termocuplului, informează fidel, dă rezultate reproductibile 100 % și poate fi folosit la fiecare piesă, independent de factorul geometric și dimensional al acesteia [13]. Trebuie făcut precizarea că această metodă nu se poate însă aplica în absența cîmpului magnetic, cel

puțin pentru faptul că, practic, punctul  $A_{C3}$  este nedeterminat.

Având în vedere influența cîmpului magnetic asupra dimensiunilor materialelor feromagneticice, și deci asupra parametrului retelei cristaline, este de așteptat ca unele dintre proprietățile acestora să se modifice. Astfel, se va mări coeficientul de difuziune a carbonului în ferită și – ceea ce este mai important – se va mări solubilitatea carbonului în ferita feromagnetică [C6], [S6], [B3]. Această modificare a capacitatei de dizolvare a carbonului de către ferită, antrenează și modificarea solubilității carbonului în austenită; cu alte cuvinte liniile GP și GOS, din diagrama de echilibru metastabil Fe- $Fe_3C$ , se vor deplasa în sensul micșorării domeniului  $\alpha + \gamma$ , așa încât punctele  $A_{3-C3}$  și  $A_{r3}$  vor coborî pe axa temperaturii.

Micșorarea temperaturii de cîlire se mai poate explica prin mecanismul dezactivării centrelor de recristalizare de către cîmpul magnetic [K6], [S14]. În acest caz, în materialul heterofazic (austenită + ferită), formațiile fine feromagneticice înglobate într-o macă paramagnetică reprezintă domenii feromagneticice izolate. La încălzirea în cîmp magnetic, datorită pierderilor prin histerezis, sunt supuse încălzirii numai particolele de ferită care, din cauza creșterii locale a temperaturii, se dizolvă în austenită [B3]. În aceste condiții este necesară o scădere mai accentuată a temperaturii, așa încât, din punct de vedere energetic, separarea fazelor feromagneticice să fie avantajoasă.

Din cele expuse mai rezultă că acțiunea cîmpului magnetic poate fi assimilată clementelor de aliere gamagene.

#### 6.3. Alegerea metodei de determinare a cîlibilității.

În lucrarea [S6] se afirmă că, în condițiile încercării Jominy, tratamentul termomagnetic (TMag) nu influențează cîlibilitatea otelului carbon; pe de altă parte în lucrarea [J2] se menționează influența cîmpului magnetic asupra proceselor de difuzie, în

sensul intensificării acestora. Se știe însă că, intensificarea difuziunii joacă același rol ca și ridicarea temperaturii sau mărirea duratei de austenitizare, aşa încât, este de așteptat, ca sub influența cîmpului magnetic, călibilitatea să se modifice [B3], [H5], [L2].

Pentru verificarea celor de mai sus se impune stabilirea calitativă și cantitativă a influenței cîmpului magnetic asupra călibilității oțelurilor carbon de îmbunătățire. Consideranțele care au stat la baza acestui studiu, metoda de lucru, rezultatele obținute și perspectivele aplicării TTMag din punctul de vedere al călibilității sunt prezentate în cele ce urmează.

Călibilitatea este una dintre principalele caracteristici de exploatare ale oțelurilor de construcție pentru îmbunătățire, fiind un factor care determină modul de comportare a pieselor în exploatare. În același timp, călibilitatea este și o caracteristică tehnologică, determinând comportarea oțelului în timpul tratamentului termic.

Cunoașterea călabilității oțelurilor de îmbunătățire (OLC 25...OLC 60) este foarte importantă, deoarece aceasta decide asupra destinației oțelurilor amintite, precum și a condițiilor de tratament termic și de exploatare. În acest sens, în funcție de călibilitate, se stabilesc dimensiunile maxime ale pieselor la care acestea se călesc pătruns, în vederea obținerii unei omogeneități de structură și proprietăți pe secțiune. În unele cazuri, de exemplu la călirea superficială, în funcție de călibilitate se aleg dimensiunile pieselor la care acestea se călesc la martensită numai pe o anumită adâncime [C3], [G3], [M5], [M6].

În concluzie, în anumite condiții dimensionale și de exploatare, călibilitatea este un criteriu care servește la alegerea oțelului, iar în cazul unui material dat, aceasta arată domeniul de folosire.

După cum se știe,călibilitatea este o caracteristică ce depinde de foarte mulți factori: compoziția chimică,mărimea grăunțului cristalin,condițiile de călire și de răcire etc., fiind în același timp sensibil,influențată de factorii metalurgici, chiar la aceeași marcă de otel.

Deși influența acestor factori este mare la seria de oteli carbon de îmbunătățire,călibilitatea este redusă, diametrul critic de călire fiind 5...12 mm.Din acest motiv,cu toate că otelurile carbon de îmbunătățire prezintă un bun complex de proprietăți mecanice,comparabil cu cel al otelurilor aliante de îmbunătățire având aceeași cantitate de carbon,utilizarea acestora este relativ limitată din cauza călibilității reduse.

Pentru motivele expuse,și în sensul largirii domeniului de utilizare a otelurilor carbon de îmbunătățire, s-au întreprins cercetări cu scopul măririi diametrului critic real.

In vederea analizării influenței TTMag asupra călibilității acestor oteluri,în cadrul lucrării se folosește metoda călirii barelor cu diametre diferite.Metoda călirii frontale nu este aplicată,decarece în condițiile acestei lucrări, ca mediu de răcire s-a utilizat o soluție apăsău de 10...15 % NaCl la temperatură de 20°C. Metoda călirii barelor cu diametre diferite prezintă avantajul determinării exacte a diametrului critic de călire în diferite medii și condiții de răcire,de la temperaturi ce depășesc cu puțin punctul  $A_{C3}$ .

#### 6.4. Metode de determinare a temperaturii de călire.

Pentru determinarea temperaturii TTMag se ia ca bază legăturii dintre inducția magnetică  $B$ ,intensitatea cîmpului  $\bar{H}$  și magnetizația  $\bar{M}$  [H3],[N2],[S8]:

$$B = \mu_0 \cdot (\bar{H} + \bar{M})$$

în care  $\mu_0$  este permeabilitatea vidului.

Decarece, în intervalul de recristalizare, M este susceptibil la variația temperaturii, rezultă că permeabilitatea materialului, și deci și inductanța L a bobinei, se vor micșora așa cum rezultă din relația :

$$L = \mu \cdot \frac{4\pi}{l} W S$$

în care l este lungimea solenoidului ;

W = numărul de spire ;

S = aria.

În timpul tratamentului, tensiunea U fiind constantă, valoarea curentului de magnetizare,  $I_{CM}$ , va crește atunci cind reactanța inducțivă  $X_L$  se va micșora, și invers, așa cum se vede din relația :

$$I_{CM} = \frac{U}{\sqrt{R^2 + X_L^2}} \quad [A]$$

în care  $X_L = \omega \cdot L = 2 \pi f \cdot L$ .

Cu ajutorul acestei relații se determină precis poziția punctelor  $A_{cl}$ ,  $A_{rl}$ ,  $A_{c3}$  și  $A_{r3}$ , decarece H va fi minim în starea feromagnetică și maxim în starea paramagnetică [C6]. De asemenea, cu relația curentului eficace se poate determina precis temperatura corespunzătoare unui anumir raport între cantitatea  $G_\alpha$  de ferită feromagnetică și cantitatea  $G_\gamma$  de austenită.

Pentru determinarea temperaturii și timpului de încălzire, pentru călire, se trasează curba variației în timp a curentului de magnetizare (fig.6.2).

Având în vedere influența temperaturii asupra diferitelor transformări de fază, curba admite interpretarea arătată în cele ce urmează. În punctul a, pe suprafața epruvetei, unde temperatura este mai ridicată decât în centru, începe transformarea perlitei în austenită.

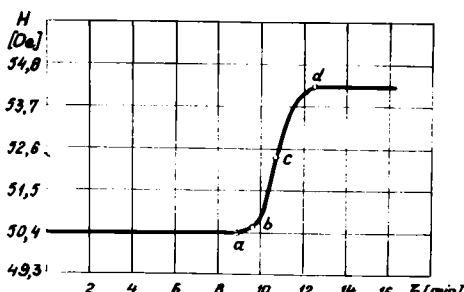


Fig. 6.2. Variatia in timp a regimului electric al instalatiei TTMag.

După formarea unei cantități de austenită, transformarea perlitei încretează un anumit interval de timp (coa. 40 sec.) din cauză că, în condițiile experiențelor necesară de căldură depășește aportul. Transformarea este apoi reluată în punctul b, cind începe

și procesul de dizolvare a feritei libere în austenită, în straturile superficiale ale epruvetei. Începând din acest moment, transformările  $P \rightarrow A$  și  $\alpha \rightarrow \gamma$  sunt atât de energice, încât pe curba de încălzire apare un palier, ca urmare a unui echilibru termic între consumul și aportul de căldură. De la b la c transformarea perlitei în austenită avansează de la suprafață spre centrul epruvetei, punctul c reprezentând sfîrșitul transformării perlitei în austenită în miez. De la punctul c la d continuă dizolvarea feritei în austenită așa încât, în momentul corespunzător punctului d, otelul este format numai din austenită.

O privire de ansamblu asupra transformărilor la încălzire arată că numai pe porțiunile a - b și c - d se produce cîte un singur gen de transformări, în timp ce pe porțiunea intermediară b - c transformările se suprapun.

### 6.5. Rezultatele obținute și interpretarea lor.

#### 6.5.1. Considerații privind determinarea duratei de încălzire.

In vederea eliminării diferenților factori, care ar putea denatura rezultatele obținute la aplicarea TTMC, s-a analizat

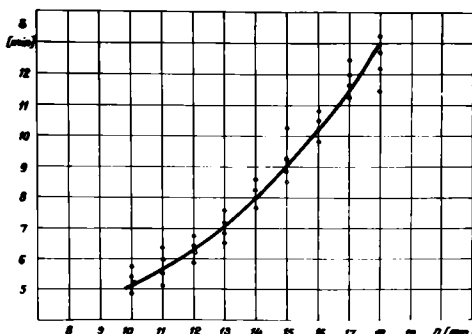


Fig.6.3 - Influența grosimii piesei asupra duratei de încălzire la oțelul carbon de calitate cu 0,38% carbon.

liniară de dimensiunea piesei. Așa se explică de ce metodele ingineresti, de determinare a duratei de încălzire, nu dă rezultate sigure la aprecierea acesteia.

Formal, pentru stabilirea unei legături între durata de încălzire și dimensiunea piesei, se poate utiliza una din metodele

analitice de prelucrare a datelor experimentale.

După cum se observă din analiza diagramei din

fig.6.4, la fiecare dimensiune a epruvetei, durata de încălzire efectivă, în general, nu coincide cu indicațiile date de o anumită relație analitică [G3].

Se explică aceasta prin influența fluctuațiilor

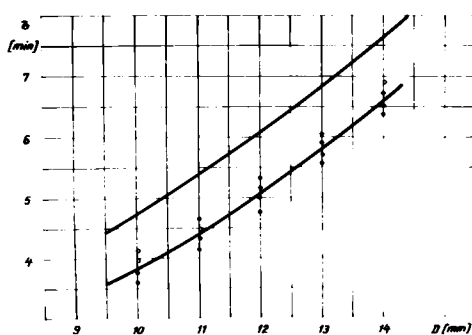


Fig.6.4 - Determinarea duratei reale de încălzire a pieselor cilindrice din oțel carbon de calitate cu 0,38 % C.

de compozitie, în privința mai ales a carbonului și manganului, asupra poziției reale a punctelor critice. De aceea s-a impus necesitatea unui termen echivalent cu durata menținerii la temperatura de tratament termic.

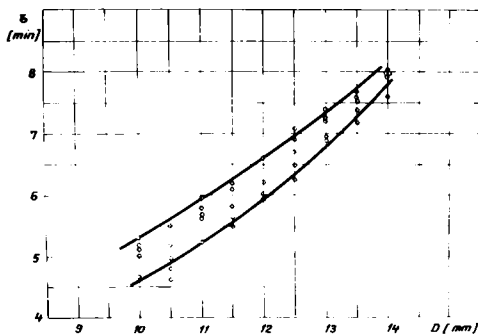


Fig.6.5 - Influența compozitiei și a factorului dimensional asupra duratei de încălzire a oțelurilor OIC 25...OIC 60.

de încălzire a oțelurilor carbon de îmbunătățire, în literatura de specialitate se prezintă o serie de relații care nu iau în considerare factorul compozitiei chimice.

Pentru a analiza și acest aspect al duratei de încălzire, în fig.6.5 sunt reprezentate rezultatele cercetărilor privind influența compozitiei și dimensiunii pieselor asupra duratei de încălzire.

Analiza de ansamblu a acestor rezultate arată că nu se poate face abstracție de compozitia oțelului și că durata de încălzire nu poate fi exprimată numai prin intermediul unei singure mărimi – grosimea piesei.

Corelația  $\bar{\tau} = f(D)$  se exprimă printr-o fișie care se largeste cu micsorarea grosimii piesei. Această constatare coincide cu limitașa, impusă de literatura de specialitate, în privința domeniului de utilizare a formulelor de determinare a duratei de încălzire. Aparentă împrăștiere a rezultatelor, la aceeași grosime a

Grafic aceasta se exprimă printr-o curbă paralelă cu cea teoretică, așa cum se vede din fig.6.4. Pentru toată seria de materiale utilizate, în condițiile expuse în lucrare, durata de încălzire depășește durata reală.

La determinarea duratei

piesei, este explicată prin influența pe care compozitia o exercită asupra poziției punctelor critice.

Analiza chimică și metalografică a tuturor materialelor încercate arată că, la o anumită grosime a piesei, durata de încălzire este cu atât mai mare, cu cît concentrația în carbon și mangan este mai redusă.

Din punctul de vedere al metodei de determinare a duratei de încălzire, afirmația de mai sus echivalează de fapt cu "creșterea grosimii piesei".

De aici mai rezultă că, la aplicarea metodelor ingineresti de determinare de încălzire, rezultate mai apropiate de realitate se pot obține dacă, în locul dimensiunii de calcul, s-ar introduce dimensiunea echivalentă - pentru concentrația în carbon și mangan respectivă (sensul noțiunii fiind cel din teoria similitudinii).

x

x      x

S-a arătat anterior că, în încercările întreprinse în cadrul acestei lucrări, un neajuns în calculul duratei de încălzire este neglijarea factorului compozitiei. Pentru elucidarea acestei probleme, în cele ce urmează se prezintă rezultatul încercărilor privind influența concentrației și a factorului dimensional asupra duratei de încălzire în cimp magnetic.

In cazul unei anumite valori a factorului dimensional se observă (fig.6.6) că durata de încălzire pentru călire este independentă de concentrația în carbon numai cînd aceasta depășește 0,45% C.

In condițiile diagramei de echilibru metastabil Fe-Fe<sub>c</sub>C trebuie specificat că, pentru aceleasi condiții dimensionale, temperatura sau durata de încălzire pentru călire sunt independente de compozitie numai cînd conținutul în carbon depășește concentrația

.//.

\*

eutectoidă. Așa dar, sub influența cîmpului magnetic, relația dintre compozitie și temperatură sau durata de incălzire pentru călire se deplasează spre concentrații mai reduse în carbon, influență specifică majorității elementelor de aliere care deplasează punctul eutectoid spre concentrații mai reduse în carbon și temperaturi mai coborite. Unele aspecte ale acestei probleme au fost prezentate în cap. 3.

In domeniul de concentrații pînă la 0,45 % C durata de incălzire pentru călire este cu atît mai mare cu cît concentrația în carbon este mai redusă. Dependența  $\tau = f(\% C)$  scapă literaturii de specialitate, decarece diferențele relații de determinare a duratei de incălzire nu iau în considerare factorul concentrație și nici caracteristicile materialului (punctele critice). Avînd în vedere dia-

grama de echilibru metastabil Fe- $Fe_3C$  se observă că, în acest domeniu de compozitie, curba relației

$\tau = f(\% C)$  merge paralel cu linia GOS. Dacă se ia în considerare la calculul duratei de incălzire pentru călire și compozitie sau poziția punctului critic  $A_{c3}$ , durata reală de incălzire este mai redusă decît cea calculată, decarece temperatura efectivă de incălzire pentru călire este mai redusă chiar decît temperatura teoretică, aceasta fiind placată sub linia GOS din diagrama de echilibru metastabil Fe- $Fe_3C$ .

Pentru a explica această influență a compozitiei și cîmpului magnetic asupra duratei de incălzire, în lucrarea [C6] s-a arătat că,

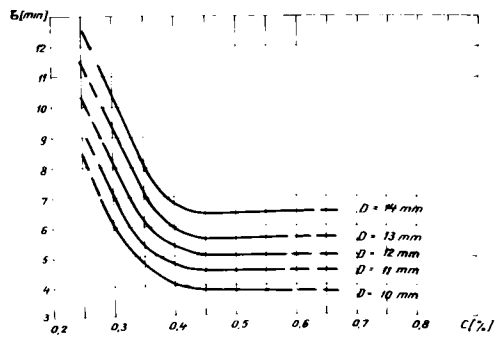


FIG.6.6 - Influența compozitiei asupra duratei de incălzire.

la temperaturi puțin infericăre punctului  $A_2$ , energia hysterezisului magnetic se repartizează numai pe faza feromagnetică - în cazul de față pe ferita liberă, dispusă insular, pe un fond austenitic. De la aproximativ 0,4 % C în sus, efectul localizării hysterezisului magnetic este atât de accentuat încât, practic, temperatura reală de încălzire pentru călire coboară la nivelul punctului  $A_{c1}$ . Se poate vorbi în acest caz de o MASA CRITICA DE FERITA LIBERA pentru care cîmpul magnetic realizează coincidența punctelor  $A_c$ ,  $A_2$ ,  $A_3$ .

La concentrații în carbon < 0,4 % C, influența hysterezisului magnetic asupra temperaturii reale de călire se menține, aceasta fiind totuși infericăru punctului Curie din sistemul metastabil Fe- $Fe_c$ . Cu alte cuvinte, în cîmp magnetic transformarea  $\alpha \rightarrow \beta$  este evitată, adică din cauza hysterezisului magnetic, are loc o transformare directă  $\alpha \rightarrow \gamma$ .

Acest lucru este demonstrat și de aliura curbei  $T = f(\%)$  cînd concentrația în carbon este mai mică decît 0,4 % C.

O altă observație, ce rezultă din analiza diagramei (fig. 6.6), este cea referitoare la influența factorului dimensional asupra duratei de încălzire pentru călire. La aceeași compozitie, durata de încălzire pentru călire crește odată cu dimensiunile piesei.

Cu privire la domeniul de aplicare a relațiilor ingineresti de determinare a duratei de încălzire pentru călire, se observă că, la încălzirea în cîmp magnetic, durata este independentă de compozitie numai cînd concentrația în carbon este mai mare decît 0,4 % C.

Determinarea practică a duratei de încălzire  
pentru călire.

Intrucît determinarea temperaturii materialului cu metodele utilizate în prezent nu dă rezultate exacte, în această lucrare s-a lăsat în considerare funcția de traductor a instalației pentru TTMag.

In cele ce urmează se prezintă rezultatele încercărilor efectuate pe materiale cu aceeași compoziție (0,537 % C), dar de mase diferite.

In cazul unei piese cu un anumit diametru se observă că, pînă la temperatura punctului critic  $A_1$ , permeabilitatea magnetică, și deci curentul de magnetizare, variază neesențial, urmînd ca aceasta să crească și să se stabilizeze după strîngerea punctului critic  $A_2$  ( $A_{c3}$ ).

Ca durată și temperatură de încălzire în vederea călirii se consideră momentul și temperatura de la care curentul de magnetizare se stabilizează, ceea ce este în legătură cu austenitizarea completă a piesei.

Din analiza de ansamblu a cazurilor studiate, se observă că durata de încălzire este cu atît mai mică, cu cît dimensiunea piesei este mai mică.

Pentru a explica variația curentului de magnetizare înainte de strîngerea punctului critic  $A_{c1}$  (fig.6.7), s-a procedat la analiza stării initiale a materialului, deoarece aceasta influențează în mare măsură proprietățile fizice ale feromagneticilor.

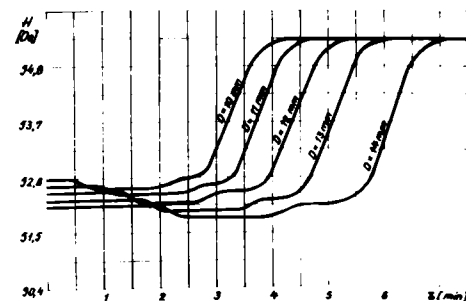


FIG.6.7 - Variația în timp a curentului de magnetizare.

Intrucît în stare de livrare materialele prezintă o serie de instabilități neprecizate, cauzate mai ales de temperatura de sfîrșit de laminare, precum și de condițiile de răcire după laminare, acestea au fost analizate microstructural și au fost supuse unui tratament termic de recoacere ( $600^{\circ}\text{C}/1$  oră/cuptor) cu scopul

de a stabili influența temperaturii de recoacere asupra durității și gradului de ecrusare a materialului. Microstructurile tuturor materialelor cercetate în starea de livrare sunt prezентate în fig.6.8...6.13, iar influența temperaturii de recoacere asupra durității este redată în fig.6.14.

O primă concluzie ce rezultă din analiza acestei diagrame confirmă existența unor instabilități, a căror prezență a fost semnalată mai sus. Se observă că, prin creșterea temperaturii în intervalul  $250\ldots 650^{\circ}\text{C}$ , duritatea scade de la 75,5 la 71 HRB, așa cum se întâmplă în cazul recoacerii materialelor ecrusate sau a materialelor prezintând anumite instabilități introduse cu ocazia prelucrărilor anterioare.

Acest rezultat este deosebit de util la interpretarea diagramei din fig.6.7, din care rezultă variația curentului de magnetizare înainte de atingerea punctului critic  $A_{\text{cl}}$ . La introducerea piesei în cuptor nivelul instabilităților structurale este maxim, așa încât permeabilitatea magnetică a materialului este mai redusă decât la temperaturi ceva mai înalte, dar mai mici decât temperatura punctului critic  $A_{\text{cl}}$ , cind instabilitățile structurale sunt total eliminate datorită proceselor de difuziune.



Fig.6.8 - Oțel cu 0,28 % C în starea de livrare. Atac Nital 3 % (340 : 1).

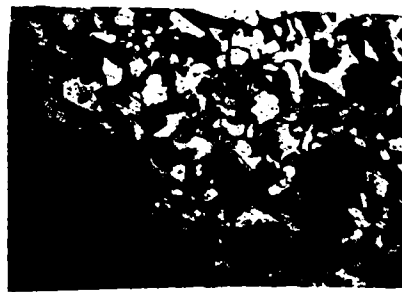


Fig.6.9 - Oțel cu 0,35 % C în starea de livrare. Atac Nital 3 % (340 : 1).

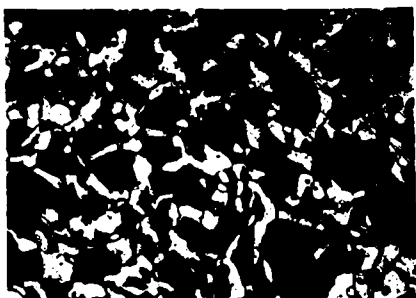


Fig.6.10 - Oțel cu 0,45 % C în starea de livrare. Atac Nital 3 % (340 : 1).



Fig.6.11 - Oțel cu 0,50 % C în starea de livrare. Atac Nital 3 % C (340 : 1).

Analiza de ansamblu a tuturor microstructurilor arată că materialele prezintă structuri tipice de oțel hypoeutectoid, formate din ferită preeutectoidă și perlita. Având în vedere și compoziția chimică, se observă că raportul dintre cantitățile de ferită liberă și perlita este mai mic decât cel indicat de diagrama de echilibru metastabil Fe- $Fe_3C$ .



Fig.6.12 - Oțel cu 0,54 % C în starea de livrare. Atac Nital 3 % (340 : 1).



Fig.6.13 - Oțel cu 0,60 % C în starea de livrare. Atac Nital 3 % (340 : 1).

Acest fapt este consecința condițiilor de răcire după lamineră, cind, din cauza subrăcirii respective, perlita se formează la o concentrație în carbon mai redusă comparativ cu cea indicată de diagrama de echilibru. Acest lucru se observă mai ales la oțelul cu

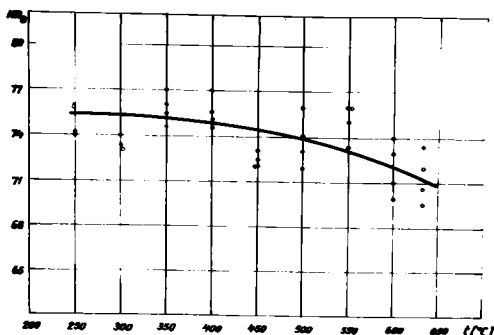


Fig.6.14 - Influența temperaturii de recoacere asupra durității oțelului OLC 55.

și dimensiuni diferite, s-a observat o variație a curentului de magnetizare în funcție de masa de material supusă încălzirii și de compozitia acestuia.

Acest lucru se observă din diagramele din fig.6.15 și fig. 6.16 unde se reprezintă influența grosimii materialului și a compozitiei asupra curentului de magnetizare în momentul încercării cupitorului.

Din analiza acestor diagrame se desprinde concluzia că intensitatea curentului de magnetizare este cu atât mai mică cu cât masa, respectiv grosimea pieselor, este mai mare și cu cât concentrația în carbon este mai mică.

Se explică această influență a grosimii materialului și a compozitiei asupra curentului de magnetizare prin modificarea permeabilității magnetice a materialului aflat în cîmp.

Diagrama din fig.6.15 sugerează ideea utilizării instalației pentru TMag la determinarea grosimii echivalente a pieselor supuse încălzirii. Tot în această ordine de idei, trebuie menționată și posibilitatea instalației TMag de a putea fi utilizată la deter-

0,60 %. La acestea ar trebui ca ferita liberă să se prezinte sub formă de rețea continuă la marginile foștilor grăunți de austenită, în timp ce, în condițiile reale de răcire după laminare, rețeaua este întreruptă și abia schițată.

Cu ocazia determinării duratei de încălzire la materialele cu compozitii

minarea durității, cind compoziția și masa sunt factori cunoscuți. Acest lucru rezultă din compararea diagrameelor din fig. 6.16 și 6.17 în care se observă aceeași natură a influenței compozitiei asupra curentului de magnetizare și durității.

Influența asupra intensității curentului de magnetizare a stării initiale și compozitiei, pentru toate materialele utilizate, este ilustrată în fig. 6.16. Se observă că intensitatea curentului de magnetizare crește paralel cu concentrația în carbon, dependență având un pronunțat caracter liniar pentru domeniul de compozitie analizat.

Curba A s-a determinat pentru materialele aflate în starea de livrare – ecruisare; iar curba B – pentru materialele recoapte sub punctul critic  $A_{cl}$ . Pentru cazurile analizate se observă, fără excepție, că eliminarea unor instabilități structurale duce la scăderea intensității curentului de magnetizare. Așa se

Fig.6.15. Influența grosimii piesei asupra curentului de magnetizare.

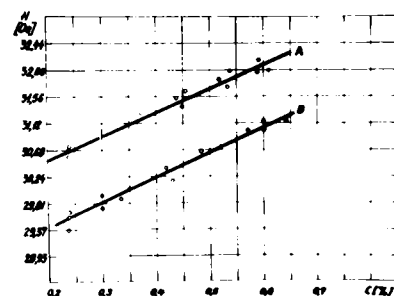


Fig.6.16. Influența compozitiei și stării structurale asupra curentului de magnetizare.

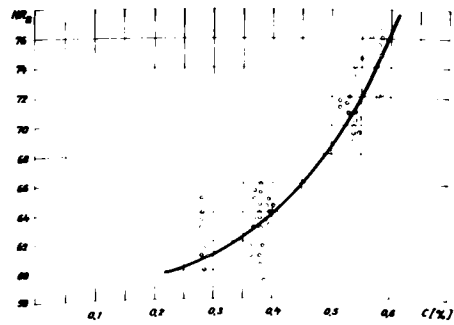
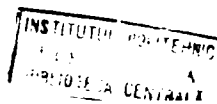


Fig.6.17. Influența compozitiei asupra durității oțelurilor carbon de îmbunătățire.

•/•



explică de ce la unele funcții  $H = f(\zeta)$ , în cursul încălzirii, la temperaturi inferioare punctului critic  $A_{c1}$ , intensitatea curentului de magnetizare scade pînă la valoarea specifică stării de recoacere.

Această problemă, asociată cu alte cazuri de influență a stării materialului asupra intensității curentului de magnetizare, constituie o altă direcție de cercetare în cazul TTMag.

x

x x

In vederea stabilirii eficienței TTMag, în privința influenței cîmpului asupra duratei de încălzire, în cursul cercetărilor s-a impus necesitatea abordării unei probleme complementare și anume, stabilirea unei baze se comparătie a rezultatelor obținute.

Pentru atingerea acestui scop s-a procedat la călirea materialelor în absența cîmpului magnetic, temperatură și durată de austenitizare fiind cele stabilite la TTMag. Pentru toate materialele s-a constatat că, în absența cîmpului magnetic, acestea nu se călesc. Din acest motiv s-a procedat la schimbarea bazei de comparație, epruvetele fiind supuse călirii clasice. În consecință, epruvetele au fost călite de la temperatura indicată în standardele de materiale, iar timpul, pentru această a doua serie de încercări, a fost cel stabilit la TTMag. Si la această nouă serie de încercări s-a constatat că, din cauza timpului insuficient de încălzire și omogenizare a austenitei, piesele nu se cănesc la mătensiță. De menționat că, în cazul acestor încercări preliminare, temperatura cuptorului a fost cu  $50^{\circ}\text{C}$  mai mare decît temperatura de călire.

Pentru motivele arătate s-a impus necesitatea călirii materialelor în condițiile obisnuite, temperatură fiind cea indicată în standardele de materiale, iar durata de încălzire plus menținere fiind cea determinată cu formulele ingineresti.

•//•

Initial, pentru precizarea condițiilor de călire la martenită, s-a luat un oțel cu călabilitatea redusă, cu 0,38 % C. Rezultatele obținute cu timpul de încălzire calculat, pe epruvete cu  $D = 9,10$  și



Fig.6.18.Oțel cu 0,38 % C  
 $D = 9$  mm, călit clasic/apă  
 $20^{\circ}\text{C}$ .Atac Nital (340:1).



Fig.6.19.Oțel cu 0,38 % C  
 $D = 10$  mm călit clasic/apă  
 $20^{\circ}\text{C}$ .Atac Nital (340:1).



Fig.6.20. Oțel cu 0,38 % C  
 $D=10$  mm călit clasic/apă  
 $20^{\circ}\text{C}$ . Atac Nital (340:1).

11 mm sunt arătate în fig.6.18,  
6.19 și 6.20.

In aceste trei cazuri se observă că durata de încălzire calculată este inferioară duratei reale, doavă fiind temperatura insuficientă a încălzire a piesei și prezența feritei libere prezentându-se în structură.

La epruvetele cu  $D < 10$  mm (fig. 6.18), structura este formată din ferită liberă și martenită, în timp ce la epruvetele cu  $D = 11$  mm (fig. 6.20) din cauza factorului dimensional, austenita nu s-a transformat în martenită, ci în produse de tip perlitic.

Pentru a vedea influența cîmpului magnetic asupra călibilității, în

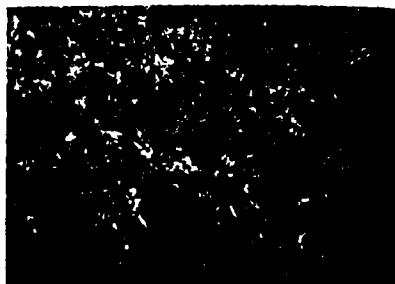


Fig.6.21.Oțel cu 0,38 % C,  $D=10$  mm,  
călit TTmag/sol.10 % NaCl/ $20^{\circ}\text{C}$ .  
Atac Nital 3 : (340:1).

fig.6.21 se prezintă structura unei epruvete cu  $D = 10$  mm,călită în condițiile TTmag,temperatura fiind mult mai coborîtă decît cea clasică -  $770^{\circ}\text{C}$ .Structura este formată din martensită aciculară fină.Cazul limită a acestei serii de epruvete,adică structura corespunzătoare diametrului critic al epruvei călita complet la martensită - miezul fiind constituit 100 % din martensită - este arătat în fig.6.22.Călirea s-a făcut riguros de la nivelul punctului  $A_{c3}$ ,cu o durată de menținere de 1 minut.Diametrul critic real,in sensul definit de literatura de specialitate, s-a obținut cu o epruvetă cu  $D=14$  mm (fig.6.23). Structura acestui material în miez este constituită din 50 % martensită și 50 % troostită. Din încercările preliminare de pînă acum se observă că,in privința stabilității duratei de incălzire, este justificată remarca formulată în literatura de specialitate, cînd se afirmă că [G3] ..."duratele de incălzire" a pieselor,obținute prin oricare dintre metodele de calcul arătate,sînt totuși orientative și pot fi folosite la calculul productivității diferitelor agregate,la determinarea prealabilă a duratei de incălzire,avîndu-se în vedere numeroasele simplificări făcute pentru a usura folosirea calculelor și pentru a se



Fig.6.22.Otel cu 0,38 % C, $D=13$  mm, călit TTMag/sol.10 % NaCl/ $20^{\circ}\text{C}$ . Atac Nital 3 % (340:1).

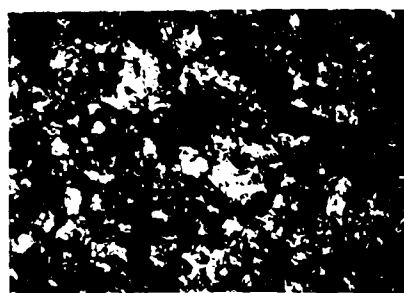


Fig.6.23.Otel cu 0,38 % C, $D=14$  mm,călit TTMag/sol.10 % NaCl/ $20^{\circ}\text{C}$ .Atac Nital 3% (340:1).

introduce pe scară mare aceste metode în practică. Totuși durata exactă de încălzire calculată trebuie să se verifice experimental și să se introducă corectările corespunzătoare în caz de nevoie.

Având în vedere mecanismul TTMag de călire la martensită, diagrama de echilibru metastabil Fe-Fe<sub>3</sub>C, precum și transformările magnetice ale fazei preeutectoide, în următoarea etapă s-a procedat la efectuarea unor încercări cu scopul de a stabili limita reală de călire TTMag de la nivelul punctului critic A<sub>c3</sub> (A<sub>2</sub>) a seriei de oțeluri hipoeutectoide.

S-a constatat astfel că, pentru oțelurile hipoeutectoide cu mai puțin de 0,35 % C nu mai există coincidență punctelor cri-

tice A<sub>2</sub>-A<sub>c3</sub> la încălzire. Aceasta se explică prin faptul că energia hysterezisului magnetic, concentrată pe ferita feromagnetică insulară, este insuficientă ridicării temperaturii acesteia peste punctul critic A<sub>c3</sub>.

Prin încălzire, de exemplu, a unui oțel cu 0,28 % C de la nivelul punctului A<sub>2</sub>, structura după călirea la martensită este constituită din ferită liberă și martensită (fig.6.24). De aici rezultă necesitatea încălzirii oțelului cel puțin la nivelul punctului A<sub>c3</sub>. Aceeași oțel, călit clasic de la temperatură indicată în standardele de materiale și încălzit în condițiile date în literatura de specialitate are o structură asemănă-



FIG.6.24.Oțel cu 0,28 % C  
D = 12 mm, călit TTMag/  
sol.10 % NaCl/20°C. Atac  
Nital 3 % (340:1).



FIG.6.25.Oțel cu 0,28 % C,  
D = 12 mm, călit clasic/ăpu  
20°C. Atac Nital 3 % (340:1).

toare - ferită liberă plus marten-  
sită (fig.6.25).

Verificarea celor afirmate s-a făcut prin aplicarea TMag la un oțel cu concentrație în carbon mai mare decât  $0,35\%C$  - ( $0,58\%C$ ). Călirea s-a făcut chiar de la nivelul punctului critic  $A_{c3}$ . Se observă că se obține în structură numai martensită, chiar mai fină decât a unui oțel cu conținut mai redus în carbon, ( $0,38\%C$ , fig.6.19). Structura, în afara de martensită, conține și austenită reziduală (fig.6.26).

Fig.6.26.Oțel cu  $0,58\%C$ ,  
 $D = 12\text{ mm}$  călit TMag/  
sol. $10\% \text{NaCl}/20^\circ\text{C}$ . Atac  
Nital 3 % (340:1).

afară de martensită, conține și austenită reziduală (fig.6.26).

Pentru a compara caracteristicile martensitei, obținute la călirea în cimp magnetic, cu caracteristicile celei obținute prin călire clasică, în figurile 6.27, 6.28 și 6.29 se reprezintă microstructuri pentru oțel cu  $0,383\%C$ .

Pentru epruvete cu  $D = 11\text{ mm}$ , călite TMag, se obține o martensită aciculară fină. Pentru aceleși material, în cazul unor epruvete cu diametrul egal cu cel critic ( $D_{cr} = 14\text{ mm}$ ) călirea s-a efectuat fără supraîncălzire și supramenținere, de la nivelul punctului critic  $A_{c3}$ . Din compararea microstructurilor (fig.6.27 și 6.28) rezultă că

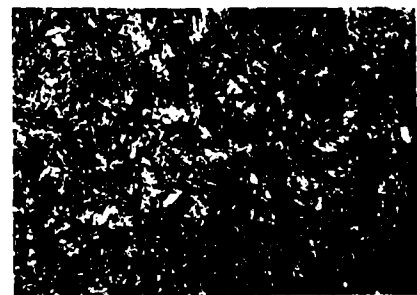


Fig.6.27.Oțel cu  $0,383\%C$   
 $D = 11\text{ mm}$ , călit TMag/sol.  
 $10\% \text{NaCl}/20^\circ\text{C}$ . Atac Nital  
3 %, (340:1).



Fig.6.28.Oțel cu  $0,383\%C$   
 $D = 14\text{ mm}$ , călit TMag/sol.  
 $10\% \text{NaCl}/20^\circ\text{C}$ . Atac Nital 3 %,  
(340:1).

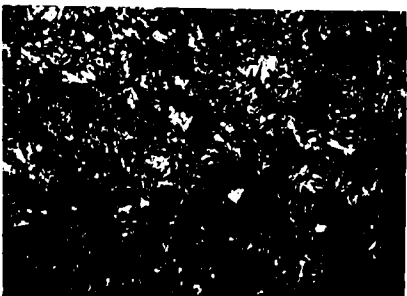


Fig.6.29.Oțel cu 0,383 % C  
 $D = 10 \text{ mm}$ , călit clasic/apă  
 $20^\circ\text{C}$ . Atac Nitral 3 : 1 (340:1).



Fig.6.30.Oțel cu 0,54 % C  
 $D = 14 \text{ mm}$ , călit clasic/sol.10 %  
NaCl  $20^\circ\text{C}$ . Atac Nitral 3 : 1 (340:1).

Suprimarea supramenținerii poate duce la apariția în structură a feritei libere, și deci la defectul "pete moi". Defectul este consecința condițiilor nefavorabile difuziunii și anume, o temperatură mai coborâtă de austenitizare.

La același oțel călit clasic, diametrul critic  $- D_{cr} = 10 \text{ mm}$ , structura fiind formată în majoritate din martensită tetragonală. Pentru a verifica suplimentar cele afirmate cu privire la condițiile de răcire pentru călire, s-a mai efectuat o serie de încercări prin răcirea pieselor încălzite clasic într-un mediu drastic de răcire, utilizat la călirea TiMag, soluția apăsă de 10...15 % NaCl. Epruvele din oțel carbon, încălzite și răcite în condițiile expuse, cu prezentat la răcire fisuri cauzate de tensiuni interne de natură termică (fig.6.30). Aceasta este o dovedă în plus că martensita obținută prin TiMag este mai plastică decât martensita obținută la călirea clasică.

#### 6.5.2. Consideratii privind puterea de rezolutie.

##### a instalatiei pentru TiMag.

Cercetările efectuate în cadrul acestei lucrări au arătat că intensitatea curentului de magnetizare, în momentul introducerii piesei în cuptor, are o anumită valoare ce depinde de grosimea piesei,

la o compoziție constantă.

Această observație sugerează ideea introducerii noțiunii de "diametru echivalent", noțiune ce este lăsată în considerare la aprecierea duratei de încălzire cu ajutorul unei formule.

Pentru determinarea acestuia se folosesc datele diagramei din fig.6.31. În acest scop piesa, de o formă ca-

recare, executată dintr-un material cu compoziție cunoscută se introduce în cupor și se citește intencitatea curentului de magnetizare cînd temperatura acestuia este  $20^{\circ}\text{C}$ . Diametrul corespunzător acestui curent este "diametrul echivalent".

Încercările efectuate în cadrul acestei lucrări arată că rezultatele obținute prin aplicarea formulei :

$$\mathcal{G}_{\text{inc}} = 0,1 \cdot K_1 \cdot K_2 \cdot K_3 \cdot D_1 \quad (\text{min.}) \quad [G3]$$

în care  $D_1$  - caracteristica dimensională a piesei care se încălzește, în mm ;

$K_1$  - coeficient de formă ;

$K_2$  - coeficient de mediu ;

$K_3$  - coeficient de uniformitate a încălzirii ;

sînt mult mai apropiate de realitate prin introducerea valorii "diametrului echivalent" drept caracteristică dimensională.

Din examinarea diagramei din fig.6.31 mai rezultă că, pentru un aparat de măsură, caracterizat printr-o clasă de precizie, există o valoare minimă a masei piesei pentru care se poate traca în condiții bune corelația  $H = f(D)$ . De exemplu, pentru un aparat cu clasa

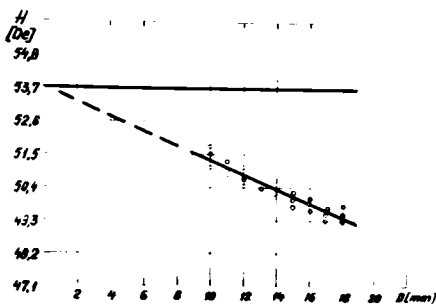


Fig.6.31. Influența grosimii piesei asupra curentului de magnetizare (oțol cu  $0,36 \Omega/\text{C}$ ).

de precizie 0,5, această valoare minimă a masei feromagnetice este de 0,003 kg.

Intrucit este de așteptat ca valoarea curentului de magnetizare să fie influențată de valoarea masei feromagnetice, precum și de compoziție, în diagrama din fig.6.32 se prezintă centralizat

influența acestor doi factori asupra intensității curentului de magnetizare la începutul perioadei de incălzire.

In cazul unei anumite compozitii se observă că, în general, curentul de magnetizare scade cînd masa feromagnetică ( grosimea piesei) scade, O altă concluzie ce rezultă din analiza diagramei (fig.6.32) este că, la aceeași masă feromagnetică (cementită plus ferită), intensitatea curentului de magnetizare crește odată cu conținutul în carbon. Aceasta

Fig.6.32. Influența compozitiei și a masei asupra curentului de magnetizare.

se explică prin faptul că, prin creșterea concentrației în carbon, raportul maselor de ferită și cementită se reduce și prin aceasta se micșorează și permeabilitatea magnetică a materialului de incălzit. Excepțiile de la această regulă sunt consecința influenței stării initiale asupra permeabilității magnetice a materialului.

Pentru verificarea afirmației de mai sus, s-a procedat la analiza metalografică și la determinarea durătății materialelor cu diferite concentrații în carbon, în starea de livrare.

#### 6.5.3. Influența cimpului magnetic asupra călăribilității otelurilor carbon de îmbunătățire.

In literatura de specialitate nu există date suficiente cu

privire la călăribitatea oțelurilor carbon hipoeutectoide, călărite de la temperaturi puțin superioare punctului critic  $A_{C_3}$ , în condiții stricte de supraîncălzire și supramenținere. De aceea, în cele ce urmează se prezintă rezultatele cercetărilor privind influența cimpului magnetic și a compozitiei asupra diametrului critic, determinat în condițiile expuse mai sus.

Din diagramă (fig.6.33)

se observă că diametrul critic este o funcție de compozitie, acesta fiind cu atât mai mare cu cât și concentrația în carbon este mai mare.

Această dependență din tre factorii amintiți se poate explica numai

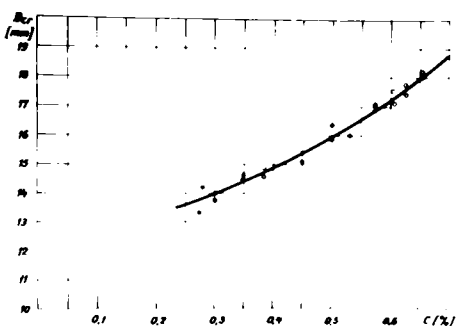


Fig.6.33. Influența compozitiei asupra diametrului critic la TT<sub>Mg</sub>.

luând în considerare factorul structural, influența cimpului asupra difuziunii, influența cimpului magnetic asupra coeficientului de difuziune și condițiile concrete de tratament termic expuse în această lucrare, în deosebi cele în legătură cu temperatura și timpul de austenitizare.

Cresterea diametrului critic odată cu concentrația în carbon se explică printr-o dureță efectivă de omogenizare a austenitei mai mică, comparativ cu oțelurile cu mai puțin carbon. Drumul mijlociu parcurs de carbon în timpul omogenizării este mai mic, cind raportul maselor de ferită liberă și perlită este mai redus, deci, cind concentrația în carbon crește.

In comparație cu alte rezultate din literatura de specialitate, rezultatele obținute pînă acum justifică continuarea cerce-

tărilor, deoarece este evident că rezervele de îmbunătățire ale proprietăților aliajelor nu sunt epuizate.

### Concluzii

Cercetările efectuate în cadrul acestui capitol duc la următoarele concluzii :

- Tratamentul termomagnetic poate fi aplicat la toată seria ștelurilor carbon de îmbunătățire (OLC 25...OLC 60).
- Limita reală a aplicării TTmag este deplasată față de cea teoretică, din punct de vedere al călibilității, spre concentrații mai reduse în carbon și anume spre  $C = 0,35\%$ .
- Din punct de vedere al călabilității, câmpul magnetic acționează ca și elementele care măresc stabilitatea relativă a austenitei, de unde rezultă și posibilitatea limitării domeniului de utilizare a acestora.
- S-a stabilit o dependență între compozиție și diametrul critic real în sensul că aceasta crește odată cu concentrația în carbon.
- Câmpul magnetic duce la creșterea diametrului critic real cu cca 80 %.
- Câmpul magnetic exercită aceeași influență asupra diametrului critic ca și ridicarea temperaturii de călire sau mărirea timpului de austenitzare.
- Martenita obținută la TTmag este mai plastică, comparativ cu cea obținută prin călire clasică, motiv pentru care, la călire, se elimină total rebuturile cauzate de fisuri de natură termică și structurală.
- Instalația TTmag poate fi folosită ca traductor pentru determinarea temperaturii și duratei de încălzire, motiv pentru care se poate renunța la mijloacele curente de determinare a temperaturii de încălzire, precum și la încercările necesare determinării duratei

de încălzire.

- Încălzirea în cimp magnetic permite reducerea temperaturii și duratei de încălzire, iar prin aceasta TTmag devine mai economic decât cel clasic.

- Prin mărirea diametrului critic se mărește domeniul de utilizare a otelurilor carbon de calitate pentru îmbunătățire.

- Rezultatele obținute arată că rezervele de călabilitate ale otelurilor carbon de îmbunătățire (OLC 25...OLC 60) nu sunt epuizate.

## 7. ASPECTE ECONOMICE ALE TRATAMENTULUI TERMIC-MAGNETIC

Pentru a aprecia avantajele economice, ce rezultă din aplicarea TITmag, au fost luați în considerare factorii care influențează direct sau indirect eficiența noului tratament.

O primă sursă de economii rezultă din obținerea unui complex mai bun de proprietăți mecanice, comparabil cu al oțelurilor aliaste de îmbunătățire, motiv pentru care, în locul acestora, se pot utiliza oțelurile carbon de îmbunătățire.

A doua sursă de economii este în legătură cu influența favorabilă a cîmpului magnetic asupra călăribilității. Prin mărirea, deci, a diametrului critic real se largesc domeniul de utilizare al oțelurilor carbon și, în consecință, se restrîng colții oțelurilor aliaste. În ambele cazuri, economiile  $\Delta E_1$  se exprimă în funcție de costul unitar al oțelului aliat  $C_0$ , costul unitar al oțelului carbon  $C_1$  și cantitatea de oțel folosită  $K$ :

$$\Delta E_1 = (C_0 - C_1) \cdot K \quad (7.1)$$

Un alt avantaj economic al TITmag este legat de mărirea productivității instalației prin mecanismul suprinderii totale a supramenținerii. Considerind numai acest aspect, economiile  $\Delta E_2$  ce provin din reducerea ciclului de tratament termic, depind de timpul efectiv necesar  $\bar{O}_0$  pentru prelucrarea cantității  $N$  de piese prin aplicarea tratamentului clasic și de timpul efectiv necesar  $\bar{O}_1$  pentru prelucrarea aceleiași cantități de piese prin TITmag:

$$\Delta E_2 = \frac{A}{60} (\bar{O}_0 - \bar{O}_1) \quad (7.2)$$

În această relație,  $A$  reprezintă amortizarea și cheltuielile de întreținere, reparări și explicațare, ce revin pe ora-

de funcționare a instalației.

Spre deosebire de tratamentele termice clasice, la TMag se reduc pierderile prin oxidare și decarburare și de asemenea, se reduce deformarea și strâmbarea, motiv pentru care se reduc consumul specific de aliaje și dureta prelucrării efective. Rezultă de aici, imediat, creșterea productivității muncii, care constituie o altă sursă de economii. Notând cu  $\bar{Z}_2$  timpul unitar necesar prelucrării unui produs prin metoda clasice, cu  $\bar{Z}_3$  timpul unitar pentru prelucrarea unui produs prin metoda TMag, prin  $\Gamma$  salarialul tarifar pe unitate de timp, prin  $X_1$  cota salariilor suplimentare, prin  $X_2$  cota contribuților pentru asigurările sociale și prin  $n_1$  numărul unităților de producție, creșterea de economii  $\Delta E_3$ , care au la origine reducerea timpului unitar, este:

$$\Delta E_3 = n_1 (\bar{Z}_2 - \bar{Z}_3) \cdot \Gamma \cdot (1 + \frac{X_1}{100}) (1 + \frac{X_2}{100}) \quad (7.3)$$

Alte avantaje ale TMag provin din suprimarea totală a rebuturilor, decarece la acest tratament se eliberează total pericolul de fisurare, riscul de subcădere, supramenținere sau supraîncărcare. Economile  $\Delta E_4$  ce rezultă în acest caz, se determină cu relația :

$$\Delta E_4 = C_2 \cdot n_2 - C_3 \cdot n_3 \quad (7.4)$$

$C_2$  și  $C_3$  reprezintă prețul de cost al tratamentului pe unitatea de producție, inclusiv influența rebuturilor, la tratamentul termic clasic-respectiv tratamentul termomagnetic;

$n_2$  și  $n_3$  reprezintă numărul de repere rebutate la tratamentul termic clasic - respectiv TMag.

Dacă se consideră simultan noua instalație pentru TMag, durata tratamentului termic, precum și rebuturile, va rezulta o economie  $\Delta E_5$  ce se poate determina cu relația :

$$\Delta E_5 = n_4 \cdot (A_0 + x_3) \frac{Z_0}{60} - n_5 (A_1 + x_4) \cdot \frac{Z_1}{60} \quad (7.5)$$

$n_4$  și  $n_5$  reprezintă numărul de repere bune, rezultate prin aplicarea tratamentului clasic-respectiv TTmag.  $A_0$  și  $A_1$  reprezintă amortizarea cheltuielilor pentru întreținerea și reparării, inclusiv cheltuielile pentru energia electrică, ce revin pe ora de funcționare a cuptorului obișnuit pentru tratamente termice – respectiv a instalației pentru TTmag;

$x_3$  și  $x_4$  sunt cheltuielile pentru salarii, inclusiv CAS, pe ora de funcționare a cuptorului obișnuit pentru tratamente termice – respectiv pentru instalația TTmag.

In afara de aceste principale aspecte economice ale TTmag amintim și economiile ce ar rezulta din cuplarea unei instalații TTmag cu un cuptor clasic cu scopul construirii unei unități funktionale în care cuptorul clasic are rolul de a încălzi piese pînă în vecinătatea punctului  $A_{cl}$ , în timp ce instalația TTmag urmează să aibă rolul numai de a încălzi piese în intervalul punctelor critice  $A_{cl}-A_{c3}$ .

## 8. C O N C L U Z I I

### 8.1. Contributii in domeniul teoriei tratamentelor termice si termomagnetice

1. S-a conceput, construit și experimentat un nou tip de instalație TTMag în cîmpuri magnetice slabe, aplicabilă la oțelurile carbon hipoeutectoide.
2. Cu privire la influența cîmpului magnetic asupra parametrilor regimului de tratament termic, în prezența lucrare s-au stabilit următoarele :

– temperatura de cîlire poate fi coborită la nivelul punctului critic ( $A_{c3}$ ) așa încît, în raport cu temperatura recomandată pentru cîlire, reducerea acesteia este de 70...90°C. În cazul cîlirii de la temperatura punctului critic  $A_{r3}$  reducerea temperaturii este și mai pronunțată : 130...160°C ;

– datorită funcției de traductor a instalației TTMag, timpul de încălzire poate fi determinat precis chiar și în cazul pieselor cu secțiune variabilă. Comparativ cu timpul de încălzire determinat prin metodele analitice și empirice cunoscute, timpul efectiv de încălzire la TTMag este mai redus.

Din cele arătate rezultă că, în condițiile aplicării TTMag, se elimină supraîncălzirea, supramenteinerea precum și dezavantajele cauzate de acestea, concomitent cu economicitatea tratamentului în cîmp magnetic față de cel clasic.

3. S-a precizat temperatura dedezorientare. Din influența cîmpului magnetic asupra temperaturii dedezorientare rezultă :
  - oportunitatea completării tabloului actual al clasificărilor oțelurilor, după diferite criterii, prin luarea în considerare și a criteriului texturii intragranulare ;

•••

- necesitatea precizării și reformulării temperaturii de călire la oțelurile cu textură intragranulară călite clasic, de unde rezultă imediat necesitatea de a completa actuala definire a temperaturii de călire din punctul de vedere al celor afirmate anterior.

4. Rezultatele, privind influența cîmpului magnetic asupra complexului de proprietăți mecanice, confirmă ipotezele formulate în alte lucrări, referitoare la eficacitatea tratamentelor termice în cîmpuri de forță, în general și în cîmp magnetic, în special.
5. Influența TTMag asupra complexului de proprietăți mecanice se exprimă diferențiat, în funcție de scopul urmărit. Astfel, prin călire TTMag la martensită se obțin proprietăți mecanice caracteristice unui tratament termic dublu de călire clasică la martensită și detensionare. S-a precizat, pe lingă aceasta, că limita concentrării în carbon, pînă la care martensita este plastică, este mai ridicată decît în cazul oțelurilor călite clasică.

Prin recoacere TTMag se îmbunătățește complexul de proprietăți mecanice chiar și în raport cu datele din literatură referitoare la oțelurile carbon pentru îmbunătățirea normalizate obisnuit.

In privința normalizării TTMag efectul este mai important și mai ales în cazul indicilor de plasticitate, prin aceasta normalizarea în cîmp magnetic se apropie de îmbunătățirea clasică.

6. S-a precizat compoziția oțelurilor carbon de îmbunătățire pînă la care, în timpul călirii la martensită, transformarea austenitei în martensită este urmată imediat de revenirea acesteia.
7. În lucrare se aduce o contribuție privind metalografia magnetică a materialelor polinare și polifazice, parțial sau total feromagnetic, alfatice în diferite stări de echilibru metastabil.
8. S-a stabilit o dependență între compoziție și diametrul critic real, în sensul că acesta crește odată cu concentrația în

.//.

carbon.

9. Din punct de vedere al călibilității, cîmpul magnetic acționează ca și elementele care măresc stabilitatea relativă a austenitei, de unde rezultă și posibilitatea limitării domeniului de utilizare al acestora.
10. Cîmpul magnetic exercită aceeași influență asupra diametrului critic ca și ridicarea temperaturii de cîlire sau mărirea timpului de austenitzare.
11. Rezultatele obținute duc la concluzia că rezervele de sporire a valorilor complexului de proprietăți mecanice nu sunt epuizate nici în cazul TTMag, motiv pentru care din această lucrare reiese necesitatea continuării cercetărilor în acest domeniu de mare perspectivă.

#### 8.2. Contributii în domeniul aplicativ

1. Tratamentul termomagnetic (TTMag) poate fi aplicat la toată seria oțelurilor carbon de îmbunătățire - OLC 25...OLC 60.
2. Instalația TTMag poate fi folosită ca traductor pentru determinarea temperaturii și duratei de încălzire, motiv pentru care se poate renunța la mijloacele curente de determinare a temperaturii de încălzire precum și la încercările necesare determinării duratei de încălzire.
3. Martensita obținută la TTMag este mai plastică, comparativ cu cea obținută prin cîlire clasică, motiv pentru care la cîlire se elimină total rebuturile cauzate de fisuri de natură termică și structurală.
4. La materialele polinare și polifazice metalografia magnetică permite diferențierea clară a constituentilor metalografici la oțelurile aflate în diferite stări structurale. Spre deosebire de analiza microstructurală - obișnuită, metalografia

magnetică permite punerea în evidență a austenitei reziduale, la otelurile călite și aprecierea cantității acesteia.

5. Folosind aceleasi condiții optime la microscopul metalografic optic, metalografia magnetică permite determinarea, fără analize suplimentare, a naturii fazelor în diferite stări structurale. Astfel, ferita se identifică clar diferențiindu-se clar de martensită și austenită reziduală.

6. Metalografia magnetică și metoda de cercetare a structurii cu reactivi clasici sunt complementare, dar magnetometalografia se poate aplica fără un atac prealabil special, caracterizându-se prin sensibilitate, eficacitate, simplitate, productivitate.

In lucrare se face precizuri privind pregatirea materialelor in vederea aplicării metalografiei magnetice.

7. Limita reală a aplicării TTMag este deplasată față de ceea teoretică, din punct de vedere al călărității, spre concentrații mai reduse în carbon.

8. Cimpul magnetic duce la creșterea diametrului critic real cu aproximativ 80 %.

9. Prin mărirea diametrului critic real se mărește domeniul de utilizare al otelurilor carbon de calitate pentru îmbunătățire.

10. Rezultatele obținute pînă în prezent, prin aplicarea TTMag, la otelurile carbon de calitate, pentru îmbunătățire, sugerează ideea extinderii imediate a cercetărilor și la otelurile aliante de îmbunătățire.

11. Comparativ cu tratamentul termic clasic, tratamentul în cîmp magnetic este mai economic, deoarece permite mărirea produtivității instalației TTMag, reduce consumul specific de materiale, elimină total rebuturile prin fisurare, reduce deformările, strîmbările și rebuturile cauzate de supraîncălzirea, suprateninerea sau subcălire.

## B I B L I O G R A F I E

### A

- [1] Aldrich,B.M., Ferromagnetism and the Curie-Point, Oklahoma Eng. Exp. 19/Mirtz 1952/53o.
- [2] Assenov,A.D., Razvitiye tehnologii termiceskoi obrabotki, Metallovedenie, nr.8, 1965.
- [3] Aczel,O., Bozan,C., Dislocațiile și frecarea internă la metale, Editura Facla, Timișoara, 1974.
- [4] Akulov,N.S., Ferromagnetism, ONTI, 1939.
- [5] Althausen,O.N., Susman,S.I., Stepanova,A.N., Tratamentul termomagnetic în cuptoare cu vid al aliajelor slab magnetice cu o buclă rectangulară de histerezis, Metallovedenie i termiceskaja obrabotka metallov, nr.11, 1958.

### B

- [1] Brailsford,F., Magnetic materials, London, 1948.
- [2] Bernstein,M.L., Granik,G.I., Perekovoi nauchnotechnicheskii i proizvodstvenniy opit termomechanicheskaii i termomagnitnaii obrabotki stalei, nr.7, 1963.
- [3] Beazorth,R.M., Ferromagnetism, Van Nostrand, New-York, 1959.
- [4] Blanter,M.E., Fazovie prevrashchenie pri termiceskoi obrabotke stali, Metallurgizdat, Moskva, 1962.
- [5] Bernstein,M.L., Visokotemperurnaja termomechanicheskaja obrabotka mašinostroitelnoi metallov, Metallovedenie i termiceskaja obrabotka metallov, nr.7, 1965.

- [6] Blanter,M.E., Samiev,S.S., Vlijanie ugleroda i holodnoplasti ceskoi deformații posle zakalki na svoistva stali, Metallovedenie i termiceskaja obrabotka metallov, nr.9, 1965.
- [7] Bitter,F., Phys Rev., 38, 1903, (1931).
- [8] Bernstein,M.L., Tratamentul termomagnetic al metalelor și aliajelor, Metallovedenie i termiceskaja obrabotka metallov, nr.10, 1960.

C

- [1] Cadilhac,A., Lo stato attuale di sviluppo e di orientamento deci trattamenti termici. Trattam.Metall, 7, nr.42, 1965.
- [2] Ciudnovskaja,L.A., Bernstein,M.L., Seviliakova,L.G., Metallovedenie i termiceskaja obrabotka stalei, Maaghhiz, nr.6, 1962.
- [3] Contorovici,I.E., Tratamentul termic al oțelului și al fontei. Editura tehnică,București, 1953.
- [4] Cismas,A., Rothenstein,B.F., Polișec,A., Fenomene fizice în metale feromagnetic se solicită..Editura Academiei R.S.R.,București, 1968.
- [5] Cedighian,S., Materiale magnetice. Editura tehnică,București, 1967.
- [6] Ciucă,C., Tratamentul termomagnetic al oțelului OLC 45. Teză pentru obținerea titlului de doctor inginer, Cluj, 1969.

D

- [1] Dillinger,J.F., Bozorth,R.H., Physica 6, 279, 285 - 1935.
- [2] Drujinina,V.I., Lujinskaja,M.G., Sur, Ia.S., J.T.F., 19, 96 - 1949.

- [3] Domşa,A.,Bicsak,I.,Filipescu,..., Asupra unor fenomene de struc-  
tură observate la încălzirea și răcirea  
oțelului OLC 45 în intervalul 800...  
 $1200^{\circ}\text{C}$ . Comunicare la Secțiunea științifică a cadrelor didactice din I.P.Galați,  
10-11 mai 1968.
- [4] Dulămită,T., Alegera și tratamentul termic al oțelurilor de  
scule. Editura tehnică,București,1968.
- [5] Dieter,G., Metalurgie mecanică. Editura tehnică, București,  
1970.
- [6] Deutsch,R.V., Fizica, Editura didactică și pedagogică, Bucu-  
rești, 1970.

B

- [1] Erdmann-Jesnitzer,F., Beitrag sur Fräge ob Magnettelder die  
Hartung von Kohlenstoffstahl beeinflus-  
ssen, Metallurgie und Giessereitechnik  
I/1951/II.2,S.38.
- [2] Butin,R.I., Nekotorie vozmojnosti ispolzovania zakonomestnosti  
prevrăcenii austenita, Metallovedenie  
i termiceskaja obrabotka metallov,nr.7,  
1965.

G

- [1] Goss,N.P., Trans.Amer.Soc.for Metals 23, 511-1935.
- [2] Goldman,A.L. și Drujinin,V.V., Electricestvo, 10.
- [3] Gulesov,A.P. Tratamentul termic al oțelului. Editura tehnică,  
București, 1962.
- [4] Goldfarb,E.M. și a. Calculul cupoarelor de încălzire. Editura  
tehnică, București,1960.

- [5] Gool, Richard,J., A superior microstructure for optimum induction hardening, metal Progr. nr.5,1961.
- [6] Goertz,M., Iron-Silicon, Alloys Heat Treated in a Magnetic-Field, J.appl.Physics, nr.22, 1951.
- [7] Grigoluk,I.L., Novosti Tehnicki, nr.6, 1937.
- [8] Grechow,O., und Gluschkova,P., Stahl, Nr.10,1938.
- [9] Geru,N., Proprietățile metalelor și metode fizice de control.  
Editura didactică și pedagogică,  
București, 1967.

II

- [1] Hamaker,J.C., Report for M.A.B. committe 2, 25-27 July,1960.
- [2] Houdremont,E., Gedanken Über den heutigen Stoffbefrfigf,VDI-Z95,  
1953, 22.
- [3] Hans Ferdinand Grave, Măsurarea electrică a mărimilor neelectrice, Editura tehnică,București,1966.
- [4] Haesen,J.V.G., Quenching medie and their evalution, Metal Treatm.  
30, nr.215, 1963.
- [5] Hamburger,L., Introducere în teoria prelăuirii căldurii. Editura Academiei R.S.R.,1956.

I

- [1] x x x, Issledovaniia stalei, i splavov. Izdatelstvo "Nauka",  
Moskva, 1964.
- [2] x x x, Intensivierung der Ölhärtung von Stahl mittels elektrischen Feld, Technics, 14, nr.4,19,  
1965.
- [3] x x x, Încercările metalelor (colecție STAS). Editura tehnică  
București, 1971.

•//•

J

- [1] J.S.T. Van Aswegen and R.W.K. Honeycombe, Acta, Met., 10, 1962.
- [2] Jahn,H., Posibilitatea influențării proprietăților de rezistență ale materialelor feromagnetică în cimp magnetic, Die Technik, nr.1-2, 1958.
- [3] Johnson,F., Heat-treatment of hypo-eutectoid steel castings, Found. Trade,J.,nr.2342, 1961.

K

- [1] Kodorskii,E.I., D.A.N., S.S.S.R.,18, 325, 1938.
- [2] Kittel,Ch, Nesbit,F.A., Shockley,W., Phys. Rev. 77, 839, 1950.
- [3] Klantscher,W., Baustahle von heute und morgen, Metallurgie und Giessereitechnik 3/1953/12.
- [4] Krivandin,V.A., Molceanov,N.G., Salomonțev,S.L., Cuptoare metalurgice. Editura tehnică,București, 1963.
- [5] Kraus,V., Mineralole-Abkuhlungsvermögen und Alterung, Fertigungstech. u. Betrie, 15, nr.12,1965.
- [6] Kilsik,V.A., Troitskii,A.F., Ivannikov,D.G., Miskeev,M.G., Metalovedenie i goriaciaia obrabotka metalov. Metallurgizdat, Moskva,1959.

L

- [1] Livsitz, B.G., Visokokoerțitivniie splavi. Metallurgizdat,1955.
- [2] Livsitz,B.G., Metallografia. Metallurgizdat, 1963.

M

- [1] Meskin,V.S., Ferromagnitniie splavi. OHTI, 1957.
- [2] Mahoux,G.,C.R. Acad.Sci, Paris, 191, 1930.
- [3] Meyer,G., Eilender,W., und Schmidt,W., Über dina Nitrierwessen

von Eisen und Eisenlegierungen Arch,  
Eisenhüttenwesen 6, 1932.

- [4] Minkevici,A.N., Tratamentele termochimice ale metalelor și aliajelor. Editura tehnică, București, 1968.

- [5] x x, Metallovedenie i termiceskaja obrabotka Spravocinik.  
Metallurgizdat, Moskva, 1961.

- [6] Mantea,S., Dulămită,T., Teoria și practica tratamentelor termice. Editura tehnică, București, 1966.

- [7] x x, Manualul inginerului electrician. Editura tehnică, București, 1958.

- [8] x x, Magnetic quenching. Metal Treatment, 27 (1960), nr.180.

- [9] Mitchell,E., Heat treatment of engineering components, Iron and Steel, 34 (1961), nr.7.

- [10] Michalski,L., Dokladne regulacja temperatury elektrycznych piekow oporowych, Przegl. Mech., 22, nr.3, 1965.

- [11] Morton,N., Oscilograful catodic. Editura tehnică, București, 1956.

- [12] Micloșiu,V., Popescu,N., Stere,N., Indrumător pentru alegerea țelurilor. Editura tehnică, București, 1966.

N

- [1] Nanu,A., Tehnologia materialelor. Editura didactică și pedagogică, București, 1972.

- [2] Neuman,L.R., Kalantarov,P.L., Bazile teoretice ale electrotehnicii. Editura Energetică de stat 1955.

- [3] Novicov, I.I., Zaharov, M.B., Termiceskaya obranotka metallov i splavov. Metallurgizdat, Moskva, 1962.
- [4] Nekrasova, F.N., Katevici, L.S., Evtiukova, I.P., Promislenie elektrotermicheskie ustanovki. Gpsenergoizdat, Moskva, 1961.
- [5] Nemenyi, R., Der Einfluss der Brennhartung vorangehenden Wärmebehandlung und das dadurch entstandenen Ausgangsgefüges auf die Ergebnisse beim Brennharten. Ind. El., 61, nr.1c, 1961.
- [6] Natale, T., Considerazioni sulla drasticita di alcuni mezzi di tempra, Metal. Ital., LIII (1961), nr.6.
- [7] Nazarenko, G.T., Temperaturnii interval raspada estatocinogo austenita pri otpuske uglerodistih stalei, metallovedenie i termiceskaya obrabotka metallov, 1959, nr.5.
- [8] Nazarov, S.T., Defectoscopie nedistructivă a materialelor. Editura tehnică, Bucureşti, 1964.

O

- [1] Oding, I.A., Izv. A.N.S.S.R., OTC, nr.12, 1948.
- [2] Oliver, A.D., Sheddin, J., Nature, 142, 209, 1938.

P

- [1] Povolotkii, E.G., Dovgaleskii, Ia.I., Battina, B.K., Metallovedenie, i termiceskaya obrabotka metallov, 1963, nr.11.
- [2] Popov, A.A., Popova, A.E., Spravocnik termista. Izotermicheskie i termokinetichekie diagrami raspada pereohlajdenmogo austenita. Masgiz, Moskva, 1961.
- [3] Petras, L.V., Ohlajdaiusciesia sposobnost zakalocinikh masel, metallovedenie i termiceskaya obrabotka metallov, 1959, nr.7.  
//.

- [4] Preobrajenski, V.P., Măsuri și opere de măsurat termotehnice. Editura tehnică, București, 1960.
- [5] Pogodin-Alexeev, G.I., Vlianie ultrazvuka na difuzionnye protsesi v stalach pri povisennykh temperaturakh, metallovedenie i termicheskaya obrabotka metallov, 1968, nr.6.

R

- [1] Ribalko, F.P., Iakutovi, M.V., J.T.F., 1503-1947.
- [2] Ribalko, F.P., Sm.Knigu, 12, Mašgiz, Moskva, 1950.
- [3] Rahstadt, A.G., Novii metod uprocinenie disperzionno-tviorde-iuščih splavov, Metallovedenie i termicheskaya obrabotka metallov, 1965, nr.7.
- [4] Răileanu, D., Ciucă, C., Pătrașc, A., Aspecte economice ale tratamentului termomagnetic al otelului OLC 45. Sesiunea științifică jubiliară, I.P. Galati, 1973.
- [5] Răileanu, D., Aplicarea metalografiei magnetice la tratamentele termomagnetice. Sesiunea de comunicări a I.C.P.P.A.M., Galați, 1974.
- [6] Răileanu, D., Ciucă, C., Cercetări privind influența cimpului magnetic asupra călibilității otelurilor carbon de îmbunătățire. Sesiunea de comunicări a I.C.P.P.A.M., Galați, 1974.
- [7] Răileanu, D., Ciucă, C., Andrei, V., Considerații privind determinarea duratei de incălzire la tratamentul termic în cimp magnetic. Sesiunea de comunicări a I.C.P.P.A.M., Galați, 1974.

///

- [1] Secciani,A., Attualita nel settore dei trattamenti termici.  
Rev. di ecc., 17, 1967, nr.393.
- [2] Schmatz,D.J., see BISRA Report, MG/81/C2
- [3] Sur, Ia. S., J.E.T.F., 10, 757 - 1940
- [4] Sur, Ia. S., Starteva, I.E., D.A.N., S.S.S.R., 59, 692, 1948..
- [5] Sur, Ia. S., J.E.T.F., 8, 1817-1938.
- [6] Skorski, R., Prace, Inst. Mech. Precyz., 1960, nr.27
- [7] Schenck,H. und Schmidtmann,H., Einfluss von Wechselbeanspruchungen auf Diffusions- und Ausscheidungsvorgänge in unlegierten Stählen, Arch. Eisenhüttenwesen 28/1954, II 11/12.
- [8] Steinberg,C., Teoria și proiectarea aparatelor electrice.  
Editura didactică și pedagogică,  
București, 1964.
- [9] Steinberg,S.S., Metallovedenie. Metallurgizdat, Sverdlovsk, 1961.
- [10] Schumann,H., Metalurgie fizică, Editura tehnică, București, 1962.
- [11] Stultz,G., Paschkis,V.Jr., Bonilla,F.C., Thermal considerations in oil quenching, J.Iron and Steel Inst. 193 (1959), nr.2.
- [12] Sadovskii,V.D., Strukturnii mehanizm fazovih prevrashchenii pri nagrevе stali i praktika termicheskoi obrabotki, metallovedenie i termicheskaya obrabotka metallov, 1962, nr.3.
- [13] Spasski,M.N., O strukture martensuta i ego izmeneniiakh v rezultate termomechanicheskoi obrabotki, Fiz. metallov i metallovedenie, 20, 1965, nr.4.
- [14] Sall, I.V., Fiziceskie osnovi formirovania struktur splavov. Metallurgizdat, Moskva, 1963.

- [15] Sadovskii, V.D., Malishev, K.A., Sazonov, B.G., Fazovie i strukturne prevrascenia pri nagreve stali, sb. Metallovedenie i termiceskaja obrabotka, Masghiz, 1955.
- [16] x x, Sovremennye metodi kontroli bez razrusenija, pod redakcijei S.T. Nazarova, Moskva, 1961.
- [17] Sesja, R., Sovremennye metodi termiceskoi obrabotki stali v masinostroenii. Metallovedenie i termiceskaja obrabotka metallov, 1973, nr. 10.
- [18] Skorski, R., Tratamentul magnetotermic al otelului, Przeglad mechaniczny, 13, 1961.

T

- [1] Tait, N.Iu, Tekhnologija nagreva stali. Metalurgizdat, Moskva, 1950.
- [2] Trusulescu, M., Studiul metalelor. Editura didactică și pedagogică, București, 1971.

V

- [1] Vassovski, S.V. i Sur, Ia, S., Ferromagnetism Gostehizdat, Moskva, 1948.
- [2] Vassovski, S.V., Teoria modernă a magnetismului. Editura tehnică, București, 1956.
- [3] Veseanu, P., Pătrașcu, St., Măsurarea temperaturii în tehnici. Editura tehnică, București, 1963.
- [4] Vefer, F. Engel, I., O vlijanii skorosti ohlajdenia na temperaturi prevrasceniil i strukturi Jelenguerodistih splavov, "Mitt. K.W., Inst.", T.XII, 1930.

•//•

- 11 -

W

- [1] Williams, H., Phys. Rev. 52, 747, 1004-1937.
- [2] Wever, F., Rose, A., Peter, W., Strassburg, W., Rademacher, L.,  
Atlas zur Wärmebehandlung der Stähle,  
Düsseldorf, 1958.

Z

- [1] Zaimovski, A.S., Miagkie magnitnie materiali. Gosenergoizdat,  
Moskva, 1941.
- [2] Zaimovashii, A.S., i Usov, V.V., Metall i splav i v elektroteh-  
nike. Gosenergoizdat, Moskva, 2-e ,  
Iздание, 1950.
- [3] Zaitev, V.I., Gorbaci, V.G., Vlianie ishodnoi struktury mar-  
tensita na uprocinenie austenita pri  
fazovom naklepe, Fiz. Metallov, i Metal-  
lovedenie, 20, 1965, nr.4.

.//.

## C U P R I N S

	<u>Pag.</u>
Introducere	1
1. Stadiul actual al cercetărilor în domeniul trata-	
mentelor termomagnetice	
1.1. Directii de cercetare în domeniul tratamentelor	
termomagnetice	6
1.2. Aspecte teoretice ale tratamentelor termo-	
magnetice	20
1.2.1. Termodinamica tratamentelor termo-	
magnetice	21
1.2.2. Magnetostriktiunea și unele aspecte	
ale tratamentelor termomagnetice	23
1.2.3. Modificarea proprietăților materiale-	
lor sub influența cimpurilor magnetice	27
2. Instalația experimentală concepută pentru studiul	
tratamentelor termomagnetice	
2.1. Schema de principiu a instalației pentru tra-	
tamente termomagnetice	28
2.2. Cuptorul pentru tratamente termomagnetice	31
2.3. Baia de călire în cimp magnetic	36
2.4. Schema electrică a instalației pentru trata-	
mente termomagnetice	37
2.5. Schema hidraulică a instalației pentru trata-	
mente termomagnetice	41
2.6. Principiul de funcționare al instalației	
pentru tratamente termomagnetice	43

•/•

<b>3. Cercetări privind stabilirea condițiilor de aplicare a tratamentelor termomagnetice la oțelurile de îmbunătățire</b>	
<b>3.1. Principiul metodei TTMag</b>	46
<b>3.2. Alegerea parametrilor cîmpului magnetic</b>	48
<b>3.3. Influența cîmpului magnetic asupra punctelor critice ale oțelurilor carbon de îmbunătățire</b>	50
<b>3.4. Influența cîmpului magnetic asupra temperaturii de călire</b>	55
<b>3.5. Influența cîmpului magnetic asupra temperaturii de dezorientare</b>	58
<b>4. Cercetări privind influența tratamentelor termomagnetice asupra proprietăților mecanice ale oțelurilor carbon de îmbunătățire</b>	
<b>4.1. Pregatirea materialelor pentru experimentare</b>	63
<b>4.1.1. Materiale utilizate pentru experimentări</b>	63
<b>4.1.2. Alegerea regimului termic al instalației TTMag</b>	64
<b>4.1.3. Alegerea schemei de tratament termic</b>	64
<b>4.2. Influența cîmpului magnetic asupra proprietăților mecanice ale oțelurilor carbon de îmbunătățire călite la martensită</b>	66
<b>4.3. Influența cîmpului magnetic asupra proprietăților mecanice ale oțelurilor carbon de îmbunătățire recoapte</b>	81
<b>4.4. Influența cîmpului magnetic asupra proprietăților mecanice ale oțelurilor carbon de îmbunătățire normalize</b>	90

<b>5. Cercetări privind metalografia magnetică a materialelor polinare și polifazice</b>	
<b>5.1. Bazele teoretice ale metalografiei magnetice</b>	100
<b>5.1.1. Bazele fizice</b>	100
<b>5.1.2. Bazele tehnologice</b>	104
<b>5.1.3. Considerații privind obținerea particulelor magnetice active</b>	106
<b>5.2. Testarea pastei ferromagnetice și comparații cu alte date din literatură</b>	107
<b>5.3. Pregătirea probelor</b>	108
<b>5.4. Rezultatele obținute și interpretarea lor</b>	111
<b>5.4.1. Metalografia magnetică a materialelor recoapte</b>	111
<b>5.4.2. Metalografia magnetică a materialelor călitate termomagnetic</b>	116
<b>5.4.3. Metalografia magnetică a materialelor călitate clasic</b>	121
<b>6. Cercetări privind influența tratamentelor termomagnetice asupra călibilității otelurilor</b>	
<b>6.1. Alegerea mediului de răcire pentru călire</b>	127
<b>6.2. Alegerea schemei de tratament termomagnetic</b>	128
<b>6.3. Alegerea metodei de determinare a călibilității</b>	130
<b>6.4. Metode de determinare a temperaturii de călire</b>	132
<b>6.5. Rezultatele obținute și interpretarea lor</b>	134
<b>6.5.1. Considerații privind determinarea durei de încălzire</b>	134
<b>6.5.2. Considerații privind puterea de rezoluție a instalației pentru TMAE</b>	150
<b>6.5.3. Influența cimpului magnetic asupra călabilității otelurilor carbon de îmbunătățire</b>	152

<b>7. Aspecte economice ale tratamentelor termomagnetice</b>	<b>156</b>
<b>8. Concluzii</b>	
<b>8.1. Contribuții în domeniul teoricii tratamentelor termice și termomagnetice</b>	<b>159</b>
<b>8.2. Contribuții în domeniul aplicativ</b>	<b>161</b>

B I B L I O G R A F I C

//.

